

# VYHODNOCENÍ KVALITY OVZDUŠÍ V LOKALITĚ OTROKOVICE ROK 2021



ENVITECH BOHEMIA, s.r.o.

## ÚDAJE O ZAKÁZCE

**Zhotovitel:**

ENVIttech Bohemia s.r.o.

Ovocná 34/1021,

161 00 Praha 6

Česká republika

IČO: 47119209

DIČ: CZ47119209

Datum předání zprávy: 28. února 2022

Počet výtisků: 1

Výtisk číslo: 1

# OBSAH

---

<b>1</b>	<b>ÚVOD</b>	<b>4</b>
1.1	IMISNÍ LIMITY	5
1.2	DATA A JEJICH ZPRACOVÁNÍ	5
1.3	ROK 2021 V ČR Z HLEDISKA METEOROLOGIE A KVALITY OVZDUŠÍ	6
<b>2</b>	<b>METEOROLOGICKÉ PODMÍNKY BĚHEM MĚŘENÍ</b>	<b>7</b>
2.1	VĚTRNÉ RŮŽICE	7
2.2	RYCHLOST PROUDĚNÍ VĚTRU	7
2.3	TEPLOTA VZDUCHU	9
2.4	RELATIVNÍ VLHKOST VZDUCHU	10
2.5	ÚHRN SRÁŽEK	12
<b>3</b>	<b>VYHODNOCENÍ KVALITY OVZDUŠÍ</b>	<b>14</b>
3.1	SUSPENDOVANÉ ČÁSTICE <b>PM<sub>10</sub></b> , <b>PM<sub>2,5</sub></b> A <b>PM<sub>1</sub></b>	14
3.1.1	PRŮMĚRNÉ ROČNÍ KONCENTRACE	16
3.1.2	PRŮMĚRNÉ MĚSÍČNÍ KONCENTRACE	17
3.1.3	PRŮMĚRNÉ DENNÍ KONCENTRACE PM	19
3.1.4	ANALÝZA HODINOVÝCH KONCENTRACÍ – DENNÍ CHOD A KONCENTRAČNÍ RŮŽICE	23
3.1.5	SROVNÁNÍ S LOKALITAMI STÁTNÍ SÍTĚ IMISNÍHO MONITORINGU	28
3.2	OXIDY DUSÍKU <b>NO<sub>2</sub></b> , <b>NO</b> A <b>NO<sub>x</sub></b>	34
3.2.1	PRŮMĚRNÉ ROČNÍ KONCENTRACE	35
3.2.2	PRŮMĚRNÉ MĚSÍČNÍ KONCENTRACE	36
3.2.3	PRŮMĚRNÉ DENNÍ KONCENTRACE NO, NO <sub>2</sub> A NO <sub>x</sub>	38
3.2.4	ANALÝZA HODINOVÝCH KONCENTRACÍ – DENNÍ CHOD A KONCENTRAČNÍ RŮŽICE	40
3.2.5	SROVNÁNÍ S LOKALITAMI STÁTNÍ SÍTĚ IMISNÍHO MONITORINGU	44
3.3	OXID UHELNATÝ <b>CO</b>	47
3.3.1	VÝVOJ NEJVYŠŠÍCH 8HODINOVÝCH KLOUZAVÝCH PRŮMĚRŮ ZA DEN V ROCE	47
3.3.2	PRŮMĚRNÉ MĚSÍČNÍ KONCENTRACE	49
3.3.3	VÝVOJ PRŮMĚRNÝCH DENNÍCH KONCENTRACÍ CO	50
3.3.4	ANALÝZA HODINOVÝCH KONCENTRACÍ – DENNÍ CHOD A KONCENTRAČNÍ RŮŽICE	52
3.3.5	SROVNÁNÍ S LOKALITAMI STÁTNÍ SÍTĚ IMISNÍHO MONITORINGU	56
<b>4</b>	<b>ZÁVĚRY</b>	<b>58</b>
<b>5</b>	<b>CITOVANÁ LITERATURA</b>	<b>59</b>

# 1 ÚVOD

---

V Otrokovicích probíhá měření kvality ovzduší na monitorovací stanici Otrokovice – město umístěnou na náměstí 3. května. Tato stanice je charakterizována jako dopravní městská stanice. Její reprezentativnost leží v oblastním měřítku (0,5 – 4 km). Měření zde započalo 1. 1. 2014.



*Obr. 1 – Stanice Otrokovice – město*

Tato studie slouží jako vyhodnocení měření za rok 2021 a srovnání s legislativou.

## 1.1 IMISNÍ LIMITY

Pro škodliviny, měřené v lokalitě Otrokovice – město, platí následující imisní limity dle Přílohy č. 1 zákona o ochraně ovzduší [1].

Tab. 1 - Imisní limity vyhlášené pro ochranu zdraví lidí a maximální počet jejich překročení

Znečišťující látka	Doba průměrování	Imisní limit LV	pLV
Suspendované částice PM <sub>10</sub>	24 hodin	50 µg·m <sup>-3</sup>	35
Suspendované částice PM <sub>10</sub>	1 kalendářní rok	40 µg·m <sup>-3</sup>	
Suspendované částice PM <sub>2,5</sub>	1 kalendářní rok	20 µg·m <sup>-3</sup>	
Oxid dusičitý NO <sub>2</sub>	1 hodina	200 µg·m <sup>-3</sup>	18
Oxid dusičitý NO <sub>2</sub>	1 kalendářní rok	40 µg·m <sup>-3</sup>	
Oxid uhelnatý CO	maximální denní osmihodinový klouzavý průměr	10 000 µg·m <sup>-3</sup>	

Kromě samotných imisních limitů tabulky uvádí také přípustnou četnost překročení za kalendářní rok (pLV, je-li stanovena). To znamená, že například v případě denního limitu pro PM<sub>10</sub> může být za kalendářní rok hodnota 50 µg·m<sup>-3</sup> maximálně 35krát překročena, aniž by došlo k překročení imisního limitu. Proto se často hodnotí 36. nejvyšší denní koncentrace, která pokud je vyšší než 50 µg·m<sup>-3</sup>, došlo k překročení imisního limitu.

## 1.2 DATA A JEJICH ZPRACOVÁNÍ

Ve studii byla mimo samotnou lokalitu Otrokovice – město rovněž použita data státní sítě imisního monitoringu za účelem srovnání lokality s okolními stanicemi. Data byla poskytnuta Českým hydrometeorologickým ústavem. Veškerá uvedená data byla poskytnuta na základě žádosti MÚ Zlín a nemohou být použita jinak než pro tuto studii. Veškerá data ČHMÚ pocházejí z databáze ISKO (Informační systém kvality ovzduší).

K analýze a zobrazení závislosti znečištění ovzduší na meteorologických podmínkách sloužil OpenSource balík R (R Core Team, Rakousko) [2]. Především bylo využito souboru balíčků „Tidyverse“, obsahují nástroje pro zpracování a analýzu dat a jejich vizualizaci [3]. Dále bylo využito balíčku „openair“, jehož součástí jsou algoritmy pro použité polární grafy [4].

### 1.3 ROK 2021 v ČR Z HLEDISKA METEOROLOGIE A KVALITY OVZDUŠÍ

**Rok 2021 byl s průměrnou teplotou 8,0 °C** a s odchylkou +0,1 °C od normálu 1981–2010 (+0,5 °C od normálu 1961–1990 a –0,4 °C od připravovaného normálu za období 1991–2021) **normální**, roky 2019, 2018, 2015 a 2014 byly mimořádně nadnormální, rok 2021 silně nadnormální a roky 2016 a 2017 nadnormální. Od posledního teplotně normálního roku 2013 s průměrnou teplotou 7,9 °C jsme tedy zaznamenali sedm let charakterizovaných různými stupni odchylky nad průměrem. Teplotní odchylka od normálu 1981–2010 v jednotlivých měsících kolísala od +3,0 °C v červnu, teplotně silně nadnormální měsíc, až po –2,5 °C v dubnu, který tak byl měsícem teplotně silně podnormálním. V průběhu roku byla většina měsíců (leden, únor, březen, červenec, říjen, listopad a prosinec) teplotně normální. Září byl teplotně nadnormální, srpen podnormální, duben a květen silně podnormální.

**Roční srážkový úhrn 678 mm zařazuje rok mezi roky srážkově normální** (normál za období 1981–2010 je v Česku 686 mm). Nejvíce srážek, v průměru 107 mm, což bylo 122 % normálu, napadlo v Česku v červenci a nejméně, v průměru jen 19 mm, to je 44 % normálu, v říjnu. Červenec je i tak klasifikován jako měsíc srážkově normální, stejně jako dalších šest měsíců (leden, únor, duben, červen, listopad a prosinec). Nadnormální úhrn srážek byl zaznamenán jen v květnu a srpnu, srážkově podnormální byl březen a říjen, září bylo srážkově silně podnormální.

Denní imisní limit  $PM_{10}$  byl v roce 2021 překročen na čtyřech stanicích ze 117, přičemž na počtu překročení hodnoty imisního limitu se nejvíce podílel měsíc únor. Maximální povolený počet překročení (25× v průměru za tři roky) hodnoty imisního limitu pro maximální denní 8hodinovou koncentraci  $O_3$  ( $120 \mu\text{g}\cdot\text{m}^{-3}$ ) byl překročen na šesti stanicích z 68.

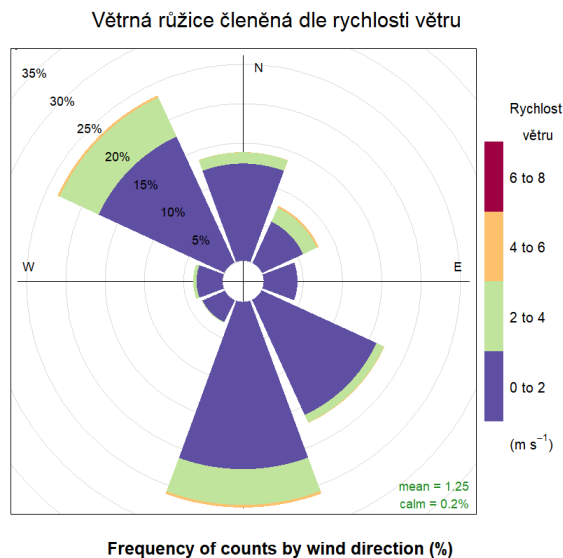
S koncem roku je možné vyhodnotit i překročení ročních imisních limitů, a to pro průměrnou roční koncentraci suspendovaných částic  $PM_{10}$  a  $PM_{2,5}$  a  $NO_2$ . Na základě neverifikovaných dat ze stanic automatizovaného imisního monitoringu ČHMÚ a dalších dodavatelů imisních dat lze konstatovat, že imisní limit pro průměrnou roční koncentraci  $PM_{10}$  nebyl překročen na žádné ze 128 stanicí AIM, přičemž nejvyšší roční průměrná koncentrace  $34,4 \mu\text{g}\cdot\text{m}^{-3}$  byla naměřena na průmyslové stanici Ostrava-Radvanice ZÚ. Imisní limit pro průměrnou roční koncentraci  $PM_{2,5}$  byl překročen na deseti stanicích z 87 stanicí AIM. Imisní limit pro průměrnou roční koncentraci  $NO_2$  nebyl překročen na žádné stanici z 98, přičemž nejvyšší koncentrace  $35,2 \mu\text{g}\cdot\text{m}^{-3}$  byla dosažena na dopravní stanici Brno-Úvoz (hot spot).

V roce 2021 byla 27. až 29. prosince vyhlášena jediná smogová situace, a to v aglomeraci O/K/F-M bez Třinecka z důvodu vysokých koncentrací  $PM_{10}$  [5].

## 2 METEOROLOGICKÉ PODMÍNKY BĚHEM MĚŘENÍ

### 2.1 VĚTRNÉ RŮŽICE

Na následujícím Obr. 2 je zobrazena větrná růžice pro lokalitu Otrokovice – město konstruovaná z hodinových rychlostí a směrů větru. Růžice naznačuje převažující jižní (cca 27 % roku) a severozápadní (cca 23 % roku) proudění. Vyšší rychlosti větru byly zaznamenány především z jihu a severozápadu. Bezvětrí panovalo ve zhruba 0,2 % času měření Průměrná rychlost větru za celé měřené období byla zhruba  $1,3 \text{ m}\cdot\text{s}^{-1}$ .



Obr. 2 – Větrná růžice členěná dle rychlosti větru, Otrokovice – město, rok 2021

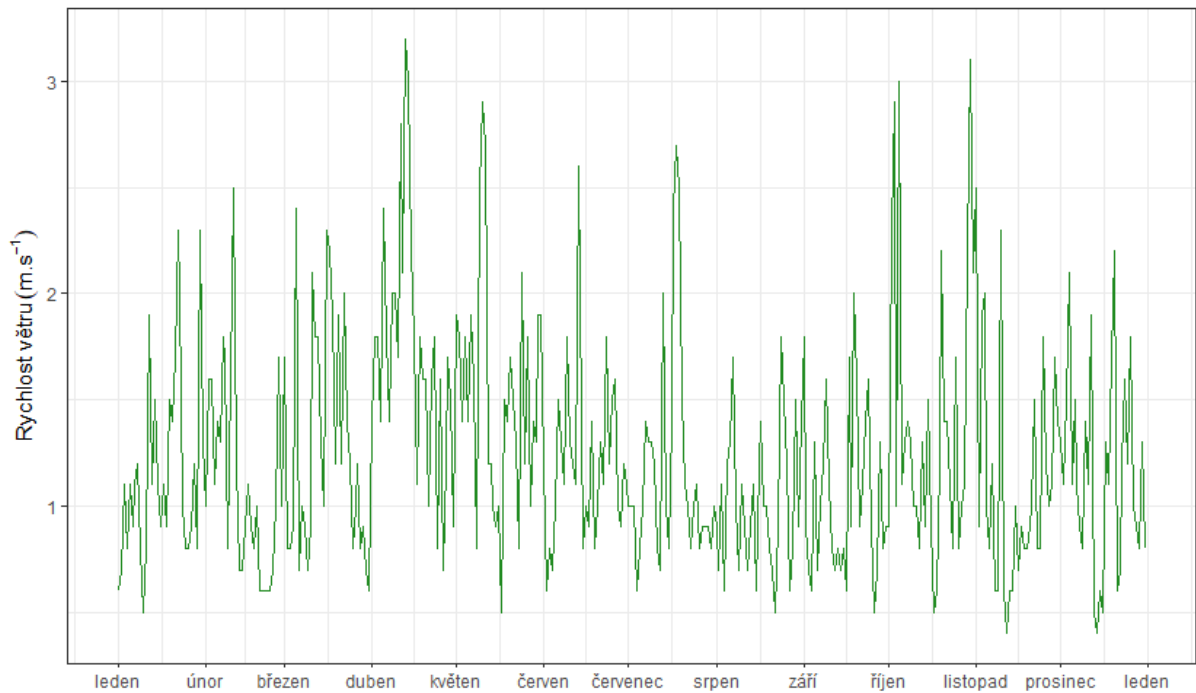
### 2.2 RYCHLOST PROUDĚNÍ VĚTRU

Meteorologické podmínky v chladné části roku vlivem častějších, a především silnějších teplotních inverzí napomáhají horším rozptylovým podmínkám – během teplotní inverze se v atmosféře vytvoří vrstva připomínající pokličku, pod kterou je stabilní atmosféra tzn., že je téměř bezvětrí nebo pouze nízké rychlosti větru a nedochází tedy k dostatečnému rozptylu škodlivin. Škodliviny se pak pod touto vrstvou kumulují a jejich koncentrace roste. Rychlost proudění větru je tedy významným meteorologickým prvkem ovlivňujícím koncentrace škodlivin ovzduší. Pokud jsou rychlosti velmi nízké nebo panuje bezvětrí, jsou zpravidla koncentrace škodlivin (zejména suspendovaných částic) vysoké. Naopak při vyšších rychlostech větru dochází k dobrému rozptylu, na druhou stranu může rovněž docházet i k resuspenzi suspendovaných částic, kdy dochází k opětovnému vznosu již jednou sedimentovaných částic. Příkladem takové resuspenze může být např. větrná eroze, kdy vlivem větru je strhávána půda z polí do vzduchu a podílí se tak na nárůstu koncentrací suspendovaných částic v ovzduší.

Na následujícím Obr. 3 jsou uvedeny průměrné denní rychlosti proudění větru v lokalitě Otrokovice – město. Z grafu je patrné, že byly měřeny převážně nízké rychlosti větru zhruba do  $3 \text{ m}\cdot\text{s}^{-1}$ , rychlosti nad  $3 \text{ m}\cdot\text{s}^{-1}$  se vyskytovaly výjimečně. Následující Obr. 4 zobrazuje průměrné měsíční hodnoty.

### Vývoj průměrných denních rychlostí větru

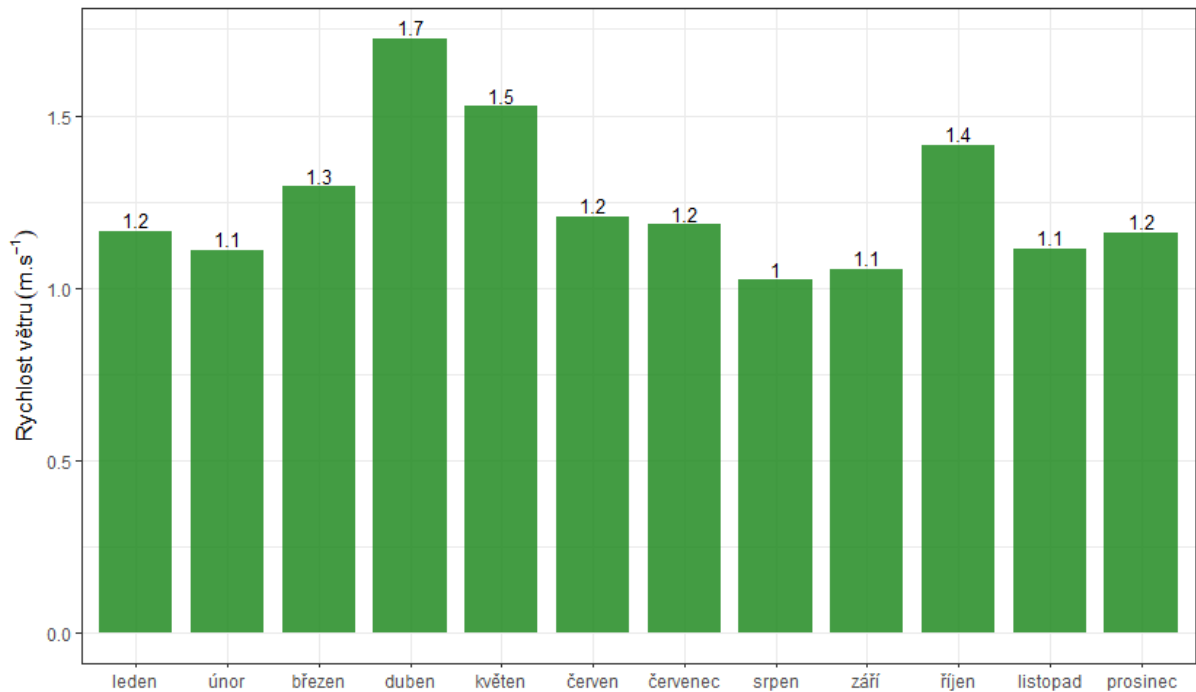
Otrokovice - město, rok 2021



Obr. 3 – Průměrné denní rychlosti větru, Otrokovice – město, rok 2021

### Vývoj průměrných měsíčních rychlostí větru

Otrokovice - město, rok 2021

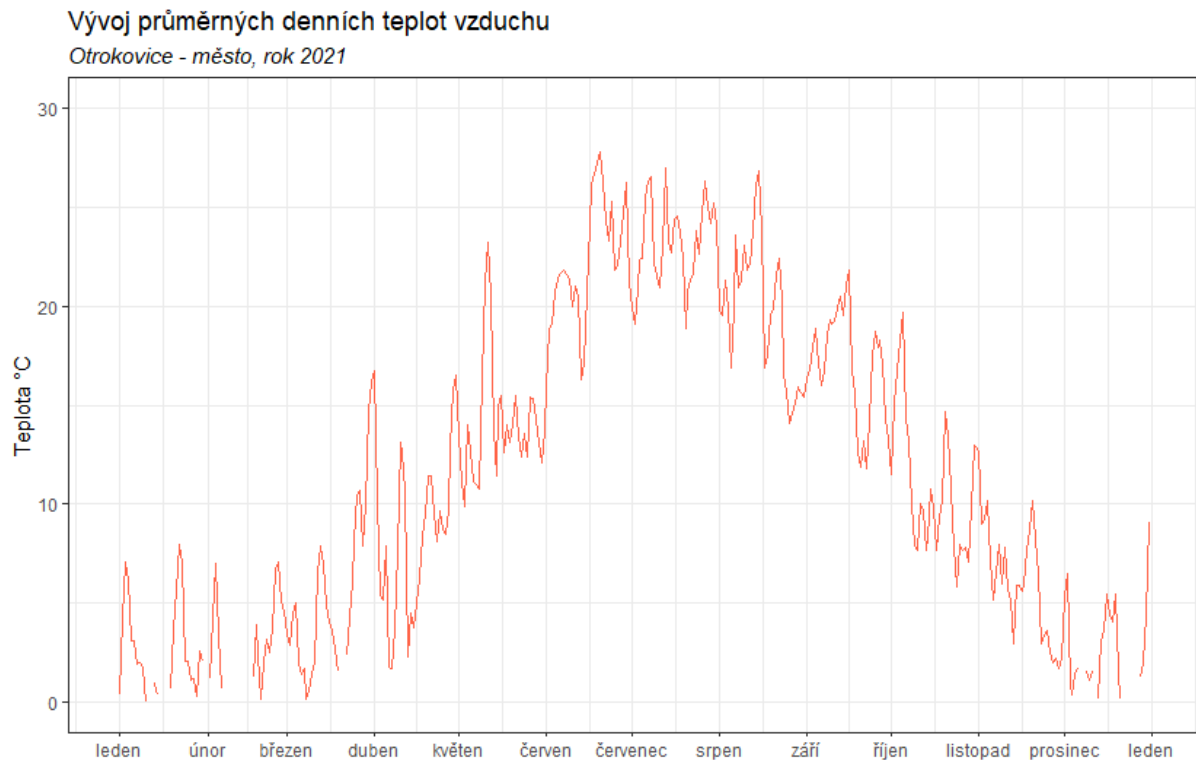


Obr. 4 – Průměrné měsíční rychlosti větru, Otrokovice – město, rok 2021

## 2.3 TEPLOTA VZDUCHU

Významným faktorem, ovlivňujícím koncentrace a distribuci velikostních frakcí je teplota vzduchu. V dlouhodobém trendu platí, že s klesající teplotou rostou koncentrace částic v ovzduší, přičemž je více zastoupená jemnější frakce, a naopak s rostoucí teplotou koncentrace klesají a je výrazněji zastoupená hrubší frakce částic. Teplota však spolu se slunečním zářením má vliv i na tvorbu částic z plynných prekurzorů tzv. nukleací. Působení teploty na tvorbu částic může být přímé (nukleace, růst a agregace) a nepřímé, kdy nízké teploty nutí k intenzivnějšímu vytápění, a tudíž k vyšším emisím tuhých látek z lokálních topenišť. Pokud jsou během teplotních inverzí velmi nízké teploty a bezvětří, vedou tyto situace k nárůstu koncentrací všech škodlivin v ovzduší a pokud situace trvá déle i k vyhlášení smogových situací.

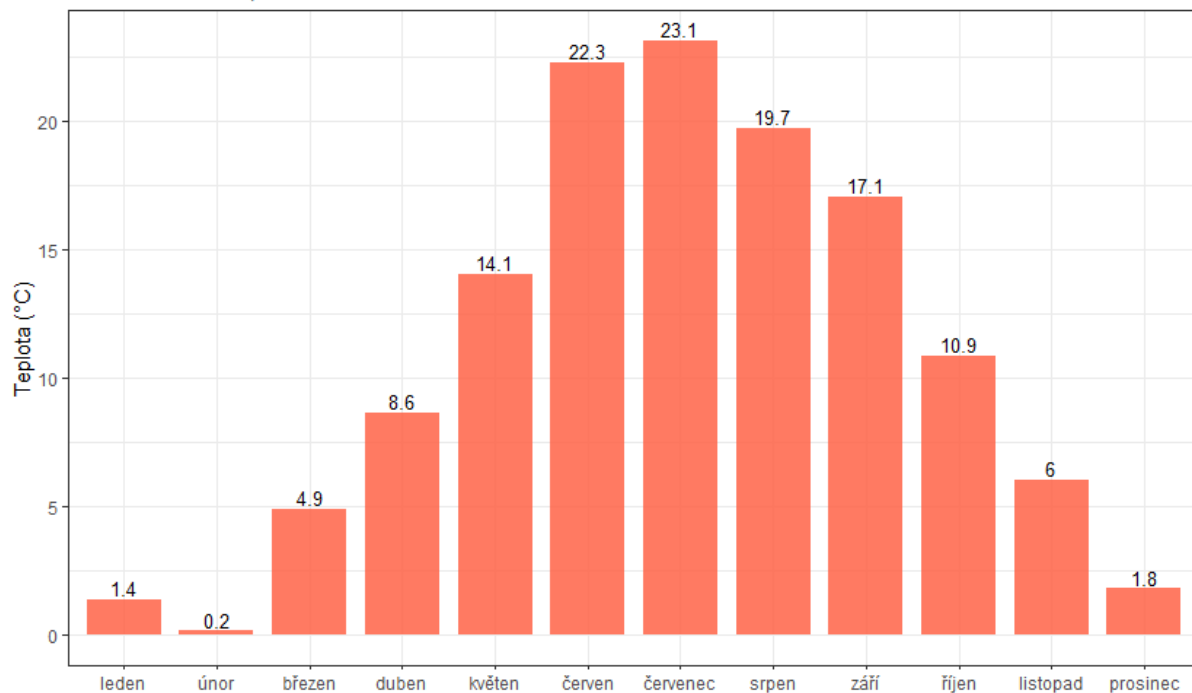
Následující Obr. 5 zobrazuje průměrné denní teploty vzduchu v lokalitě Otrokovice – město. Z grafu vyplývá, že maximální hodnoty byly v této lokalitě měřeny v červenci a červnu, poté docházelo k postupnému poklesu teplot. Minimální teploty pak byly měřeny v únoru a lednu (Obr. 6).



Obr. 5 – Průměrné denní teploty vzduchu, Otrokovice – město, rok 2021

## Vývoj průměrných měsíčních teplot vzduchu

Otrokovice - město, rok 2021



Obr. 6 – Průměrné měsíční teploty, Otrokovice – město, rok 2021

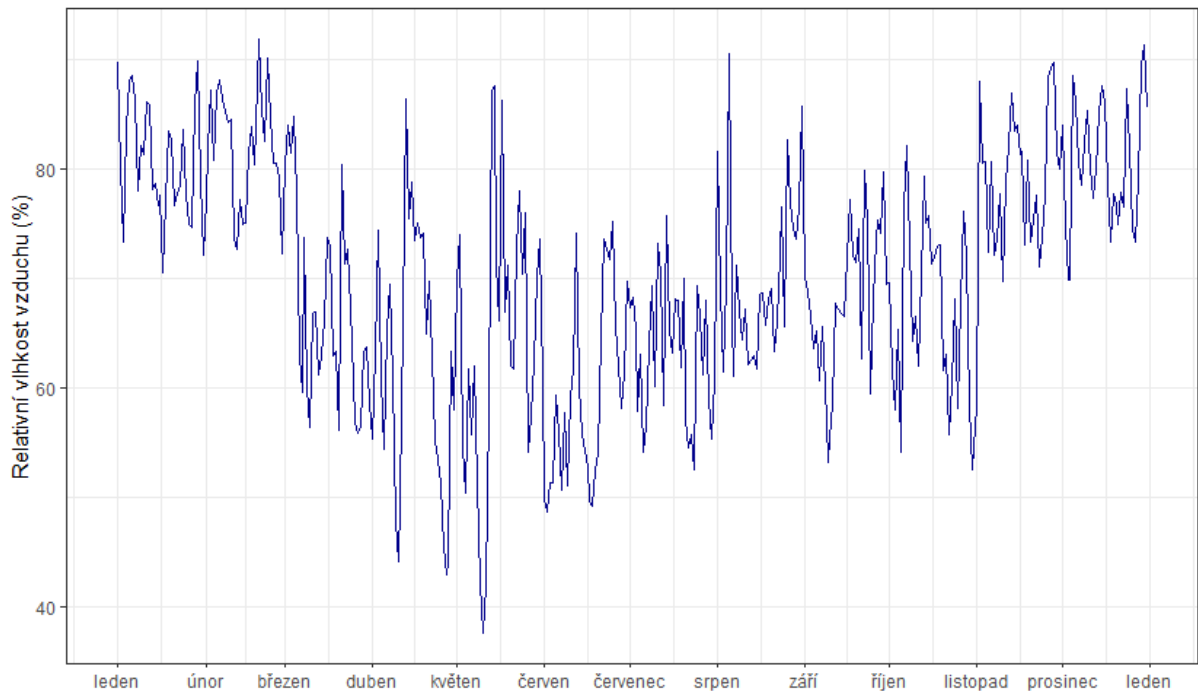
## 2.4 RELATIVNÍ VLHKOST VZDUCHU

Důležitým faktorem, ovlivňujícím koncentrace a distribuci velikostních frakcí je i relativní vlhkost vzduchu. V dlouhodobém trendu platí, že s rostoucí relativní vlhkostí rostou koncentrace částic v ovzduší, přičemž je více zastoupená jemnější frakce, a naopak s klesající relativní vlhkostí koncentrace klesají a je výrazněji zastoupená hrubší frakce částic.

Následující Obr. 7 zobrazuje průměrné denní relativní vlhkosti vzduchu v lokalitě Otrokovice – město. Z grafu vyplývá, že maximální hodnoty byly v této lokalitě měřeny v chladné části roku, naopak nejnižší hodnoty byly měřeny v dubnu a v létě. Průměrné měsíční hodnoty jsou uvedeny v grafu na Obr. 8

### Vývoj relativních denních vlhkostí vzduchu

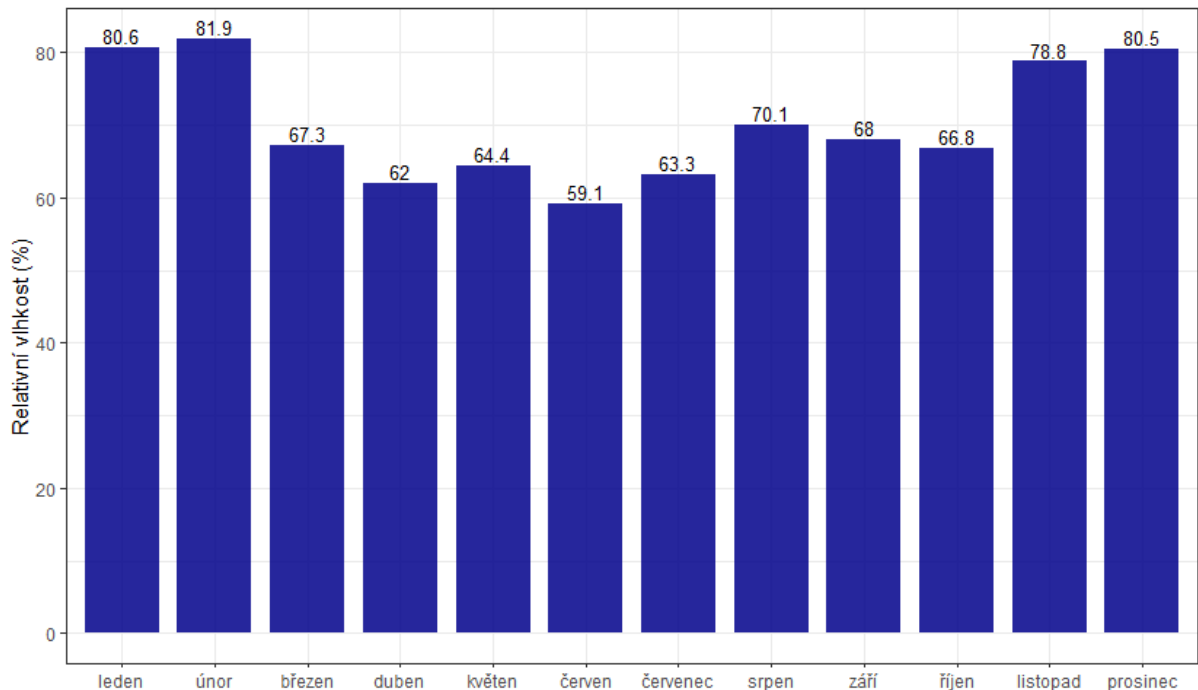
Otrokovice - město, rok 2021



Obr. 7 - Průměrné denní relativní vlhkosti vzduchu, Otrokovice – město, rok 2021

### Vývoj průměrných měsíčních relativních vlhkostí vzduchu

Otrokovice - město, rok 2021

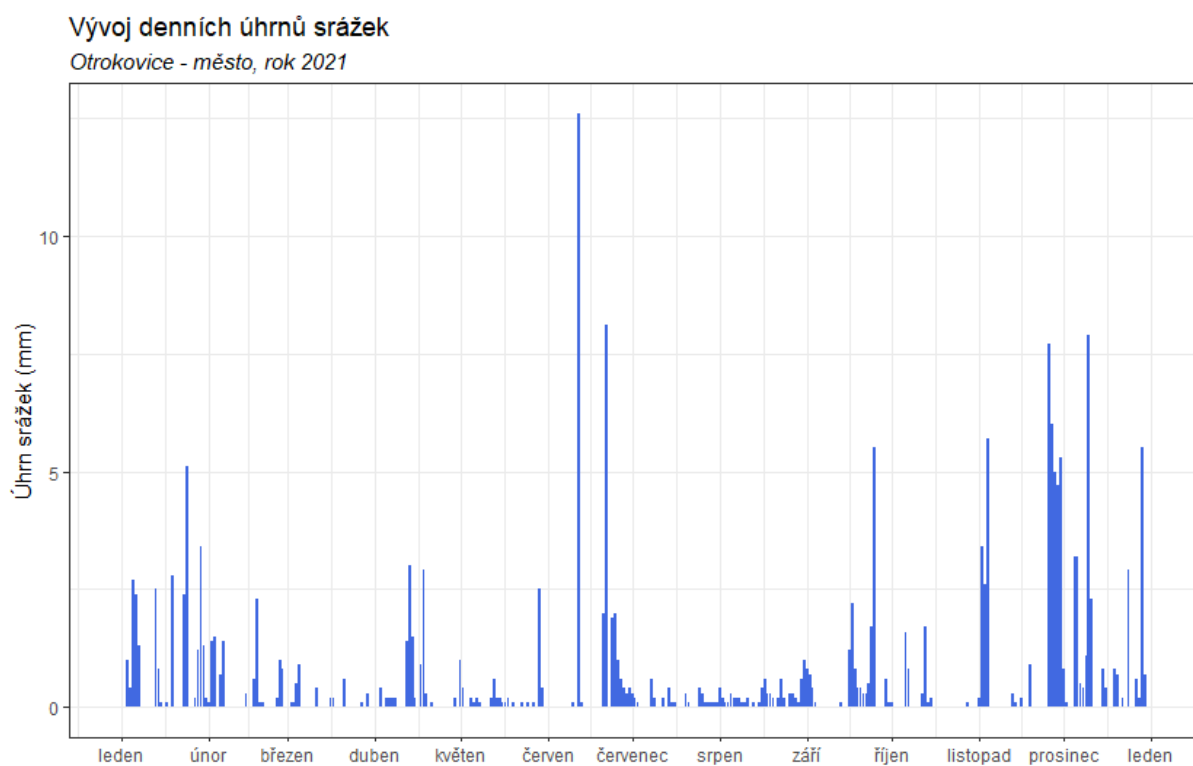


Obr. 8 – Průměrné měsíční relativní vlhkosti vzduchu, Otrokovice – město, rok 2021

## 2.5 ÚHRN SRÁŽEK

Koncentrace škodlivin může ovlivňovat rovněž úhrn srážek. Ten může znamenat přechod fronty, a tedy rozrušení teplotní inverze, v případě částic může díky srážkám docházet k tzv. vymývání částic z atmosféry, kdy dojde k výraznému poklesu koncentrací prašnosti v ovzduší. Naopak delší bezsrážková epizoda může v zimě značit delší epizodu s inverzním charakterem počasí, v teplé části roku pak může docházet k vysychání půdy a větrné erozi.

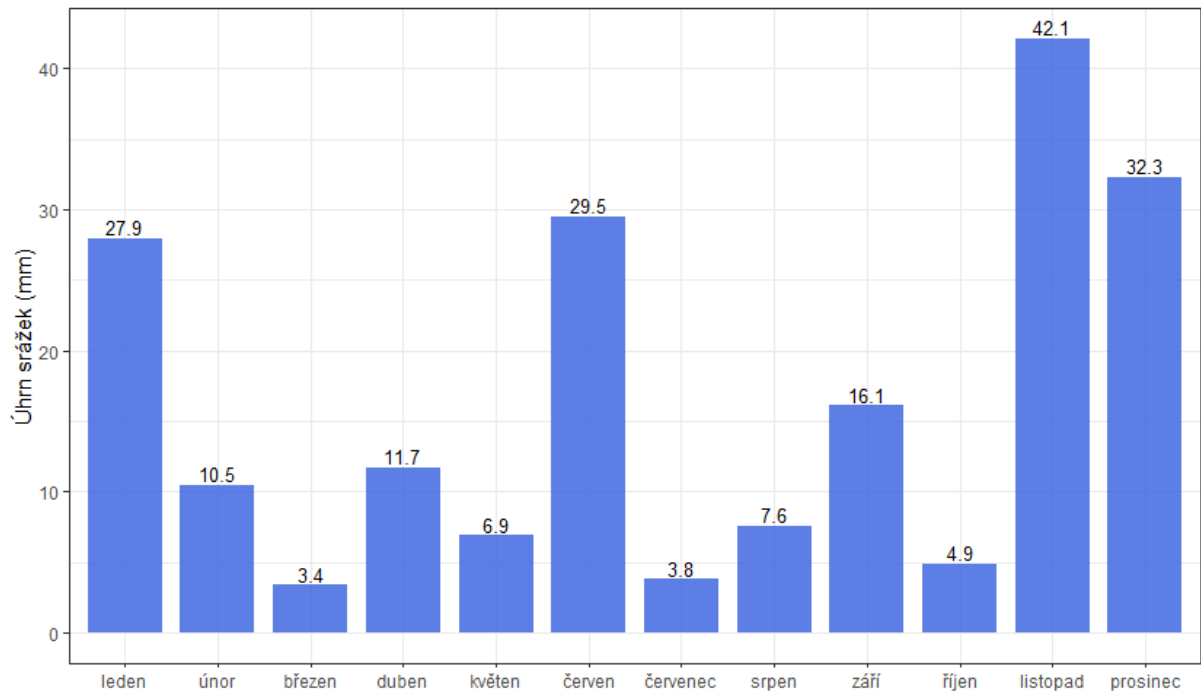
Následující Obr. 9 zobrazuje denní úhrn srážek v lokalitě Otrokovice – město. Následující graf na Obr. 10 zobrazuje měsíční úhrny srážek. Významnější úhrny srážek se vyskytovaly pouze v lednu, červnu, listopadu a prosinci.



Obr. 9 – Denní úhrn srážek, Otrokovice – město, rok 2021

### Vývoj měsíčních úhrnů srážek

Otrokovice - město, rok 2021



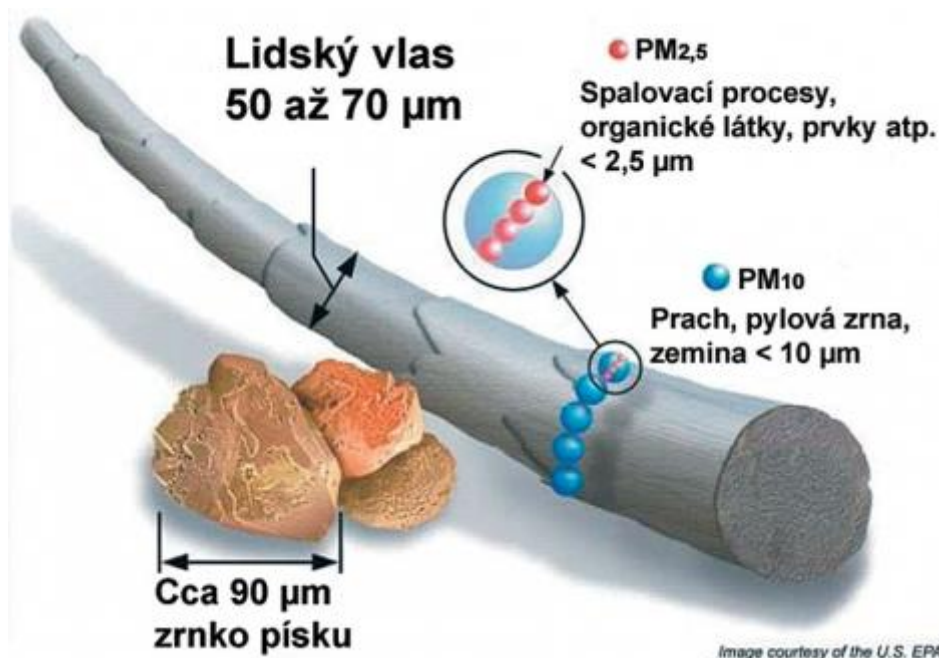
Obr. 10 – Měsíční úhrn srážek, Otrokovice – město, rok 2021

## 3 VYHODNOCENÍ KVALITY OVZDUŠÍ

### 3.1 SUSPENDOVANÉ ČÁSTICE $PM_{10}$ , $PM_{2,5}$ A $PM_1$

Suspendované částice jsou emitovány jak přírodními (např. sopky či prašné bouře), tak i antropogenními (např. elektrárny a průmyslové technologické procesy, doprava, spalování uhlí v domácnostech, spalování odpadu) zdroji. Většina těchto antropogenních emisních zdrojů je soustředěna v urbanizovaných oblastech, tj. v oblastech, ve kterých žije velká část populace.

Z hlediska platné legislativy [1] jsou v ovzduší sledovány dvě velikostní frakce suspendovaných částic. Jedná se o hrubší frakci  $PM_{10}$  (suspendované částice venkovního ovzduší s aerodynamickým průměrem do 10  $\mu\text{m}$ ) a jemnější frakci  $PM_{2,5}$  (suspendované částice venkovního ovzduší s aerodynamickým průměrem do 2,5  $\mu\text{m}$ ). Názorně jsou tyto částice velikostně srovnány s lidským vlasem na Obr. 11.

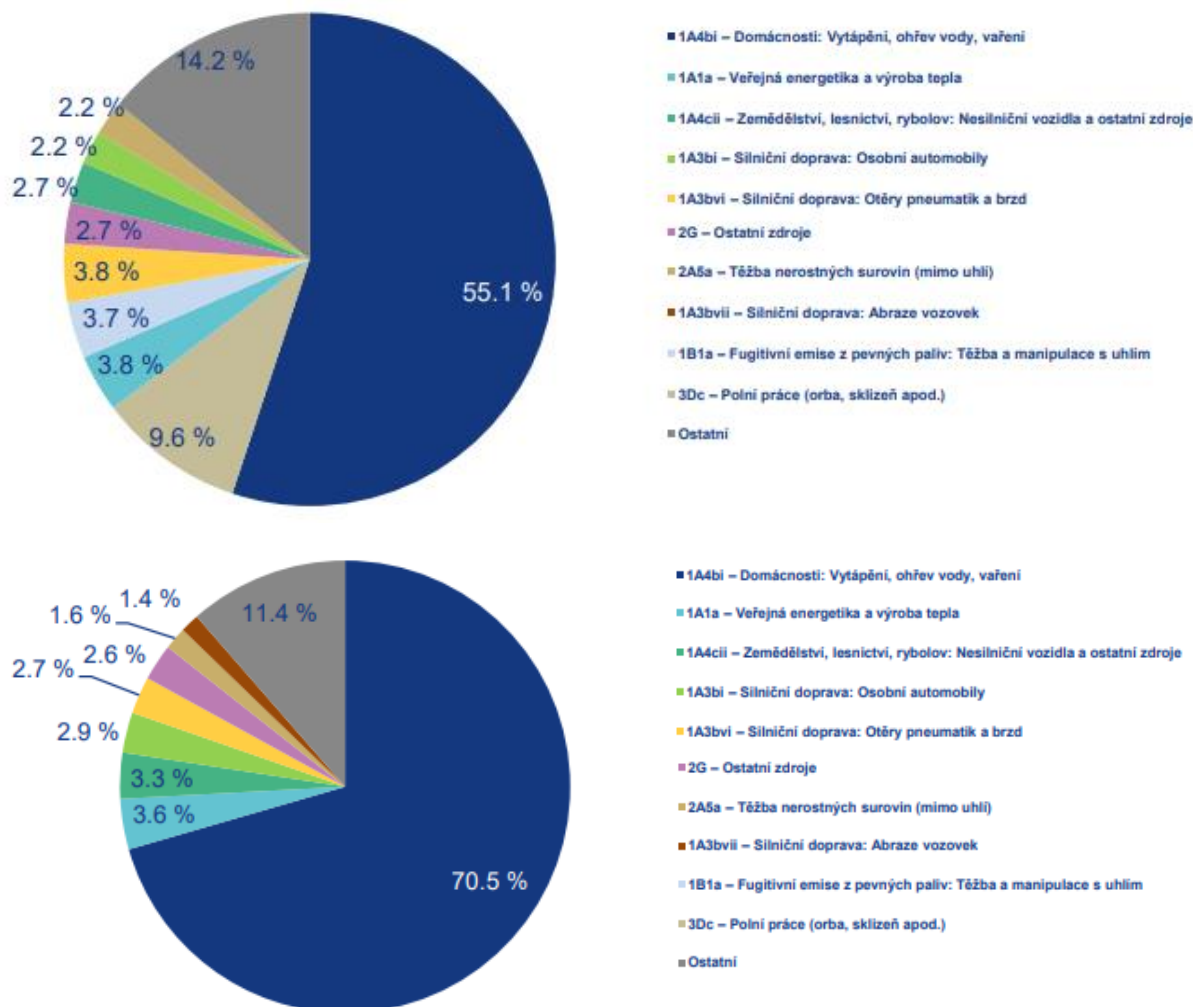


Obr. 11 – Srovnání velikostí částic  $PM_{10}$  a  $PM_{2,5}$  s lidským vlasem a zrnkem písku. Zdroj: US EPA

Emisní inventury částic  $PM_{10}$  a  $PM_{2,5}$  prováděné podle současných metodik zahrnují pouze emise produkované primárními zdroji. Ve srovnání s emisemi jiných znečišťujících látek jsou emise  $PM_x$  vnášeny do ovzduší z velkého počtu významnějších skupin zdrojů. Kromě zdrojů, ze kterých jsou tyto látky vypouštěny řízeně komínem nebo výduchy (průmyslové zdroje, lokální topeniště, doprava), pochází významné množství emisí PM ze zdrojů fugitivních (kamenolomy, skládky prašných materiálů, operace s prašnými materiály apod.). Zahrnuty jsou rovněž emise z otěrů pneumatik, brzdového obložení a abraze vozovek vypočítávané z dopravních výkonů. Kvalitu ovzduší ovlivňuje rovněž resuspenze částic (znovuzvíření), která do standardně prováděných emisních inventur není zahrnuta.

Mezi hlavní zdroje emisí částic v roce 2019 patřil sektor 1A4bi – Domácnosti: Vytápění, ohřev vody, vaření, který se podílel na znečišťování ovzduší v celorepublikovém měřítku látkami  $PM_{10}$  55,1 % a  $PM_{2,5}$  70,5 %. Mezi další významné zdroje emisí  $PM_{10}$  patřil sektor 3Dc – Polní práce, kde tyto emise

vznikají při zpracování půdy, sklizni a čištění zemědělských plodin. Tento sektor představoval 9,6 % emisí  $PM_{10}$ . Z hlediska účinku na lidské zdraví jsou velkým rizikem emise částic pocházející z dopravy, především ze spalování paliv ve vznětových motorech, které produkují částice o velikosti jednotek až stovek nanometrů [6]. Mobilní zdroje se na emisích  $PM_{10}$  v roce 2019 podílely 12,2 % a na emisích  $PM_{2,5}$  také 12,2 % [7].



Obr. 12 – Podíl sektorů NFR na celkových emisích  $PM_{10}$  (nahore) a  $PM_{2,5}$  (dole) v ČR, rok 2019 [7]

Suspendované částice mají významné zdravotní důsledky, které se projevují již při velmi nízkých koncentracích bez zřejmé spodní hranice bezpečné koncentrace. Zdravotní rizika částic ovlivňuje jejich koncentrace, velikost, tvar a chemické složení. Při akutním působení částic může dojít k podráždění sliznic dýchací soustavy, zvýšené produkci hlenu apod. Tyto změny mohou způsobit snížení imunity a zvýšení náchylnosti k onemocnění dýchací soustavy. Opakující se onemocnění mohou vést ke vzniku chronické bronchitidy a kardiovaskulárním potížím. Při akutním působení částic může dojít k zvýraznění symptomů u astmatiků a navýšení celkové nemocnosti a úmrtnosti populace. Dlouhodobé vystavení působení částic může vést ke vzniku onemocnění respiračního a kardiovaskulárního systému. Míra zdravotních důsledků je ovlivněna řadou faktorů, jako je například aktuální zdravotní stav jedince, alergická dispozice nebo kouření. Citlivou skupinou jsou děti, starší lidé a lidé trpící onemocněním dýchací a oběhové soustavy. Nejzávažnější zdravotní dopady, tj. kardiovaskulární a respirační účinky a

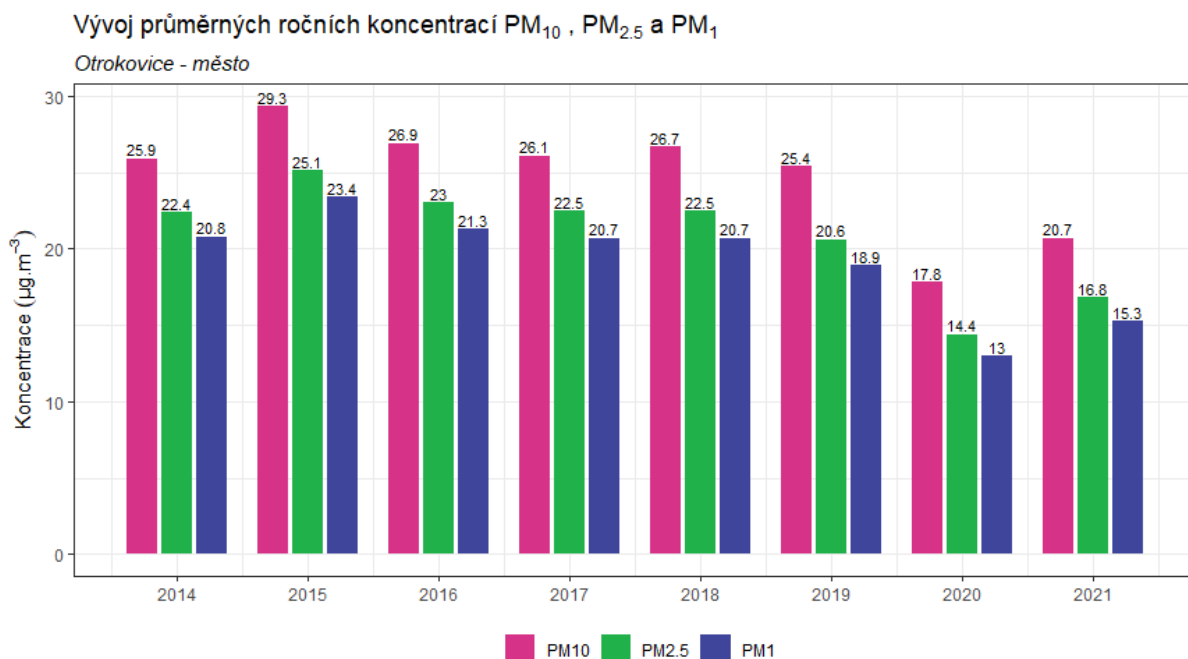
navýšení úmrtnosti, mají jemné a ultra jemné částice s velikostí aerodynamického průměru pod 1  $\mu\text{m}$  [8], [9].

### 3.1.1 Průměrné roční koncentrace

**Průměrná roční koncentrace  $\text{PM}_{10}$  činila v roce 2021 v lokalitě Otrokovice – město 20,7  $\mu\text{g}\cdot\text{m}^{-3}$ . Imisní limit tedy překročen nebyl. Průměrná roční koncentrace  $\text{PM}_{2,5}$  činila v roce 2021 v lokalitě Otrokovice – město 16,8  $\mu\text{g}\cdot\text{m}^{-3}$ . Imisní limit tedy překročen nebyl.**

Průměrná roční koncentrace  $\text{PM}_1$  činila v roce 2021 v lokalitě Otrokovice – město 15,3  $\mu\text{g}\cdot\text{m}^{-3}$ .

Následující Obr. 13 zobrazuje vývoj průměrných ročních koncentrací  $\text{PM}_{10}$ ,  $\text{PM}_{2,5}$  a  $\text{PM}_1$  v lokalitě Otrokovice – město. Z grafu je patrné, že proti roku 2020 došlo ve všech sledovaných frakcích prašnosti k mírnému nárůstu průměrných ročních koncentrací, avšak proti rokům 2014–2019 jsou koncentrace nižší. Svůj vliv na nižší koncentrace v posledních 2 letech mohou mít i opatření spojená s onemocněním Covid 19. Nejvyšší koncentrace  $\text{PM}_{10}$  i  $\text{PM}_{2,5}$  byly měřeny v roce 2015.

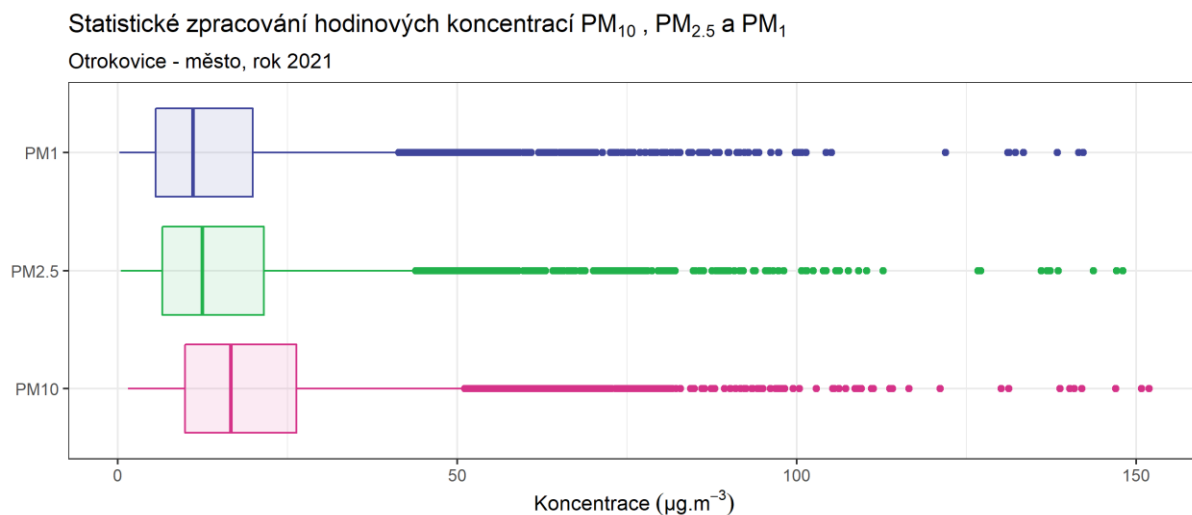


Obr. 13 -Vývoj průměrných ročních koncentrací PM, lokalita Otrokovice – město

Následující Tab. 2 pak zobrazuje statistické zpracování naměřených hodinových dat pro jednotlivé frakce PM. Grafické znázornění hodinových koncentrací pomocí krabicových grafů za rok 2021 pak zobrazuje Obr. 14.

Tab. 2 – Statistické charakteristiky hodinových koncentrací PM<sub>10</sub>, PM<sub>2,5</sub> a PM<sub>1</sub> v lokalitě Otrokovice – město, rok 2021

STATISTIKA	PM10	PM25	PM01
PRŮMĚR	20,7	16,8	15,3
MAXIMUM	151,9	148	142,2
MEDIÁN	16,7	12,5	11,1
MINIMUM	1,5	0,5	0,3



Obr. 14 – Statistické zpracování hodinových koncentrací PM<sub>10</sub>, PM<sub>2,5</sub> a PM<sub>1</sub> v lokalitě Otrokovice – město, rok 2021

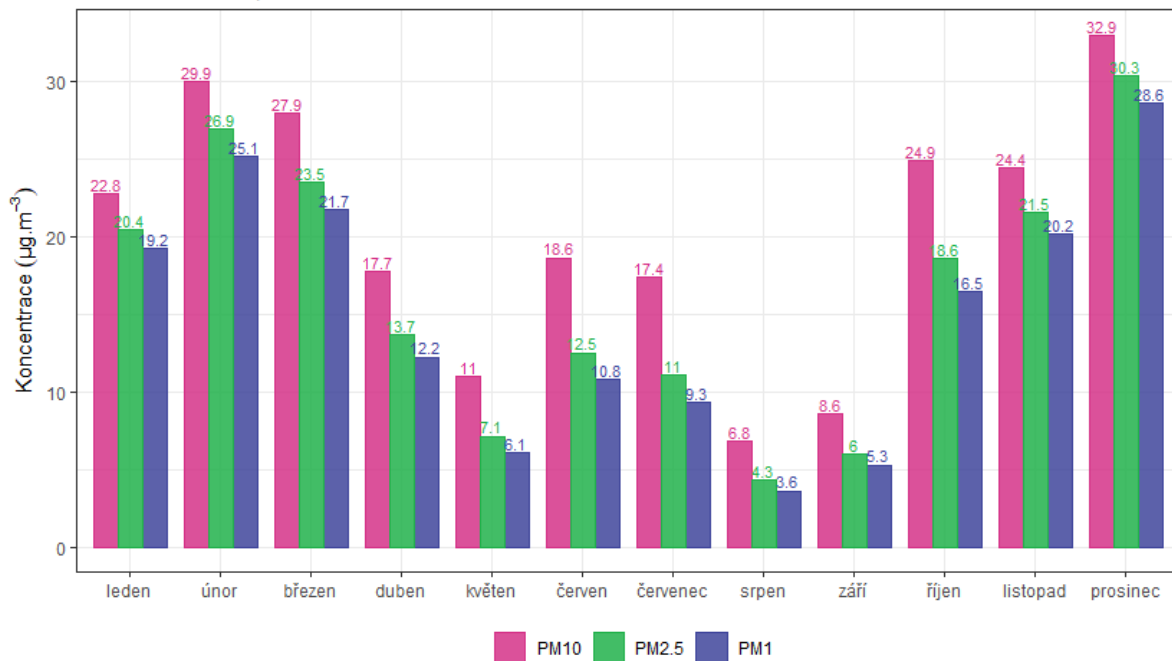
### 3.1.2 Průměrné měsíční koncentrace

Na Obr. 15 jsou průměrné měsíční koncentrace PM<sub>10</sub>, PM<sub>2,5</sub> a PM<sub>1</sub>. Z obrázku je patrné, že v letních měsících jsou koncentrace nejnižší, naopak v chladné části roku jsou měřeny vyšší koncentrace. Nejvyšší průměrná měsíční koncentrace PM<sub>10</sub> byla naměřena v prosinci a únoru, tedy v měsících, kdy byly měřeny nízké teploty a bylo potřeba intenzivněji topit. Rovněž je patrné, že v červnu a červenci došlo k mírnému nárůstu koncentrací. Tento nárůst je patrný i u dalších měřicích lokalit v regionu, jde zřejmě od nadregionální vliv (více viz kap. 3.1.5).

Průměrné měsíční zastoupení jemnějších frakcí v PM<sub>10</sub> zobrazuje Obr. 16. Z něj je patrné, že v chladné části roku je jemnější a nebezpečnější frakce zastoupena podstatně více (až 90 %), než v létě, kdy se jemnější frakce podílí zhruba 60 %.

### Vývoj průměrných měsíčních koncentrací PM<sub>10</sub>, PM<sub>2,5</sub> a PM<sub>1</sub>

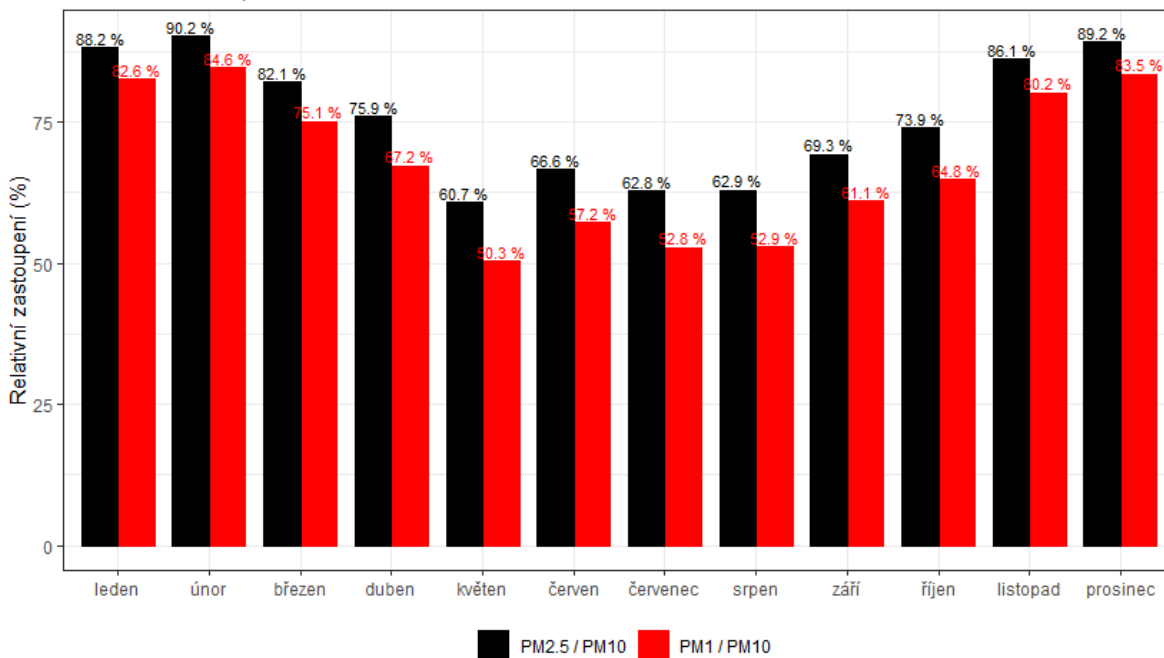
Otrokovice - město, rok 2021



Obr. 15 - Průměrné měsíční koncentrace PM<sub>10</sub>, PM<sub>2,5</sub> a PM<sub>1</sub>, Otrokovice – město, rok 2021

### Průměrné měsíční relativní zastoupení PM<sub>2,5</sub> v PM<sub>10</sub> a PM<sub>1</sub> v PM<sub>10</sub>

Otrokovice - město, rok 2021



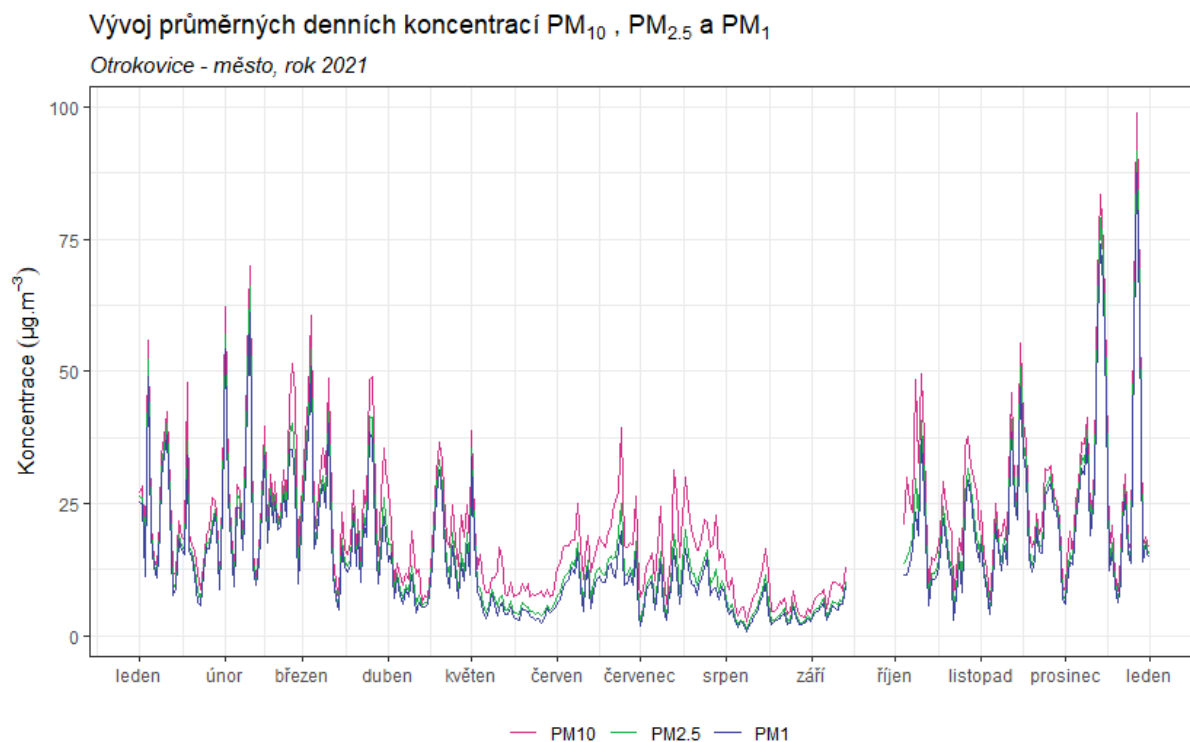
Obr. 16 – Průměrné měsíční zastoupení PM<sub>2,5</sub> v PM<sub>10</sub> a PM<sub>1</sub> v PM<sub>10</sub>, lokalita Otrokovice – město, rok 2021

### 3.1.3 Průměrné denní koncentrace PM

Vývoj průměrných denních koncentrací PM<sub>10</sub>, PM<sub>2,5</sub> a PM<sub>1</sub> v lokalitě Otrokovice – město zobrazuje následující Obr. 17. Z grafu je patrné, že koncentrace jemnějších frakcí PM<sub>2,5</sub> a PM<sub>1</sub> do značné míry kopírují hrubší frakci PM<sub>10</sub> a z velmi velké části tak PM<sub>10</sub> tvoří.

Průměrné denní koncentrace vyšší, než je hodnota imisního limitu pro průměrnou denní koncentraci PM<sub>10</sub> (50 µg·m<sup>-3</sup>) se vyskytují pouze v chladné části. V měsících květen–září, kdy nejsou v provozu lokální topeniště a jsou příznivější rozptylové podmínky, jsou koncentrace všech frakcí PM nižší a k překračování hodnoty limitu nedochází. Počet dní s překročenou hodnotou imisního limitu v jednotlivých měsících zobrazuje následující Obr. 18. Nejvíce překročení bylo naměřeno v prosinci a únoru (Obr. 5). Za rok 2021 došlo souhrnně k 14 překročením hodnoty imisního limitu pro průměrnou denní koncentraci PM<sub>10</sub>, imisní limit tedy překročen nebyl (zákon umožňuje za kalendářní rok 35 překročení této hodnoty).

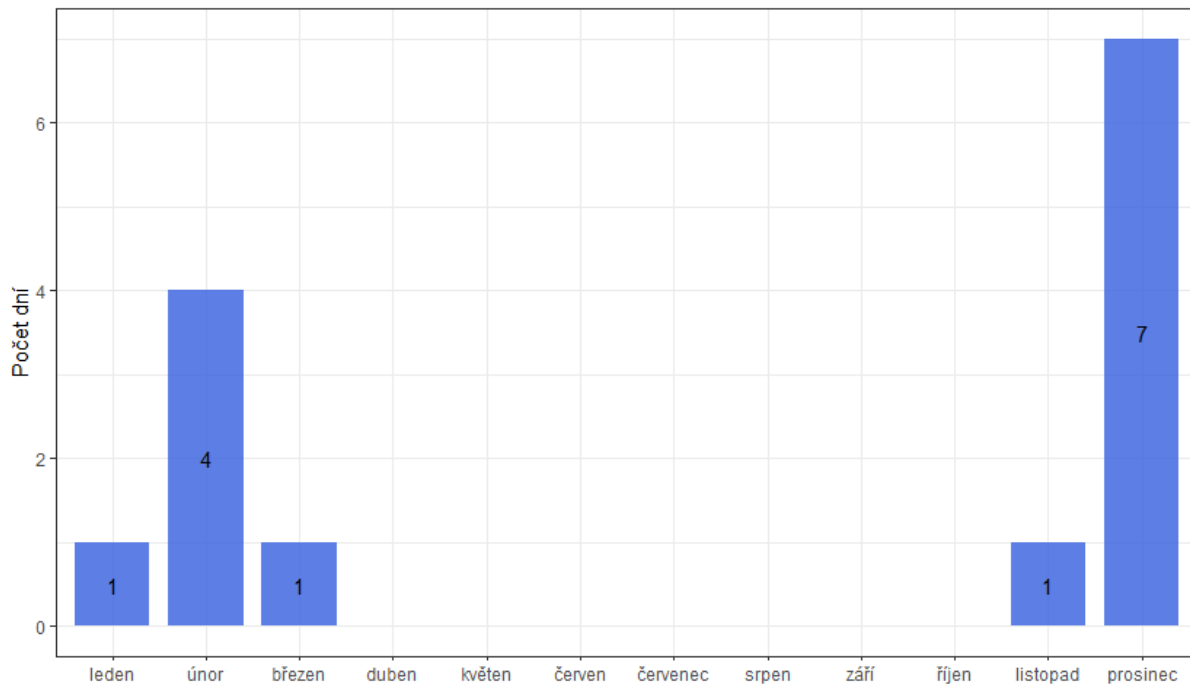
Vývoj charakteristik, vztahujících se k dennímu imisnímu limitu pro PM<sub>10</sub> (36. nejvyšší koncentrace PM<sub>10</sub> za kalendářní rok a počet dní s překročenou hodnotou imisního limitu) zobrazuje Obr. 19. Z grafu je patrné, že v roce 2021 došlo proti roku 2020 k mírnému nárůstu obou sledovaných charakteristik, avšak proti období 2014–2019 jsou hodnoty obou charakteristik nižší, což může být opět spojeno s opatřeními v rámci Covid 19.



Obr. 17 – Vývoj průměrných hodinových koncentrací PM<sub>10</sub>, PM<sub>2,5</sub> a PM<sub>1</sub>, Otrokovice – město, rok 2021

### Počet dní s překročením denního imisního limitu PM<sub>10</sub> v jednotlivých měsících

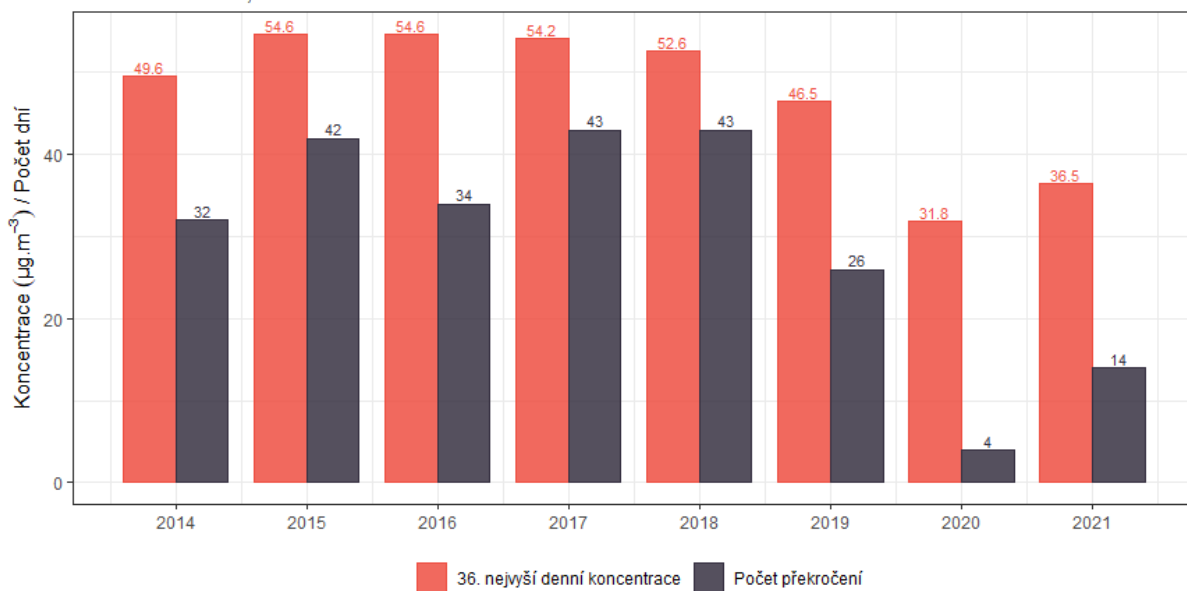
Otrokovice - město, rok 2021



Obr. 18 – Počet dní s překročenou hodnotou imisního limitu pro průměrnou denní koncentraci PM<sub>10</sub> v jednotlivých měsících, Otrokovice – město

### Vývoj 36. nejvyšší denní koncentrace PM<sub>10</sub> a překročení hodnoty imisního limitu

Otrokovice - město, rok 2021



Obr. 19 – Vývoj 36. nejvyšší denní koncentrace PM<sub>10</sub> a počtu dní s překročením hodnoty imisního limitu pro denní koncentraci PM<sub>10</sub>, lokalita Otrokovice – město

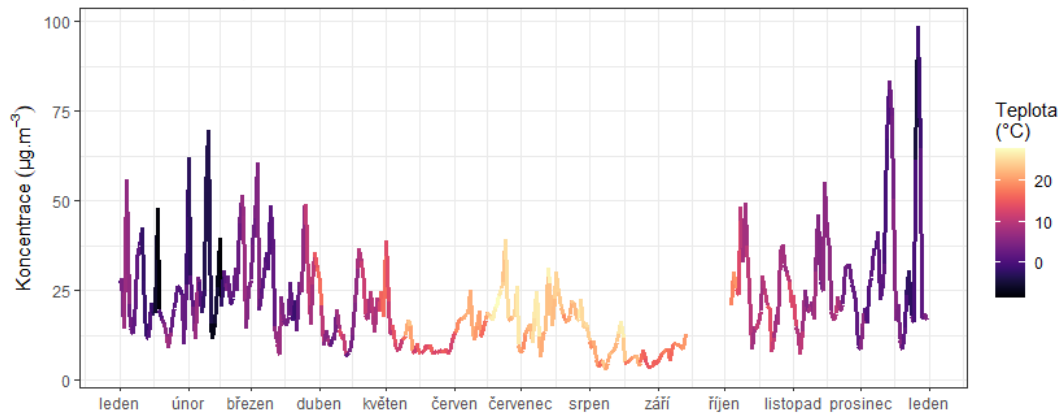
Vzhledem k tomu, že jsou trend a z velké části i hodnoty  $PM_{10}$ ,  $PM_{2,5}$  a  $PM_1$  téměř totožné (Obr. 17), bude vliv meteorologických podmínek zobrazen pouze pro  $PM_{10}$ , avšak totéž platí i pro jemnější frakce.

Na Obr. 20 jsou nad sebou zobrazeny tři grafy. Křivka vždy zobrazuje vývoj koncentrací  $PM_{10}$ , zbarvení křivky na horním grafu vždy zobrazuje aktuální teplotu vzduchu, v prostředním grafu pak rychlost proudění větru a ve spodním relativní vlhkost.

Z grafů je pak patrné, že vyšší koncentrace  $PM_{10}$  jsou měřeny při nízkých teplotách a nízkých rychlostech větru. To jsou podmínky charakteristické pro teplotní inverzi. Nízké teploty se dále promítnou do potřeby více topit, takže se i zvyšují emise z lokálních topenišť – v chladné části roku nejvýznamnější zdroj prašnosti. Nízké rychlosti větru pak zabraňují dostatečnému rozptylu škodlivin a koncentrace se tak neustále zvyšují.

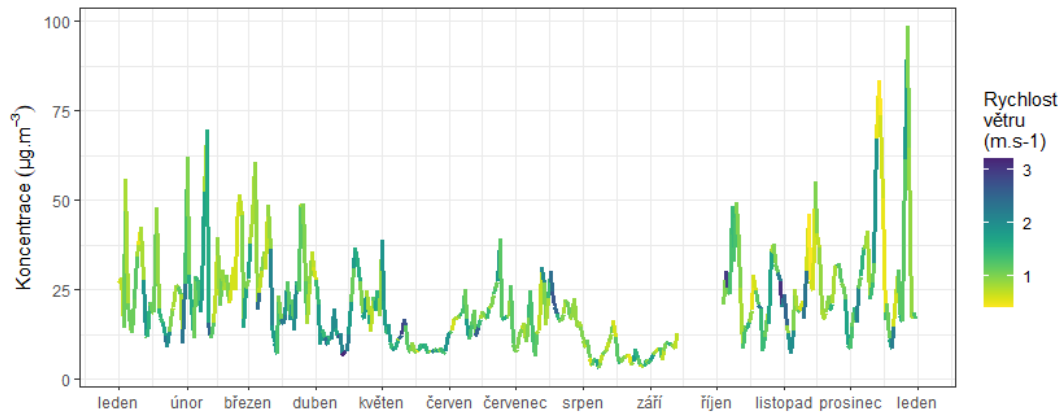
### Vývoj průměrných denních koncentrací PM<sub>10</sub> v závislosti na teplotě vzduchu

Otrokovice - město, rok 2021



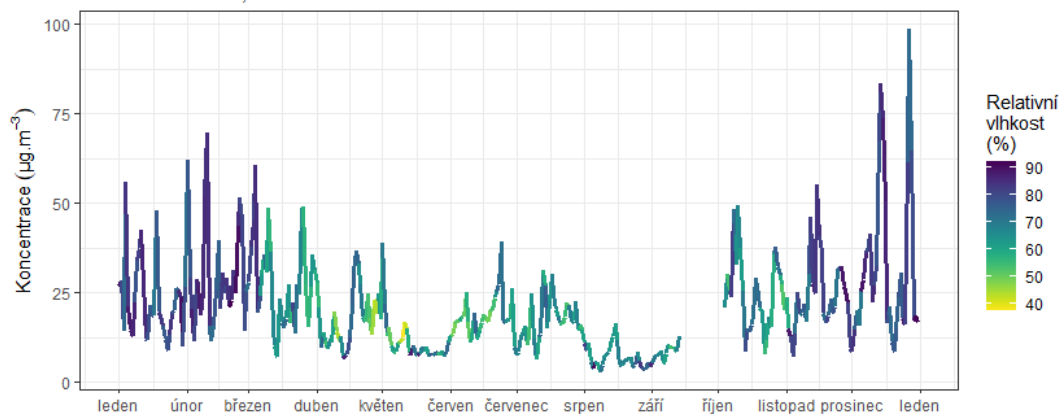
### Vývoj průměrných denních koncentrací PM<sub>10</sub> v závislosti na rychlosti větru

Otrokovice - město, rok 2021



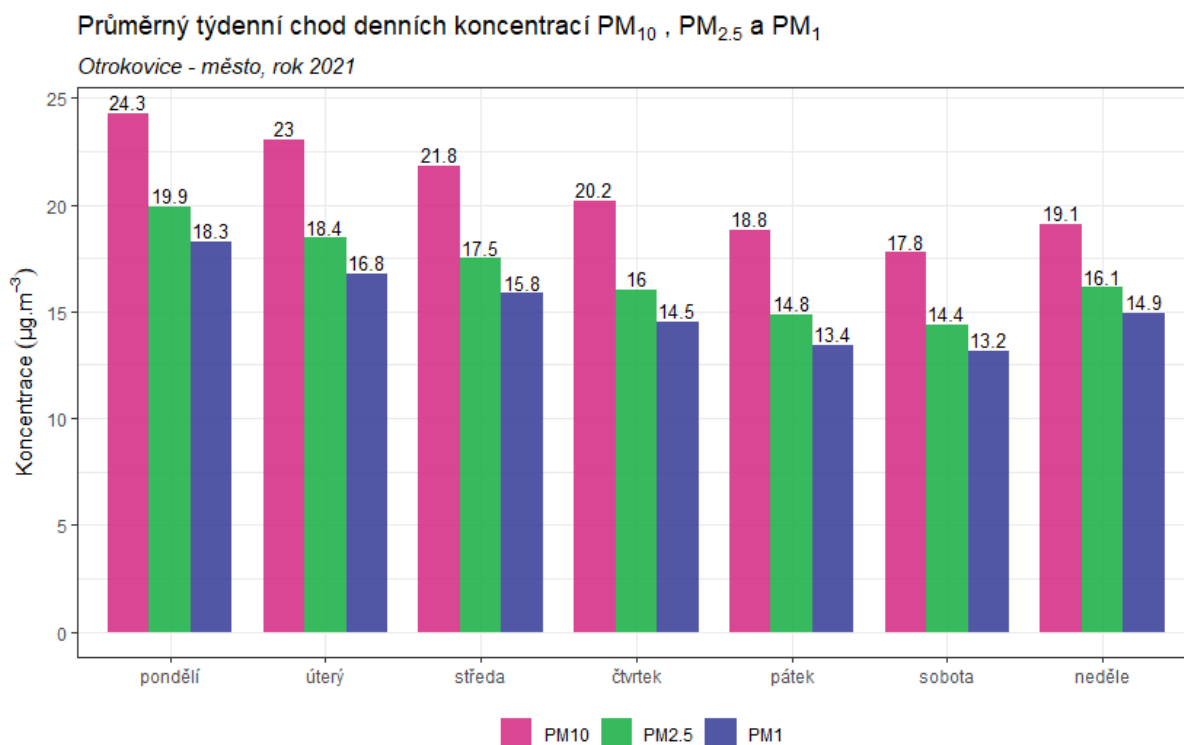
### Vývoj průměrných denních koncentrací PM<sub>10</sub> v závislosti na relativní vlhkosti vzduchu

Otrokovice - město, rok 2021



Obr. 20 – Vliv teploty (nahore), rychlosti větru (uprostřed) a relativní vlhkosti (dole) na koncentrace PM<sub>10</sub>, Otrokovice – město, rok 2021

Z hlediska týdenního chodu průměrných denních koncentrací PM<sub>10</sub>, PM<sub>2,5</sub> a PM<sub>1</sub> (Obr. 21) je nejhorším dnem pondělí. Naopak nejnižší koncentrace byly měřeny v sobotu.



Obr. 21 – Průměrný týdenní chod denních koncentrací PM<sub>10</sub>, Otrokovice – město, rok 2021

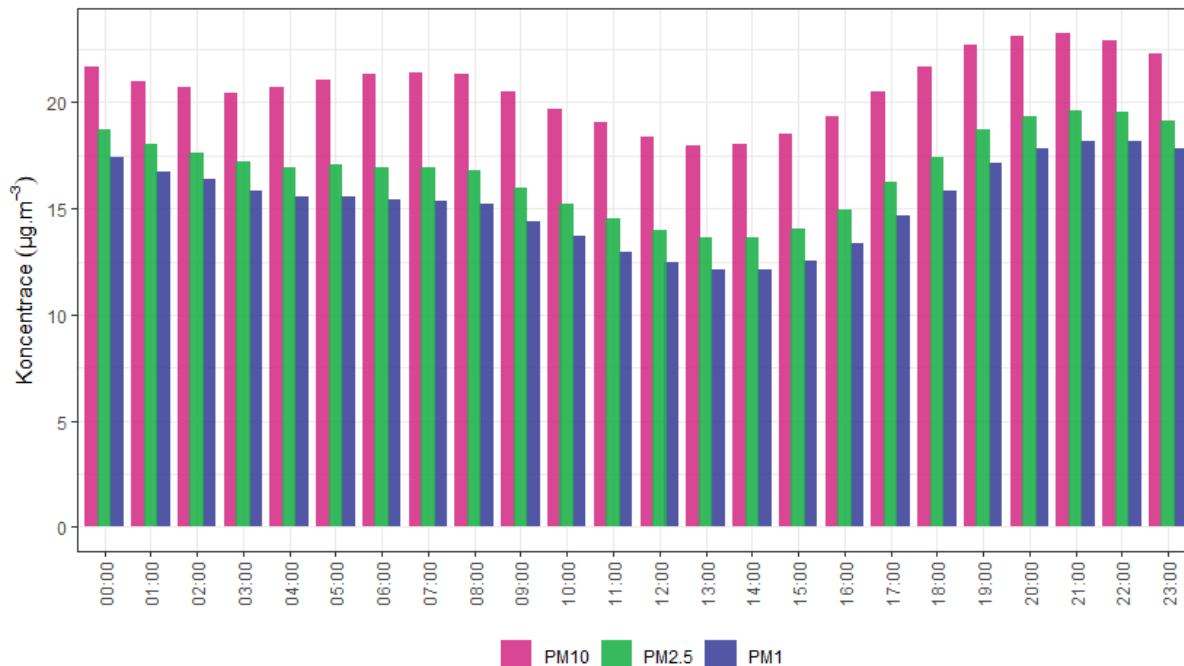
### 3.1.4 Analýza hodinových koncentrací – denní chod a koncentrační růžice

Zprůměrováním všech naměřených koncentrací v jednotlivé hodiny lze získat průměrný denní chod koncentrací PM<sub>10</sub> (a v podstatě také PM<sub>2,5</sub> a PM<sub>1</sub>) v lokalitě Otrokovice – město. Denní chod koncentrací PM<sub>10</sub> zobrazuje Obr. 22.

Z grafů je patrné, že nejvyšší hodnoty koncentrací PM<sub>10</sub> jsou dosahovány během ranní dopravní špičky kolem 7. hodiny ráno a dále pak ve večerních a nočních hodinách. Večerní vysoké hodnoty jsou pravděpodobně důsledkem návratu lidí z práce a zatopení v lokálních topeništích, které plošně navýší hodnoty koncentrací prašnosti v celém území. Svůj vliv mají také rozptylové podmínky, které bývají v noci horší. Nárůst začíná kolem 16. hodiny a zůstává zvýšený zhruba do 22. hodiny. Poté dochází k postupnému poklesu koncentrací. Minimální hodnoty jsou pak měřeny během odpoledne.

## Průměrný denní chod hodinových koncentrací PM<sub>10</sub>, PM<sub>2,5</sub> a PM<sub>1</sub>

Otrokovice - město, rok 2021

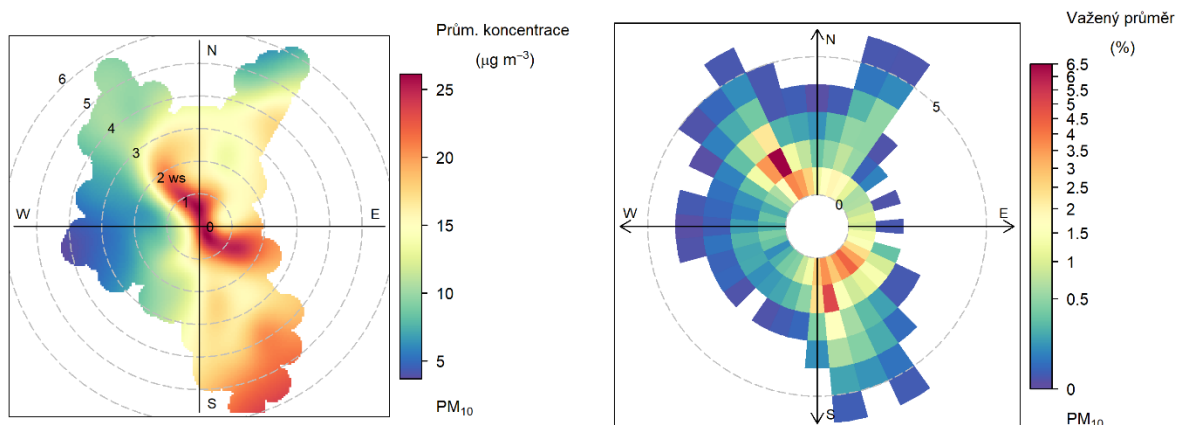


Obr. 22 – Denní chod hodinových koncentrací PM<sub>10</sub>, PM<sub>2,5</sub> a PM<sub>1</sub>, Otrokovice – město, rok 2021

Koncentrační růžice jsou nástroj pro analýzu znečištění ovzduší na základě meteorologických charakteristik. Pro jejich konstrukci jsou použita hodinová data meteorologických prvků a koncentrací škodlivin. Vychází se z větrné růžice, do polárních souřadnic se ukládá jednak směr větru jako u klasické větrné růžice, a dále pak rychlost větru – ve středu růžice je bezvětří, s rostoucí vzdáleností od středu roste rychlost větru. Pro jednotlivé rychlosti a směry větru je pak v koncentrační růžici zprůměrována koncentrace dané škodliviny, naměřená vždy při daných rychlostech a směrech větru.

Základní koncentrační růžice tak ukazuje, při jakých rychlostech a směrech větru jsou v průměru dosahovány (nejvyšší) koncentrace. Vážená koncentrační růžice pak vypočte vážený průměr (tzn. že je vzata v úvahu také četnost výskytu), a dává tak informaci, jakým procentem se jednotlivé směry větru podílí na měřených koncentracích dané škodliviny.

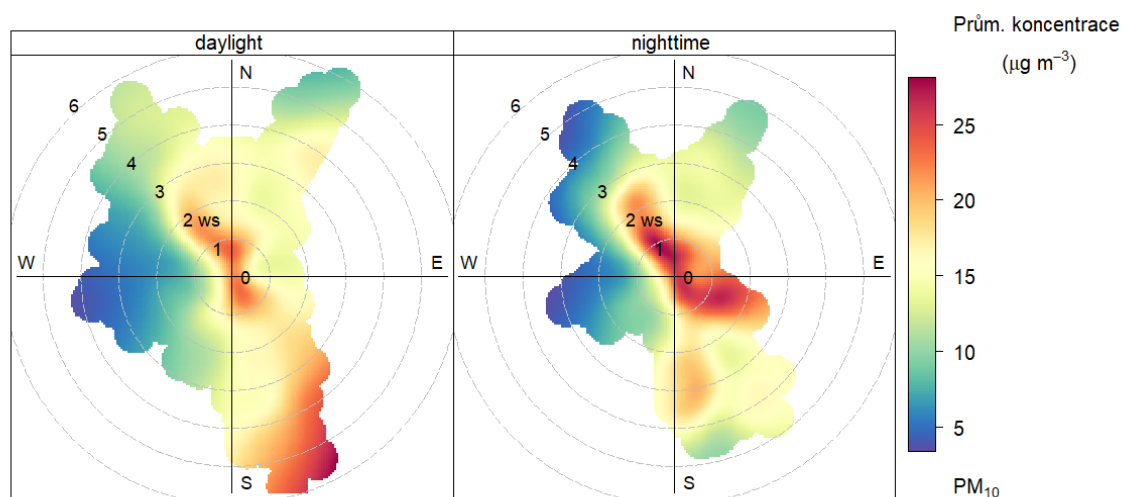
Následující Obr. 23 zobrazuje tyto dva typy koncentračních růžic pro lokalitu Otrokovice – město.



Obr. 23 – Koncentrační růžice (vlevo) a vážená koncentrační růžice (vpravo) pro  $PM_{10}$ , Otrokovice – město, rok 2021

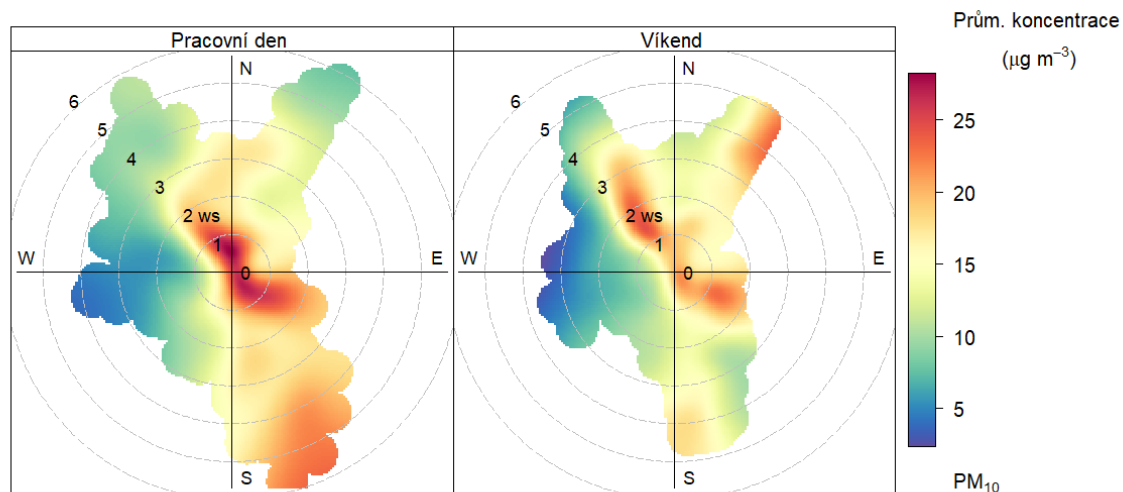
Z Obr. 23 vyplývá, že v průměru jsou nejvyšší koncentrace měřeny při severním až severozápadním a východním až jihovýchodním proudění a nízkých rychlostech větru. Co se týče relativního příspěvku k měřeným koncentracím, převládají severozápadní, jižní a jihovýchodní směry větru (z těchto směrů fouká nejčastěji) a spíše nízké rychlosti větru.

Na následujícím Obr. 24 je koncentrační růžice rozdělena na den a noc. Vyšší koncentrace při bezvětrí či nízkých rychlostech větru převládají zejména v nočních hodinách. Dále je patrné, že zvýšené koncentrace z jihovýchodu při vyšších rychlostech větru byly měřeny v denních hodinách, naopak vyšší koncentrace ze severovýchodu až východu při nižších rychlostech větru byly měřeny v nočních hodinách.



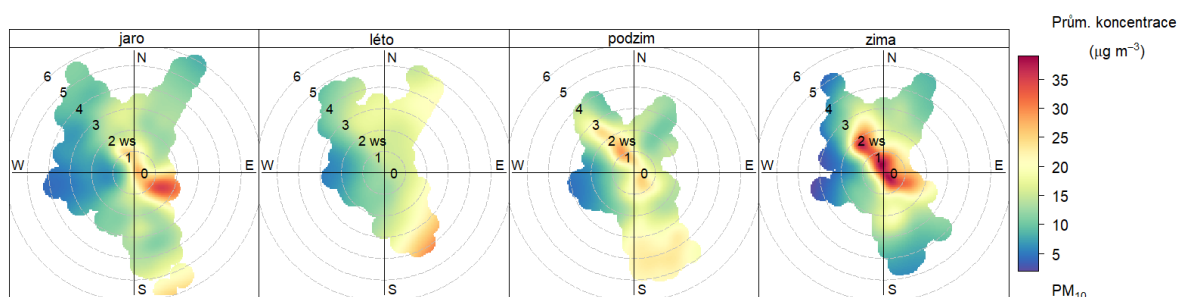
Obr. 24 – Koncentrační růžice ve dne (daytime) a v noci (nighttime), Otrokovice – město, rok 2021

Koncentrační růžici je taky možné rozdělit na pracovní dny a víkendy. Jak ukazuje následující Obr. 25, vyšší koncentrace jsou měřeny v pracovní dny, o víkendech jsou koncentrace nižší, mírně zvýšené zejména při bezvětří a hlavních směrech proudění (severozápad – jihovýchod).



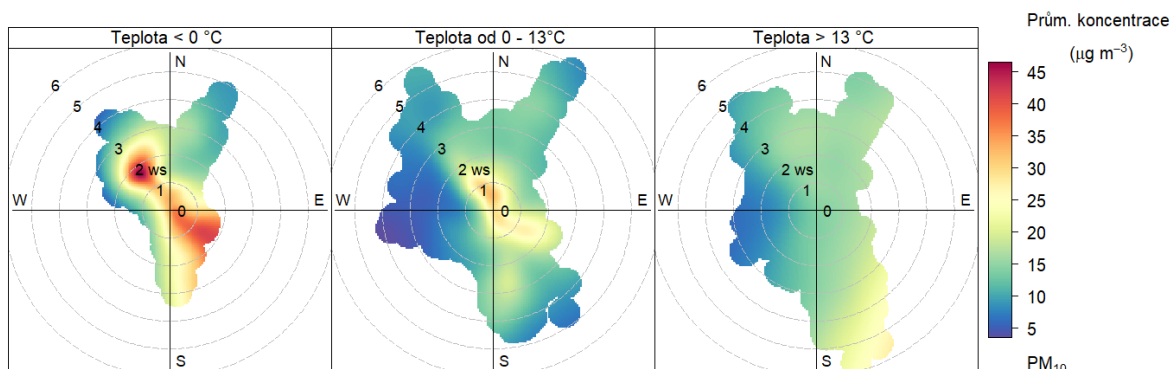
Obr. 25 – Koncentrační růžice v pracovní dny a o víkendu, Otokovice – město, rok 2021

Následující Obr. 26 zobrazuje koncentrační růžice v jednotlivých ročních obdobích. Vysoké koncentrace byly měřeny pouze v zimních měsících, zvýšené koncentrace byly zaznamenány rovněž na jaře. Zvýšené koncentrace v zimních měsících může být důsledek teplotní inverze, zhoršených rozptylových podmínek a vlivu lokálních topenišť. V jarních měsících mohou přetrvávat nízké teploty, a dále může vyšší prašnost souviset s posypovým materiálem, který po zimě vysychá a může dojít k jeho resuspenzi.



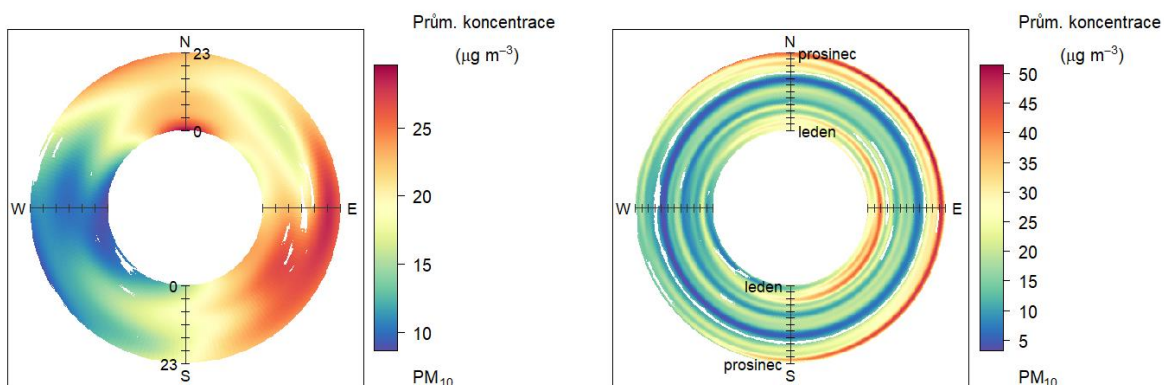
Obr. 26 – Koncentrační růžice jednotlivých ročních období, Otokovice – město, rok 2021

Dále lze rozdělit koncentrační růžice na základě teplot vzduchu. Z Obr. 27 je pak patrné, že nejvyšší koncentrace jsou měřeny při teplotách vzduchu nižších než 0 °C a nízkých rychlostech větru při proudění severu až severovýchodu a východu až jihovýchodu. Při vyšších teplotách jsou již pouze mírně zvýšené.



Obr. 27 – Koncentrační růžice členěná dle teplot, Otrkovice – město, rok 2021

Cenné informace poskytuje rovněž průměrný denní a roční chod, členěný dle směru větru. V případě denního chodu je uprostřed první hodina po půlnoci a na okraji pak 23. hodina. V případě ročního chodu je pak uprostřed 1. 1. a na okraji 31. 12. Směry větru jsou totožné jako v případě růžic.



Obr. 28 – Průměrný denní chod (vlevo) a roční chod (vpravo) koncentrací dle směru větru, Otrkovice – město, rok 2021

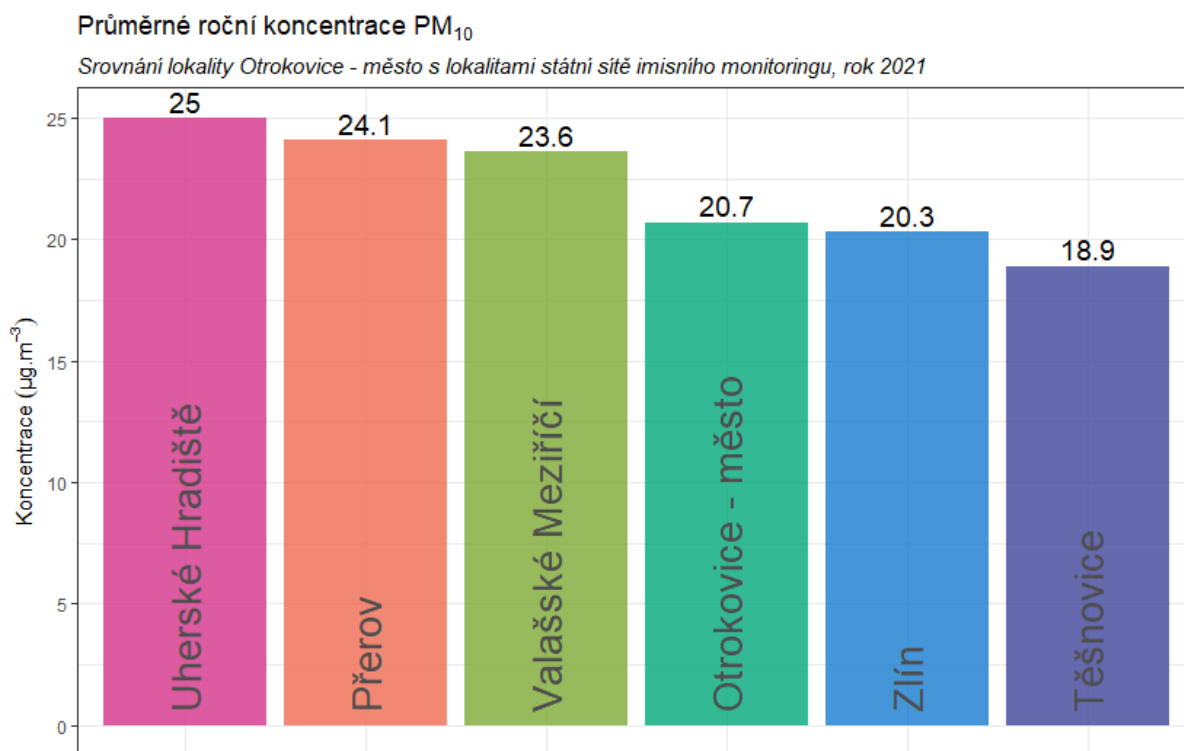
Z Obr. 28 pak vyplývá, že v případě lokality Otrkovice – město v roce 2021 byly nejvyšší koncentrace  $PM_{10}$  měřeny téměř celodenně při proudění z východu až jihovýchodu s maximy ve večerních hodinách. Na těchto koncentracích se může podílet vliv dopravy, vytápění, ale také dálkového transportu z těchto směrů. Zvýšené koncentrace ve večerních a nočních hodinách jsou zaznamenány také při severním až severovýchodním proudění. Při proudění ze západu bývají koncentrace pouze nízké. V případě ročního chodu jsou významné zejména zimní měsíce, v roce 2021 pak zejména konec roku a východní a severovýchodní proudění.

### 3.1.5 Srovnání s lokalitami státní sítě imisního monitoringu

V této podkapitole budou koncentrace, naměřené v lokalitě Otrokovice – město, srovnány s hodnotami naměřenými ve státní síti imisního monitoringu Českého hydrometeorologického ústavu (ČHMÚ).

Na následujícím Obr. 29 jsou zobrazeny průměrné roční koncentrace částic  $PM_{10}$  na blízkých lokalitách v roce 2021 a srovnány s lokalitou Otrokovice – město. Z grafu vyplývá, že v lokalitě Otrokovice – město jsou měřeny průměrné koncentrace  $PM_{10}$ . Nejnížší hodnotu naměřila venkovská pozadřová lokalita Těšnovice. Nejvyšší koncentrace  $PM_{10}$  byly naměřeny v dopravní lokalitě Uherské Hradiště. Žádná z uvedených lokalit nepřekročila imisní limit pro průměrnou roční koncentraci  $PM_{10}$ .

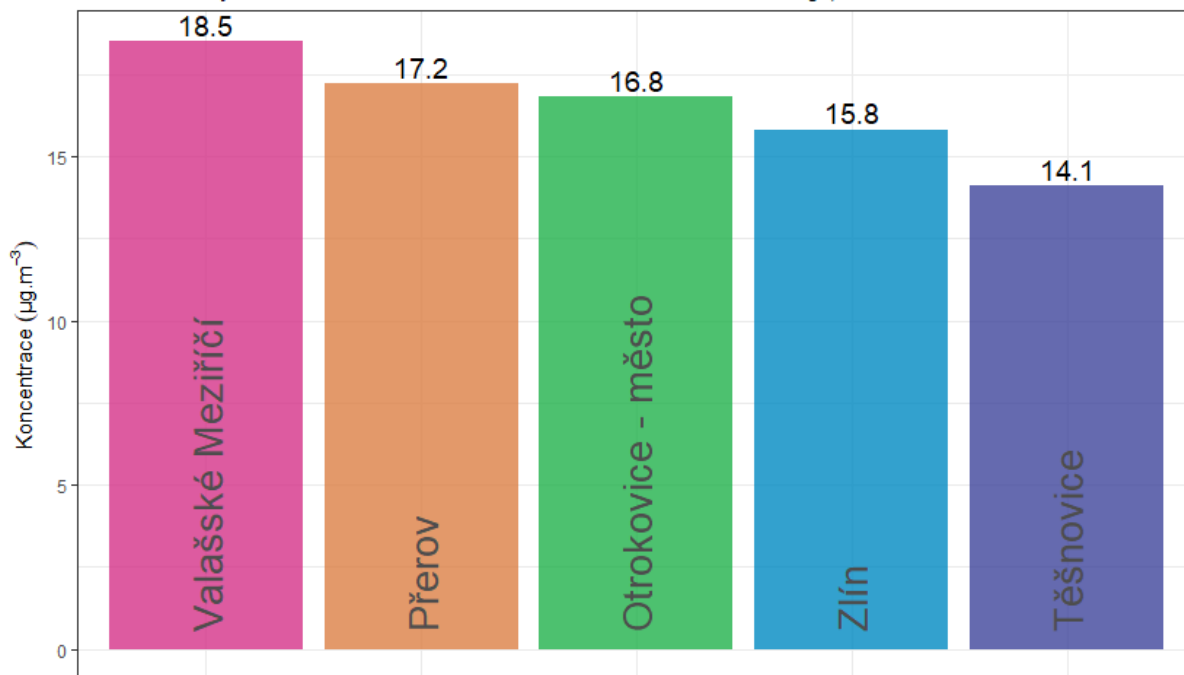
Na následujícím grafu na Obr. 30 jsou obdobně zobrazeny hodnoty průměrných ročních koncentrací  $PM_{2,5}$  na vybraných lokalitách. Z grafu je patrné, že lokalita Otrokovice – město dosahuje opět průměrných hodnot v regionu, nejvyšší koncentrace  $PM_{2,5}$  byly naměřeny v lokalitě Valašské Meziříčí (v lokalitě Uherské Hradiště měření  $PM_{2,5}$  neprobíhá). Žádná z lokalit nepřekročila imisní limit pro průměrnou roční koncentraci  $PM_{2,5}$ .



Obr. 29 – Srovnání průměrné roční koncentrace  $PM_{10}$  lokality Otrokovice – město s okolními stanicemi státní sítě imisního monitoringu, rok 2021

### Průměrné roční koncentrace PM<sub>2,5</sub>

Srovnání lokality Otrokovice - město s lokalitami státní sítě imisního monitoringu, rok 2021



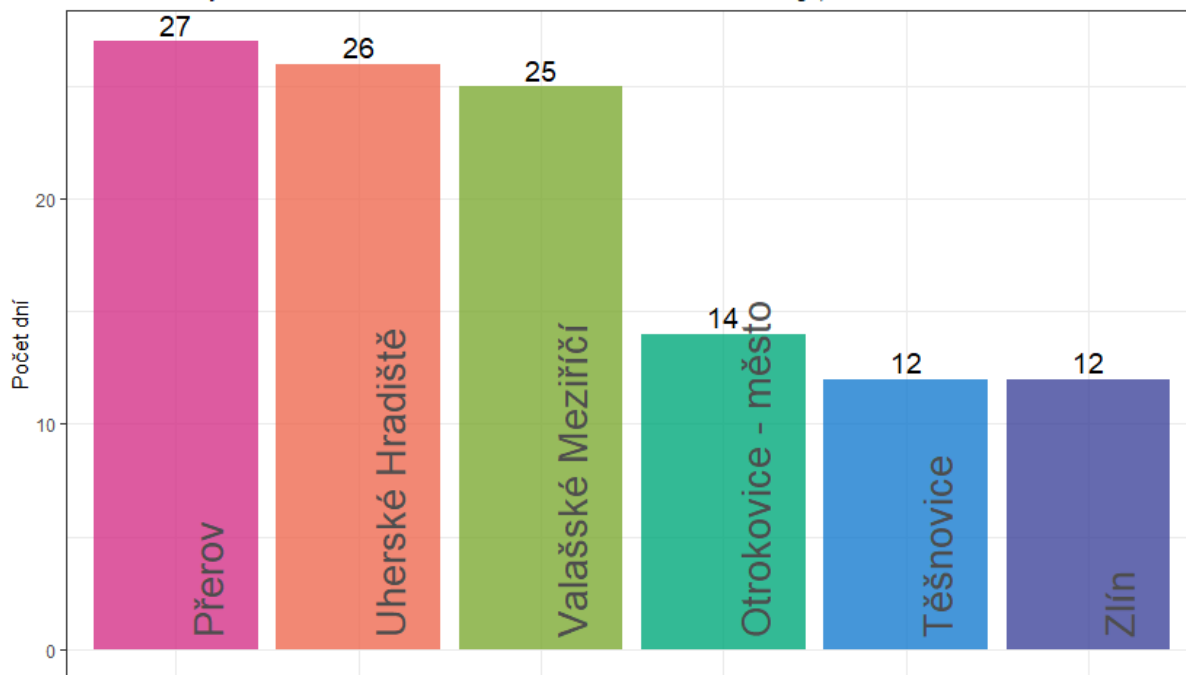
Obr. 30 – Srovnání průměrné roční koncentrace PM<sub>2,5</sub> lokality Otrokovice – město s okolními stanicemi státní sítě imisního monitoringu, rok 2021

Graf na následujícím Obr. 31 zobrazuje poslední legislativou sledovanou charakteristiku pro suspendované částice PM<sub>10</sub>. Jedná se o imisní limit pro průměrnou denní koncentraci PM<sub>10</sub>, jehož hodnota může být z kalendářního roku 35x překročena. V grafu je zobrazen právě počet dní s překročenou hodnotou imisního limitu pro průměrnou denní koncentraci PM<sub>10</sub>. V případě překročení limitu je číslo v popisku zobrazeno červeně.

Z grafu je patrné, že k překročení imisního limitu na žádné z vybraných lokalit nedošlo. Lokalita Otrokovice – město plnila imisní limit v roce 2021, došlo ke 14 překročením. Nejvíce překročení zaznamenala lokalita Přerov. Nejméně překročení zaznamenala opět venkovská pozadová lokalita Těšnovice a Zlín.

### Počet dní s koncentracemi PM<sub>10</sub> vyššími, než je hodnota denního imisního limitu

Srovnání lokality Otrokovice - město s lokalitami státní sítě imisního monitoringu, rok 2021

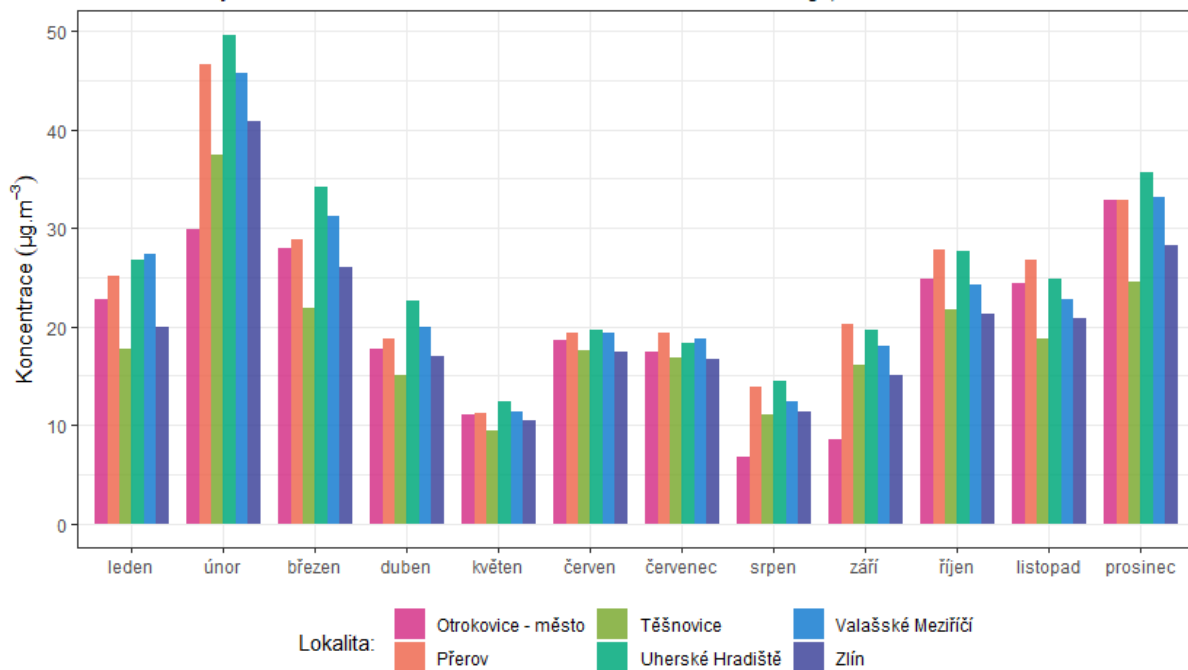


Obr. 31 – Počet dní s průměrnými denními koncentracemi PM<sub>10</sub> vyššími, než je hodnota imisního limitu pro průměrnou denní koncentraci PM<sub>10</sub>, vybrané lokality státní sítě imisního monitoringu, rok 2021

Následující grafy zobrazují průměrné měsíční koncentrace PM<sub>10</sub> a PM<sub>2,5</sub> naměřené ve vybraných lokalitách. Z obou grafů je patrné, že vývoj koncentrací v jednotlivých měsících byl na všech lokalitách podobný. Rovněž je patrné, že obdobně jako v lokalitě Otrokovice – město byly i v ostatních lokalitách měsíce s nejvyššími koncentracemi stejné – zejména leden a únor. Je tedy zřejmé, že vliv na zvýšené koncentrace neměly lokální zdroje, ale ovlivnění bylo regionální, resp. nadregionální. Rovněž je u všech lokalit nepatrný nárůst koncentrací v měsících červenci a srpnu, nejde tedy pouze o lokální ovlivnění.

### Průměrné měsíční koncentrace PM<sub>10</sub>

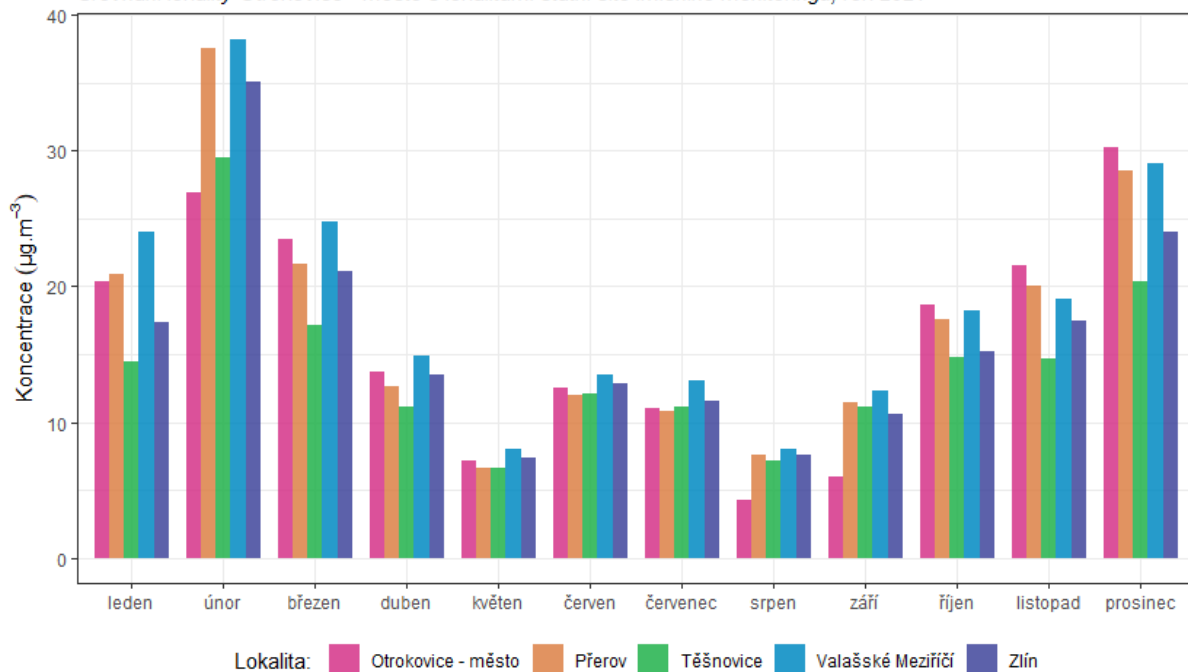
Srovnání lokality Otrokovice - město s lokalitami státní sítě imisního monitoringu, rok 2021



Obr. 32 – Srovnání průměrných měsíčních koncentrací PM<sub>10</sub> lokality Otrokovice – město s okolními stanicemi státní sítě imisního monitoringu, rok 2021

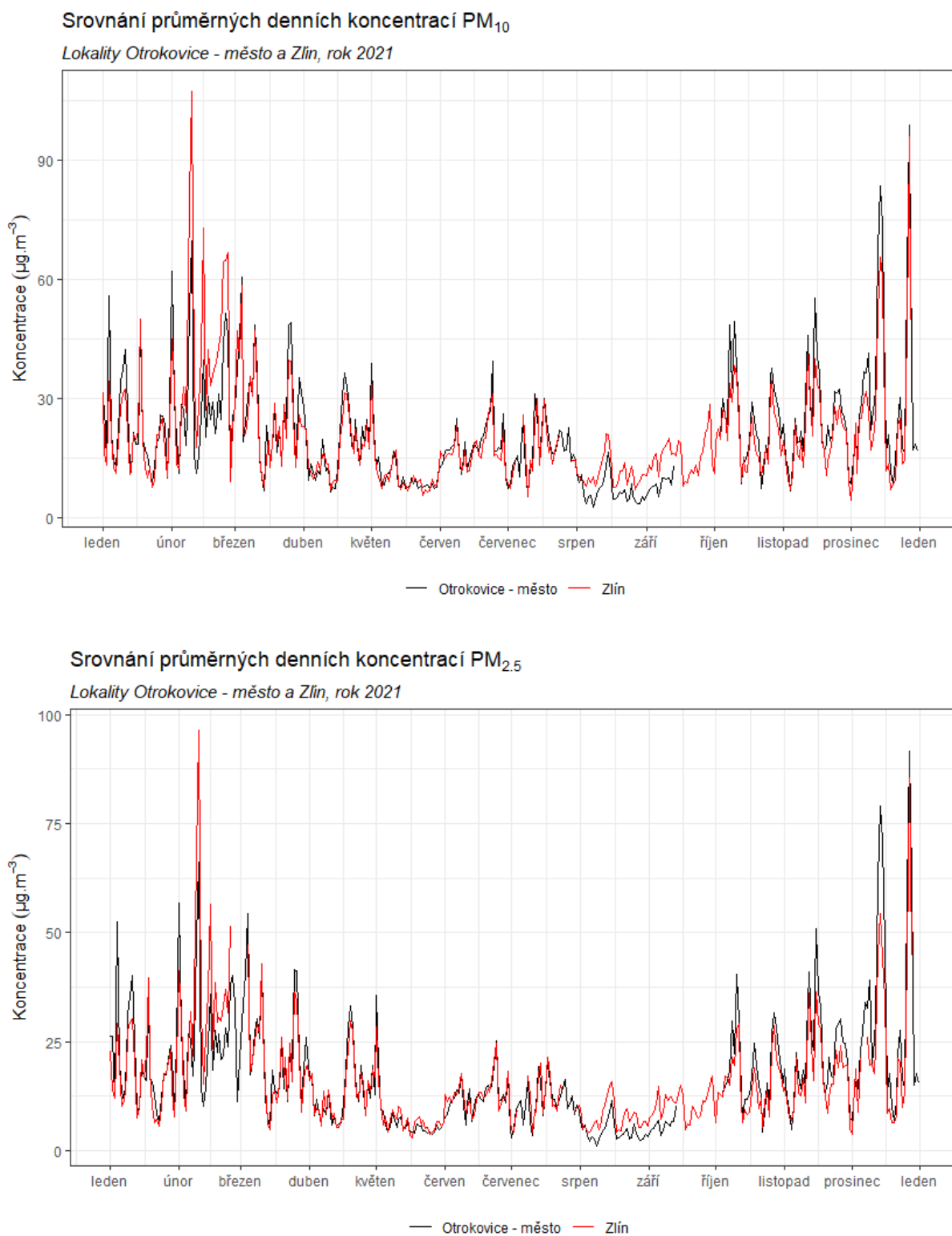
### Průměrné měsíční koncentrace PM<sub>2,5</sub>

Srovnání lokality Otrokovice - město s lokalitami státní sítě imisního monitoringu, rok 2021



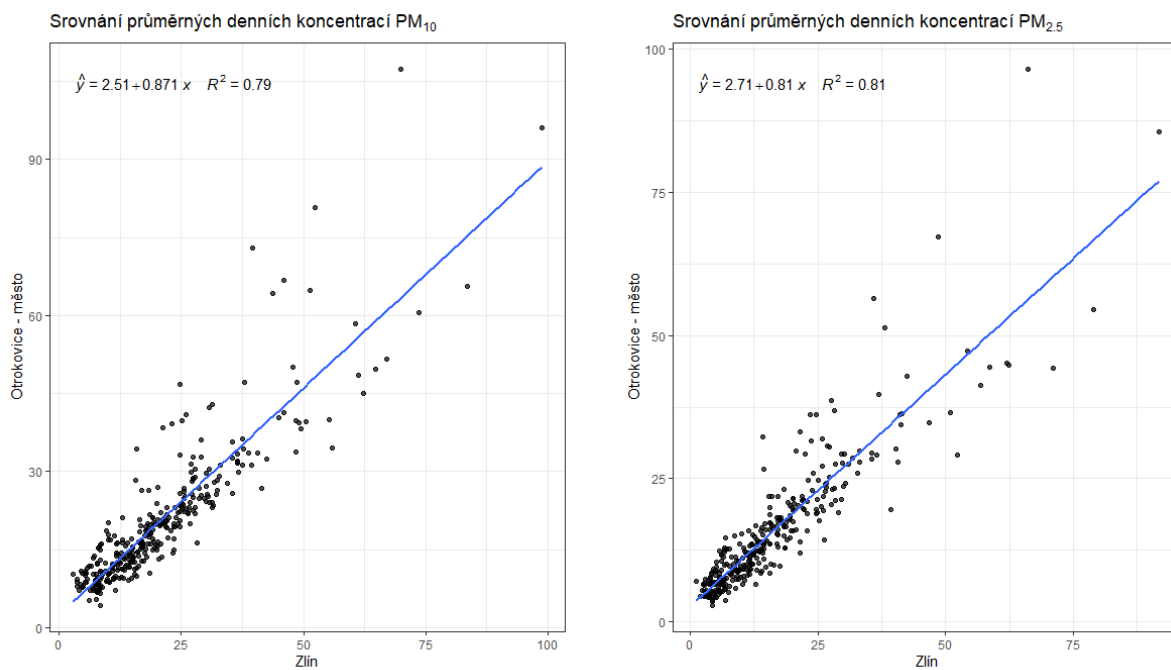
Obr. 33 – Srovnání průměrných měsíčních koncentrací PM<sub>2,5</sub> lokality Otrokovice – město s okolními stanicemi státní sítě imisního monitoringu, rok 2021

Následující graf na Obr. 34 srovnání průměrných denních koncentrací PM<sub>10</sub> (nahore) a PM<sub>2,5</sub> (dole) lokalitou státní sítě imisního monitoringu Zlín.



Obr. 34 – Srovnání průměrných denních koncentrací PM<sub>10</sub>, lokality Otrokovice – město a Zlín, rok 2021

Z grafu je dobře patrné, že vývoj průměrných denních koncentrací je v obou lokalitách velmi podobný. Mezi stanicemi existuje dobrá korelace jak pro  $PM_{10}$ , tak pro  $PM_{2,5}$ , jak ukazují grafy na Obr. 35. Vyšší koncentrace v lokalitě Otrokovice – město jsou zřejmě způsobeny rozdílnou orografií terénu a částečně skladbou lokálních zdrojů.



Obr. 35 – Srovnání průměrných denních koncentrací v lokalitě Zlín a Otrokovice – město, rok 2021

## 3.2 OXIDY DUSÍKU NO<sub>2</sub>, NO A NO<sub>x</sub>

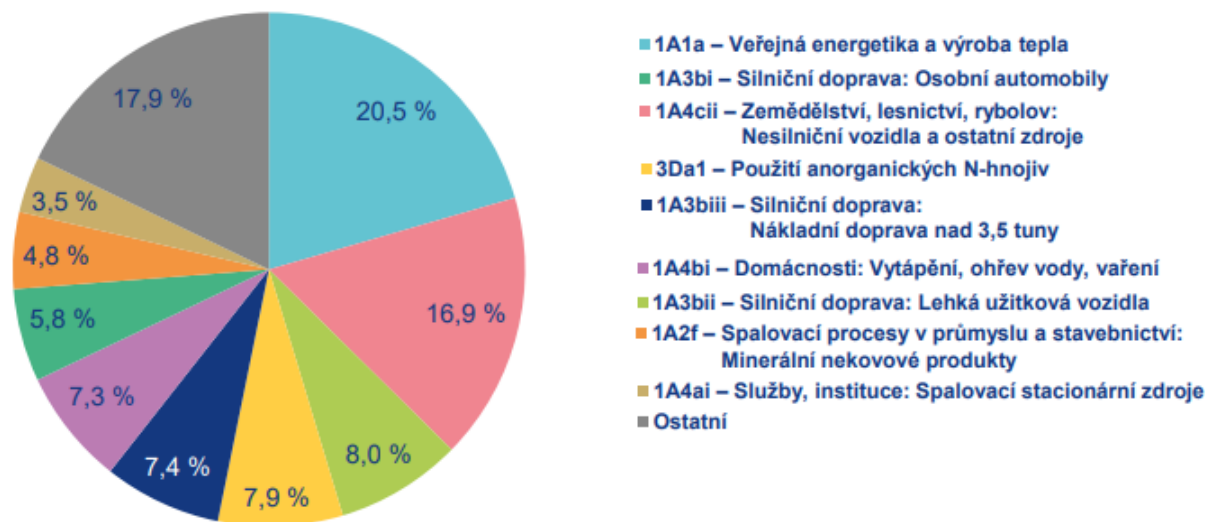
Při sledování a hodnocení kvality venkovního ovzduší se pod termínem oxidy dusíku (NO<sub>x</sub>) rozumí směs oxidu dusnatého (NO) a oxidu dusičitého (NO<sub>2</sub>) [10].

Pro oxid dusičitý jsou v příloze 1 zákona o ochraně ovzduší [1] uvedeny dva imisní limity. Pro průměrnou roční koncentraci a pro hodinovou koncentraci, která může být za kalendářní rok 18 x překročena (Tab. 1).

Z hlediska imisních limitů je na území ČR důležitý pouze imisní limit pro průměrnou roční koncentraci NO<sub>2</sub>. Imisní limit pro hodinovou koncentraci není v současnosti na žádné lokalitě v ČR překračován, a to ani na dopravně nejzatíženějších lokalitách, jako je Praha-Legerova.

Více než 90 % z celkových oxidů dusíku ve venkovním ovzduší je emitováno ve formě NO. NO<sub>2</sub> vzniká relativně rychle reakcí NO s přízemním ozonem nebo s radikály typu HO<sub>2</sub>, popř. RO<sub>2</sub> [11]. Řadou chemických reakcí se část NO<sub>x</sub> přemění na HNO<sub>3</sub>/NO<sub>3</sub><sup>-</sup>, které jsou z atmosféry odstraňovány suchou a mokrou atmosférickou depozicí. Pozornost je věnována NO<sub>2</sub> z důvodu jeho negativního vlivu na lidské zdraví. Hraje také klíčovou roli při tvorbě fotochemických oxidantů.

V Evropě vznikají emise NO<sub>x</sub> převážně z antropogenních spalovacích procesů, kde NO vzniká reakcí mezi dusíkem a kyslíkem ve spalovaném vzduchu a částečně i oxidací dusíku z paliva. Hlavní antropogenní zdroje představuje především silniční doprava (významný podíl má ovšem i doprava letecká a vodní) a dále spalovací procesy ve stacionárních zdrojích. Méně než 10 % celkových emisí NO<sub>x</sub> vzniká ze spalování přímo ve formě NO<sub>2</sub>. Přírodní emise NO<sub>x</sub> vznikají převážně z půdy, vulkanickou činností a při vzniku blesků. Jsou poměrně významné z globálního pohledu, z pohledu Evropy však představují méně než 10 % celkových emisí [12].



Obr. 36 – Podíl sektorů NFR na celkových emisích NO<sub>x</sub> v ČR, rok 2019 [7]

Největší množství emisí NO<sub>x</sub> pochází z mobilních zdrojů. Sektory 1A3bi – Silniční doprava: Osobní automobily, 1A4cii – Zemědělství, lesnictví, rybolov: Nesilniční vozidla a ostatní stroje, 1A3biii – Silniční doprava: Nákladní doprava nad 3,5t a 1A3bii – Lehká užitková vozidla se na celorepublikových emisích NO<sub>x</sub> v roce 2019 podílely 38,1 %. Ze sektoru 1A1a – Veřejná energetika a výroba tepla bylo do ovzduší

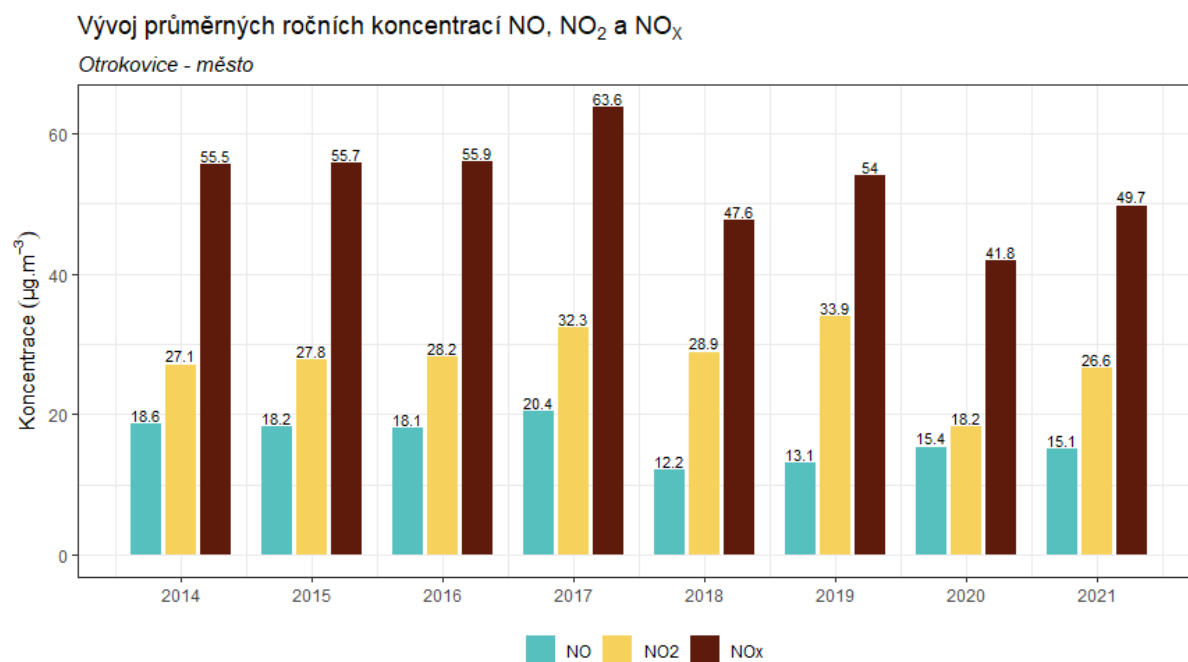
vneseno 20,5 % emisí NO<sub>x</sub>. Nově byly v celém období dopočteny emise sektoru *Použití anorganických N-hnojiv*, které se v roce 2019 na celkových emisích podílely 7,9 % [7].

### 3.2.1 Průměrné roční koncentrace

**Průměrná roční koncentrace NO<sub>2</sub> činila v roce 2021 v lokalitě Otrokovice – město 26,6 μg·m<sup>-3</sup>. Imisní limit tedy překročen nebyl.**

Průměrná roční koncentrace NO činila v roce 2021 v lokalitě Otrokovice – město 15,1 μg·m<sup>-3</sup>. Průměrná roční koncentrace NO<sub>x</sub> činila v roce 2021 v lokalitě Otrokovice – město 49,7 μg·m<sup>-3</sup>.

Následující Obr. 37 zobrazuje vývoj průměrných ročních koncentrací NO, NO<sub>2</sub> a NO<sub>x</sub> v lokalitě Otrokovice – město. Z grafu je patrné, že hodnota koncentrace NO<sub>2</sub> (a potažmo NO<sub>x</sub>) proti roku 2020 mírně vzrostla a vrátila se zhruba na úroveň let 2014–2019. Koncentrace NO velmi mírně poklesly. Celkově z hlediska oxidů dusíku nedochází k velkým koncentračním výkyvům.

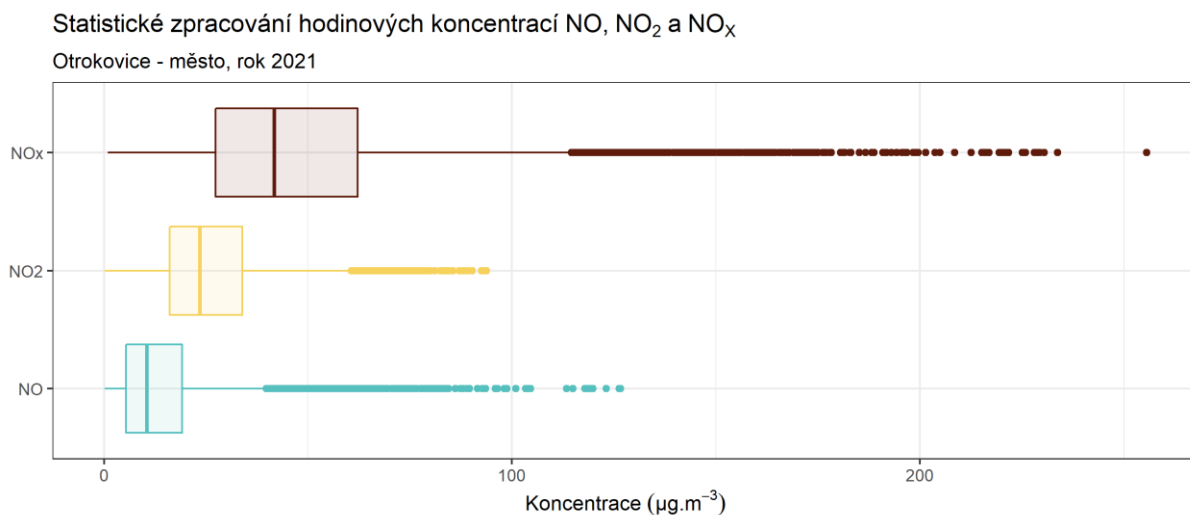


Obr. 37 -Vývoj průměrných ročních koncentrací NO, NO<sub>2</sub> a NO<sub>x</sub>, lokalita Otrokovice – město

Následující Tab. 3 pak zobrazuje statistické zpracování naměřených hodinových dat pro jednotlivé oxidy dusíku. Grafické znázornění hodinových koncentrací pomocí krabicových grafů za rok 2021 pak zobrazuje Obr. 38. Z tabulky i grafického znázornění je patrné, že maximální hodnota hodinové koncentrace NO<sub>2</sub> se pohybovala na úrovni 1/2 hodnoty imisního limitu pro hodinové koncentrace NO<sub>2</sub> (200 μg·m<sup>-3</sup>). Tato hodnota může být navíc 18x za kalendářní rok překročena. Imisní limit pro hodinové koncentrace NO<sub>2</sub> je tedy v lokalitě Otrokovice – město s velmi velkou rezervou plněn.

Tab. 3 – Statistické charakteristiky hodinových koncentrací NO, NO<sub>2</sub> a NO<sub>x</sub> v lokalitě Otrokovice – město, rok 2021

STATISTIKA	NO	NO <sub>2</sub>	NO <sub>x</sub>
PRŮMĚR	15,1	26,6	49,7
MAXIMUM	126,7	93,7	255,6
MEDIÁN	10,5	23,5	41,7
MINIMUM	0,1	0,2	1



Obr. 38 – Statistické zpracování hodinových koncentrací NO, NO<sub>2</sub> a NO<sub>x</sub> v lokalitě Otrokovice – město, rok 2021

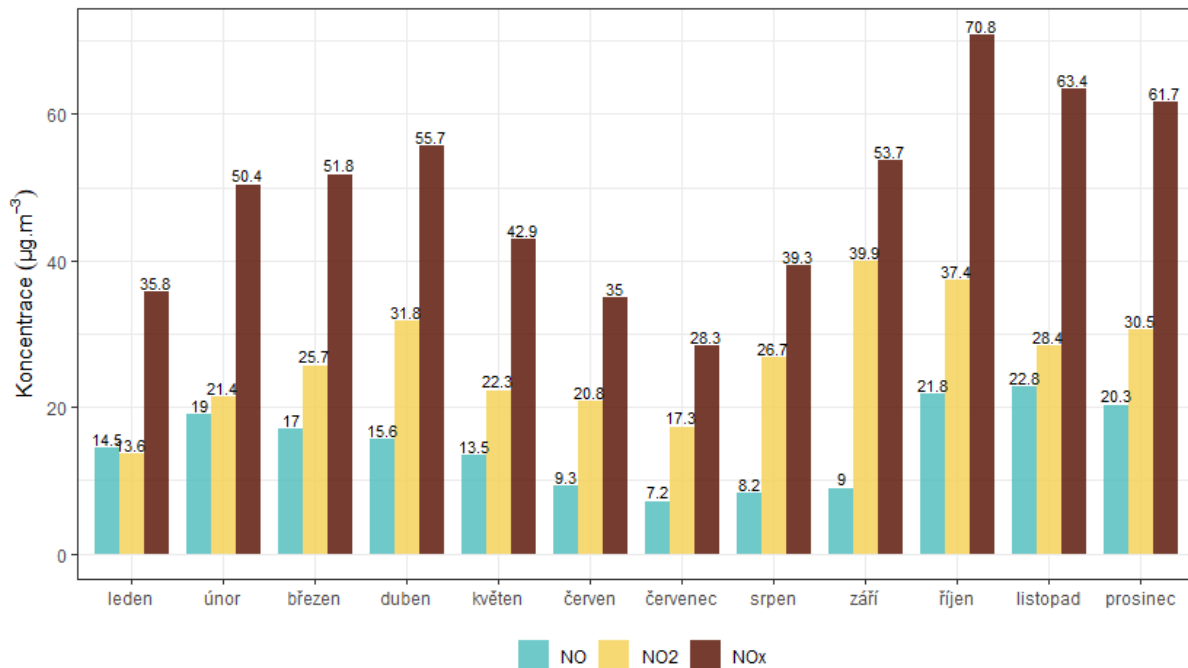
### 3.2.2 Průměrné měsíční koncentrace

Na Obr. 39 jsou průměrné měsíční koncentrace NO, NO<sub>2</sub> a NO<sub>x</sub>. Z obrázku je patrné, že v letních měsících jsou koncentrace nižší, naopak v chladné části roku jsou měřeny vyšší koncentrace, zejména pak koncem roku. Nejvyšší průměrná měsíční koncentrace NO<sub>2</sub> byla naměřena v září a říjnu.

Poměr měsíčních koncentrací NO / NO<sub>2</sub> zobrazuje Obr. 40. Poměr je spíše v teplé části roku nízký. V lednu byly v průměru měřeny vyšší hodnoty koncentrací NO než NO<sub>2</sub>, což indikuje významný vliv dopravy na koncentrace v lokalitě.

### Vývoj průměrných měsíčních koncentrací NO, NO<sub>2</sub> a NO<sub>x</sub>

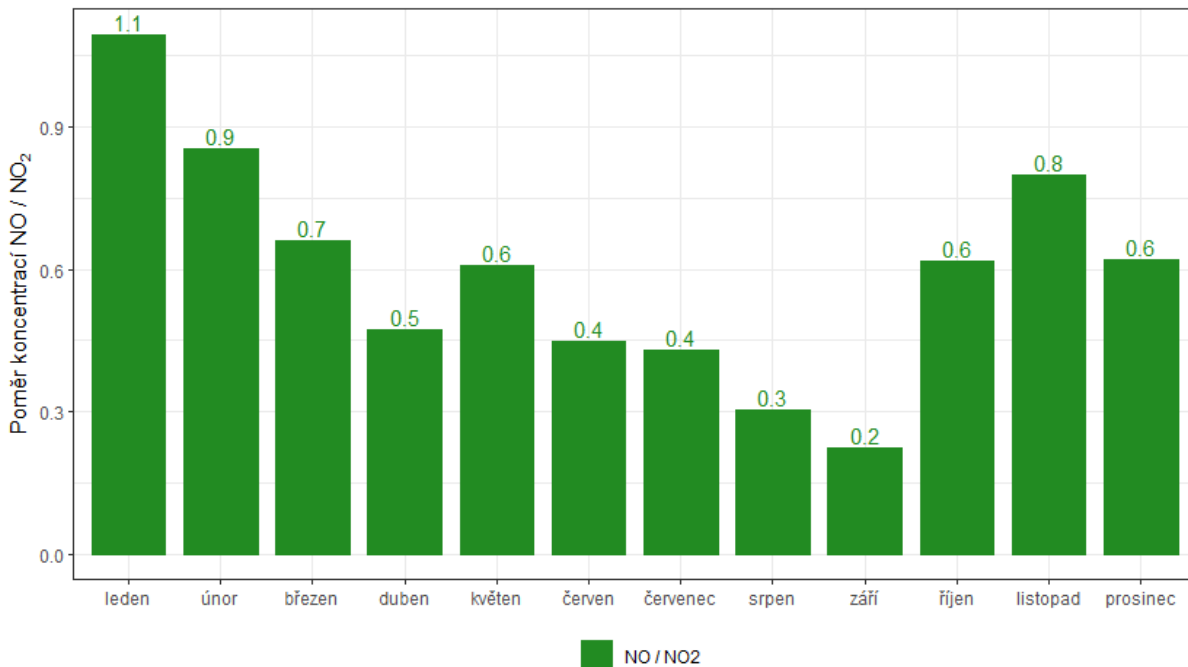
Otrokovice - město, rok 2021



Obr. 39 - Průměrné měsíční koncentrace NO, NO<sub>2</sub> a NO<sub>x</sub>, Otrokovice – město, rok 2021

### Průměrný měsíční poměr koncentrací NO / NO<sub>2</sub>

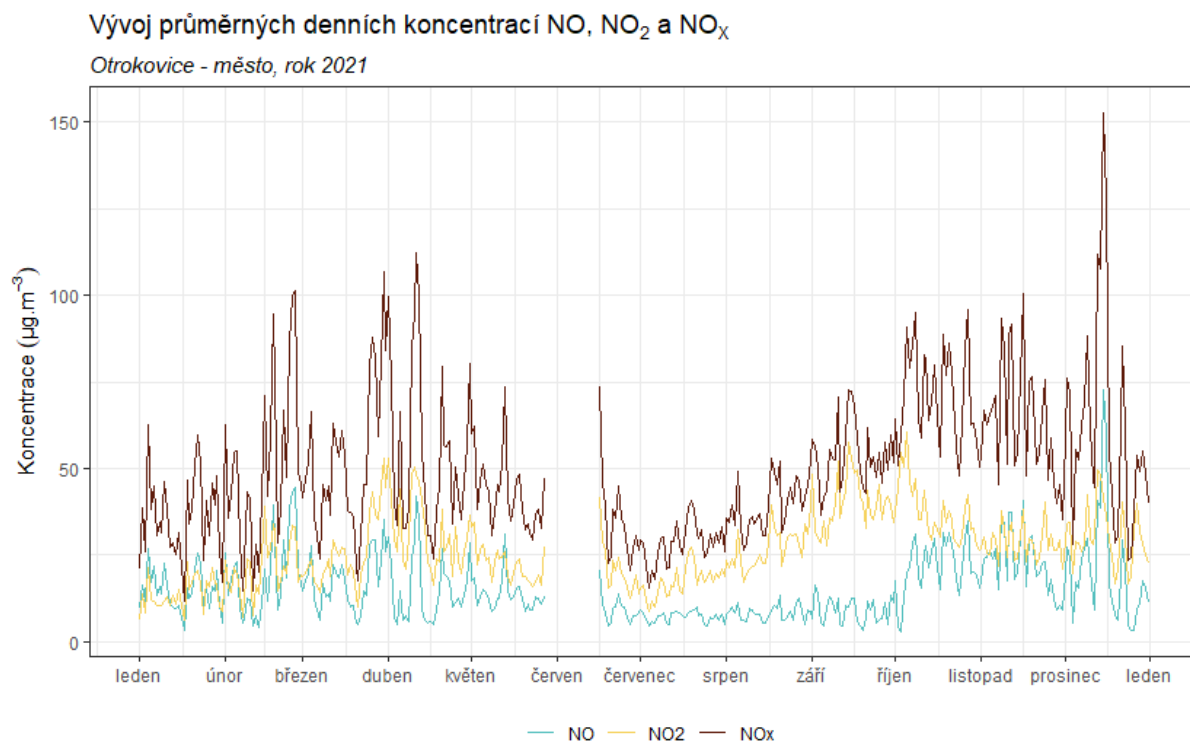
Otrokovice - město, rok 2021



Obr. 40 – Poměr měsíčních koncentrací NO / NO<sub>2</sub>, lokalita Otrokovice – město, rok 2021

### 3.2.3 Průměrné denní koncentrace NO, NO<sub>2</sub> a NO<sub>x</sub>

Vývoj průměrných denních koncentrací NO, NO<sub>2</sub> a NO<sub>x</sub> v lokalitě Otrokovice – město zobrazuje následující Obr. 41.

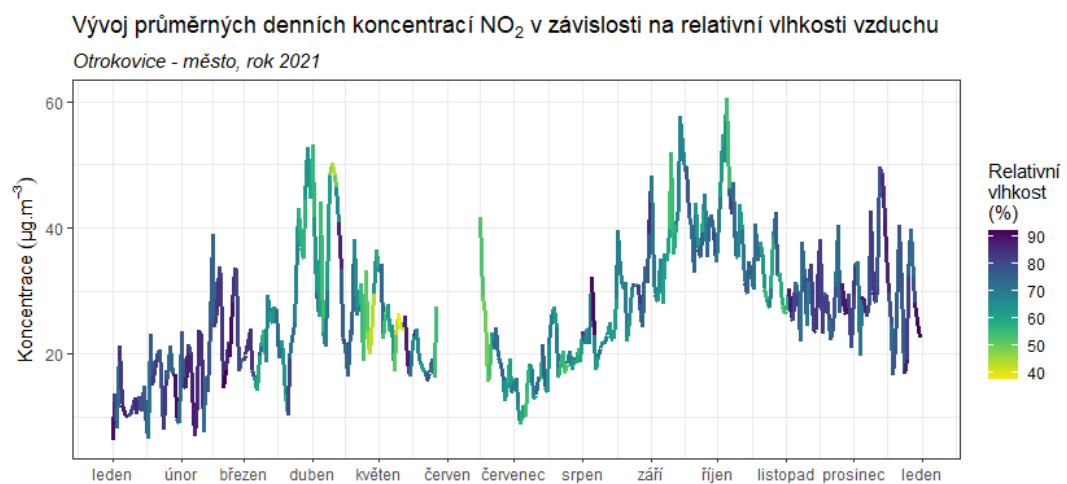
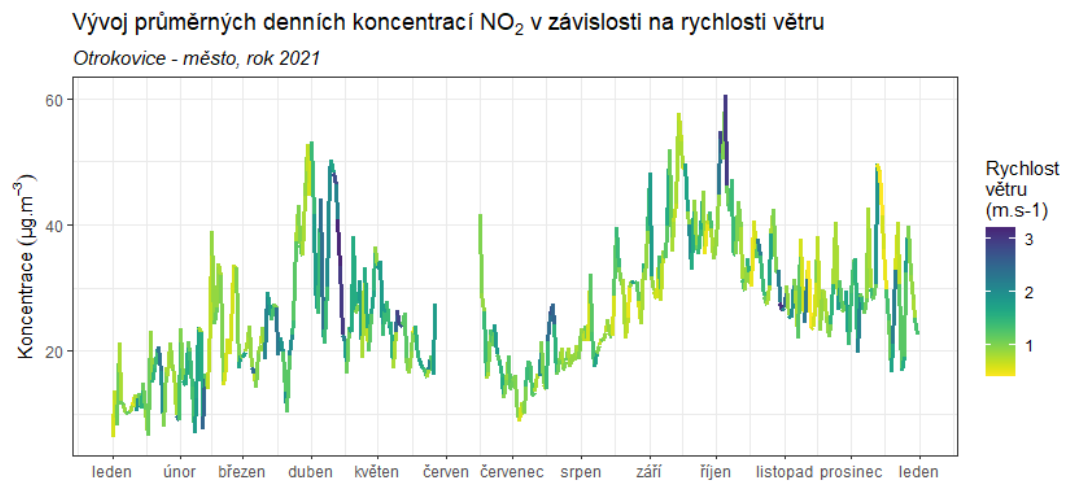
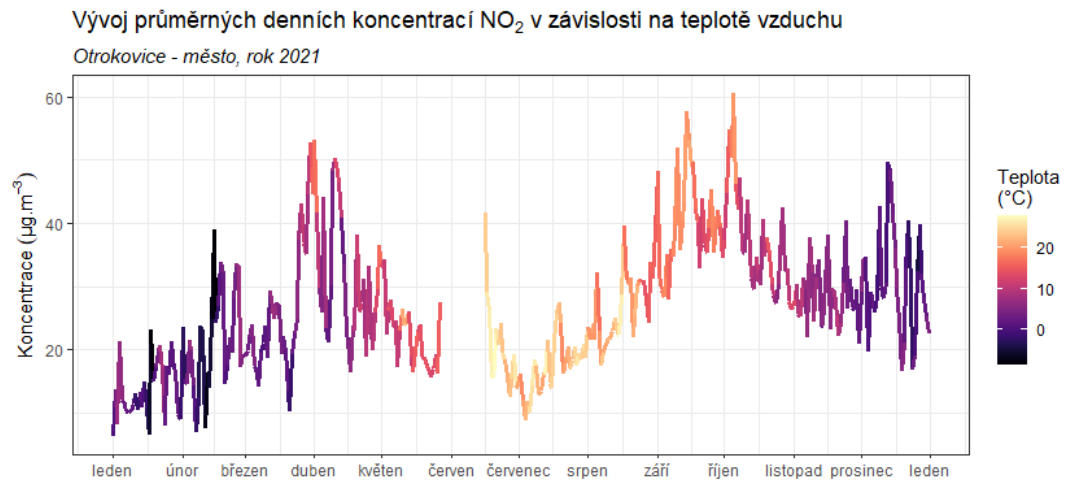


Obr. 41 – Vývoj průměrných hodinových koncentrací NO, NO<sub>2</sub> a NO<sub>x</sub>, Otrokovice – město, rok 2021

Z grafu je patrné, že nejnižší hodnoty jsou měřeny v letních měsících a směrem k zimním měsícům hodnoty postupně narůstají.

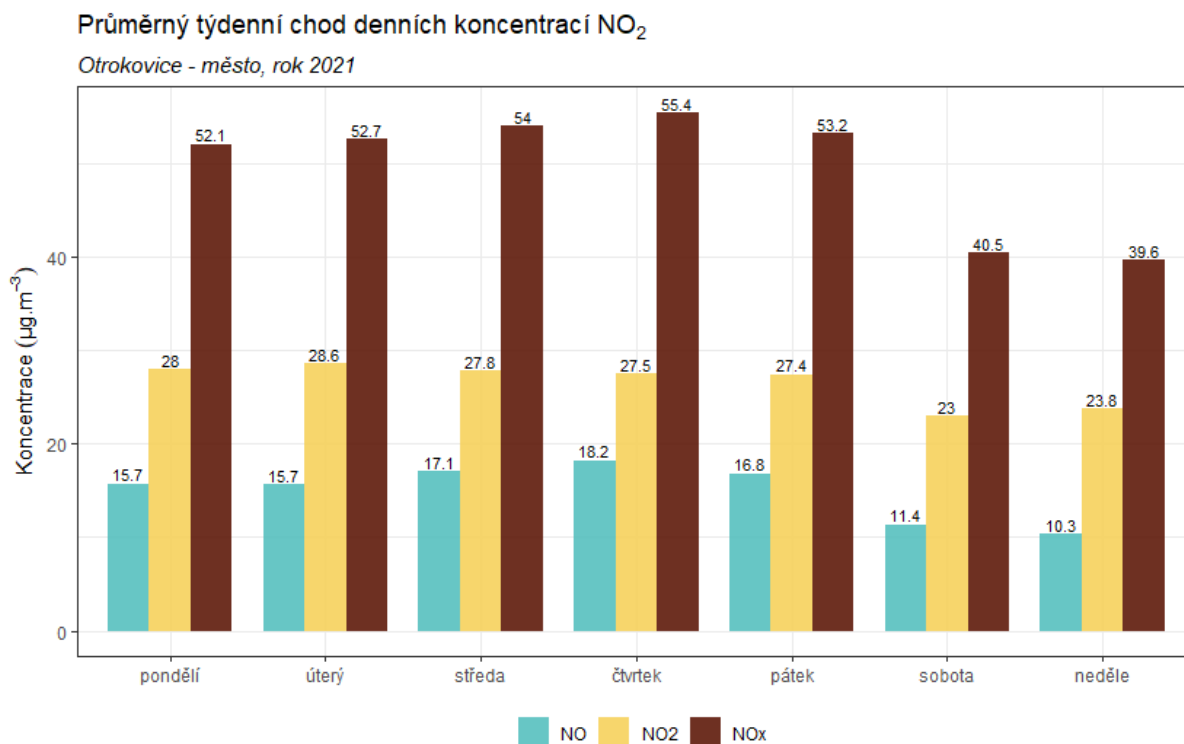
Vzhledem k tomu, že imisní limit je stanoven pouze pro koncentrace NO<sub>2</sub>, bude vliv meteorologických podmínek zobrazen pouze pro tuto látku. Na Obr. 42 jsou nad sebou zobrazeny tři grafy. Křivka vždy zobrazuje vývoj koncentrací NO<sub>2</sub> v dané lokalitě. Zabarvení křivky na horním grafu vždy zobrazuje aktuální teplotu vzduchu, v prostředním grafu pak rychlost proudění větru a ve spodním grafu relativní vlhkost.

Z grafů je patrné, že na koncentrace NO<sub>2</sub> má vliv jak teplota, tak rychlost větru. Nejvyšší koncentrace jsou pak měřeny při velmi nízkých rychlostech větru, resp. při nízkých teplotách.



Obr. 42 – Vliv teploty (nahore), rychlosti větru (uprostřed) a relativní vlhkosti (dole) na koncentrace NO<sub>2</sub>, Otrokovice – město, rok 2021

Z hlediska týdenního chodu denních koncentrací NO, NO<sub>2</sub> a NO<sub>x</sub> (Obr. 43) je velmi dobře patrný vliv vyššího dopravního zatížení v pracovní dny, který se projeví také ve vyšších koncentracích zejména NO, ale i NO<sub>2</sub> v pracovní dny. Nejnižší hodnoty NO<sub>2</sub> jsou měřeny v sobotu, NO pak v neděli.



Obr. 43 – Průměrný týdenní chod denních koncentrací NO<sub>2</sub>, Otrokovice – město, rok 2021

### 3.2.4 Analýza hodinových koncentrací – denní chod a koncentrační růžice

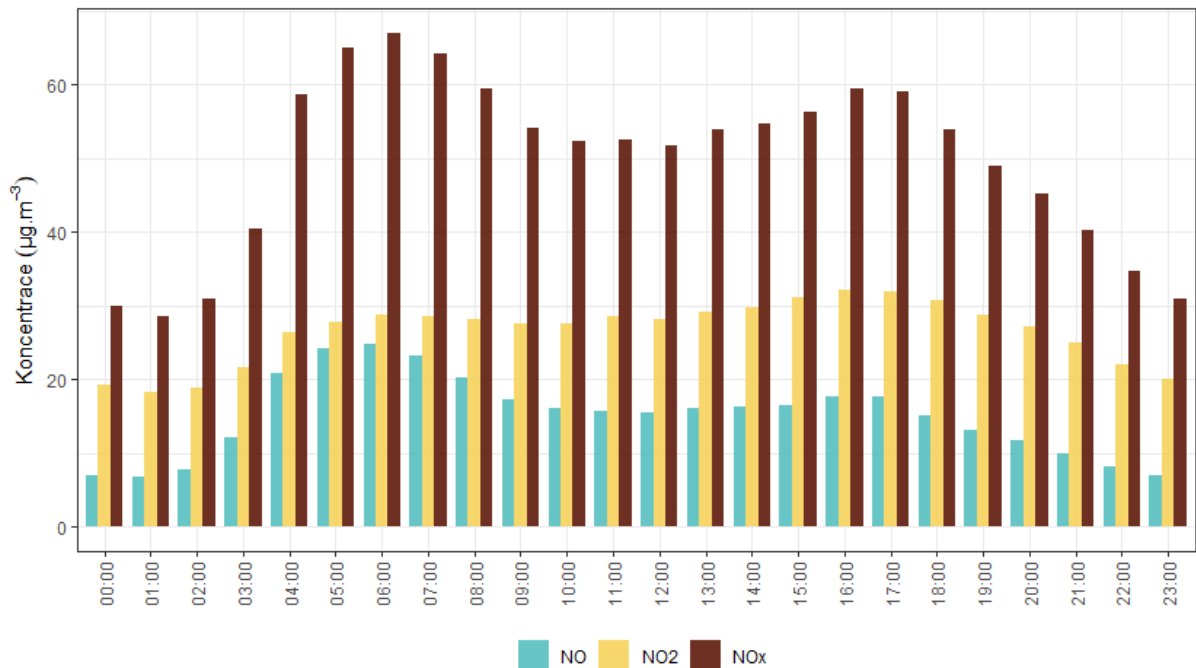
Zprůměrováním všech naměřených koncentrací v jednotlivé hodiny lze získat průměrný denní chod koncentrací NO, NO<sub>2</sub> a NO<sub>x</sub> v lokalitě Otrokovice – město. Denní chod zobrazuje následující Obr. 44.

Z grafů je patrné, že nejvyšší hodnoty koncentrací NO<sub>2</sub> dosahovány v době ranní a odpolední dopravní špičky. Večerní hodnoty mohou být také navýšeny o vliv lokálních topenišť a vytápění. Přes den dochází k mírnému poklesu koncentrací, což může být částečně způsobeno spotřebováním NO<sub>2</sub> na tvorbu přízemního ozónu. Tato reakce probíhá pouze díky slunečního záření, proto lze největší úbytek koncentrací NO<sub>2</sub> očekávat okolo poledne.

Z grafu je rovněž patrné, že v době ranní špičky se koncentrace NO pohybují na podobných hodnotách, jako NO<sub>2</sub>, což indikuje významnější vliv dopravy. Odpoledne a zejména večer jsou naopak koncentrace NO<sub>2</sub> významně vyšší než NO, pravděpodobně se tak projevil vliv lokálních topenišť.

### Průměrný denní chod hodinových koncentrací NO<sub>2</sub>

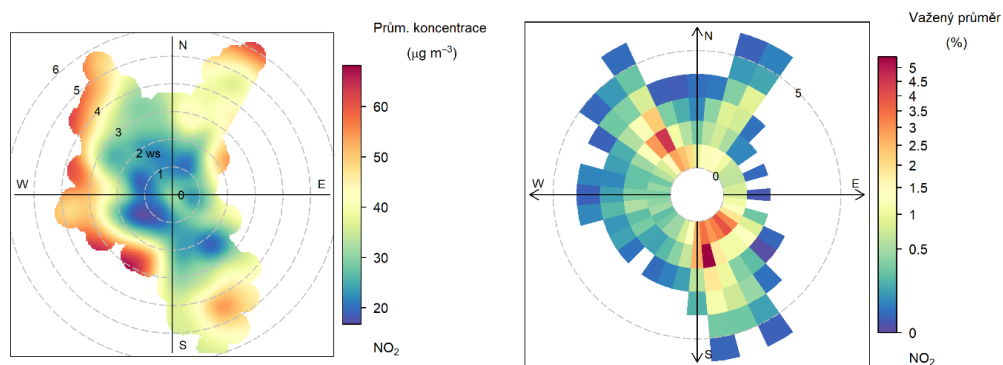
Otrokovice - město, rok 2021



Obr. 44 – Denní chod hodinových koncentrací NO<sub>2</sub>, Otrokovice – město, rok 2021

Vysvětlení podstaty koncentračních růžic je uvedeno v kapitole 3.1.4.

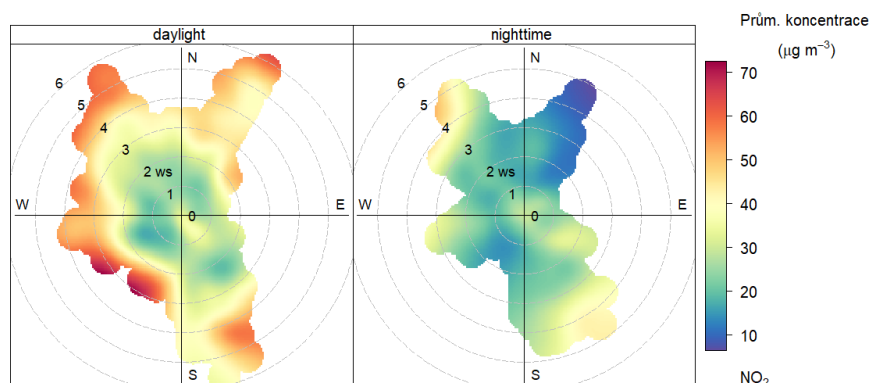
Následující Obr. 45 zobrazuje koncentrační a váženou koncentrační růžici pro lokalitu Otrokovice – město.



Obr. 45 – Koncentrační růžice (vlevo) a vážená koncentrační růžice (vpravo) pro NO<sub>2</sub>, Otrokovice – město, rok 2021

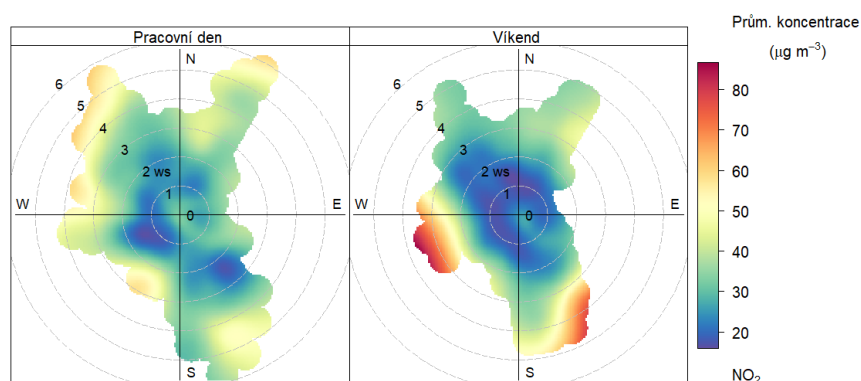
Z Obr. 45 vyplývá, že v průměru jsou nejvyšší koncentrace měřeny při vyšších rychlostech větru a jihozápadním až severozápadním proudění. Nízké rychlosti větru a jihovýchodní či jižní proudění (nejčastější směr proudění dle větrné růžice) pak nejvíce přispívaly k měřeným koncentracím NO<sub>2</sub>. Následující Obr. 46 zobrazuje koncentrační růžici ve dne a v noci. Vysoké koncentrace při vyšších

rychlostech větru z jihozápadu až severozápadu jsou měřeny přes den. Při nižších rychlostech větru jsou koncentrace zhruba vyrovnané.



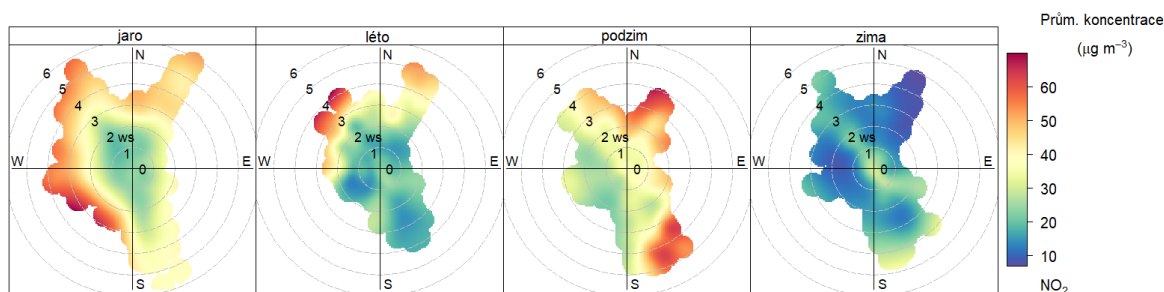
Obr. 46 - Koncentrační růžice ve dne (daytime) a v noci (nighttime), Otrokovice – město, rok 2021

Obdobně lze koncentrační růžici rozlišit na pracovní dny a víkend (Obr. 47). Z obrázku je patrné, že maximální koncentrace byly měřeny o víkendu při proudění z jihozápadu a jihovýchodu a vyšších rychlostech větru. Zvýšené koncentrace jsou při vyšších rychlostech větru měřeny i v pracovní dny.



Obr. 47 – Koncentrační růžice NO<sub>2</sub> v pracovní dny a o víkendu, lokalita Otrokovice – město, rok 2021

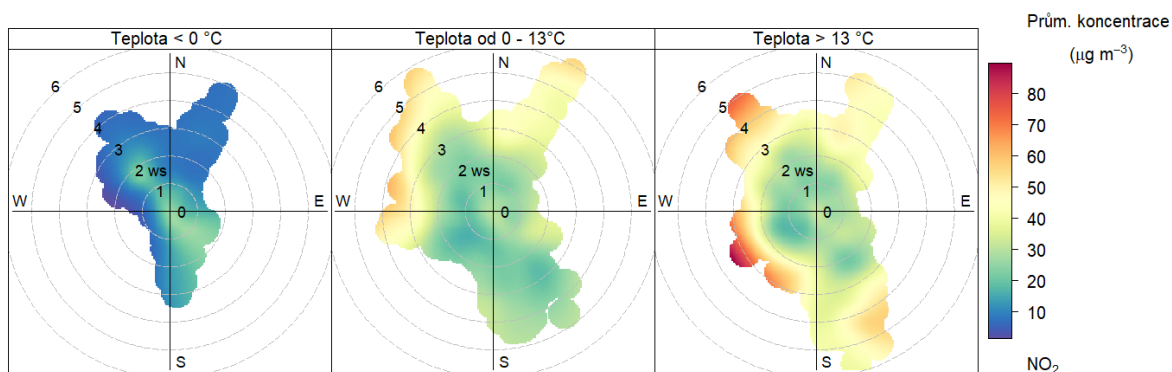
Následující Obr. 48 zobrazuje koncentrační růžice v jednotlivých ročních obdobích.



Obr. 48 – Koncentrační růžice jednotlivých ročních období, Otrokovice – město, rok 2021

Zvýšené koncentrace se vyskytují zejména na jaře a na podzim. V létě byly zaznamenány vysoké koncentrace při proudění ze severovýchodu a vyšších rychlostech větru. V zimě byly koncentrace pouze nízké.

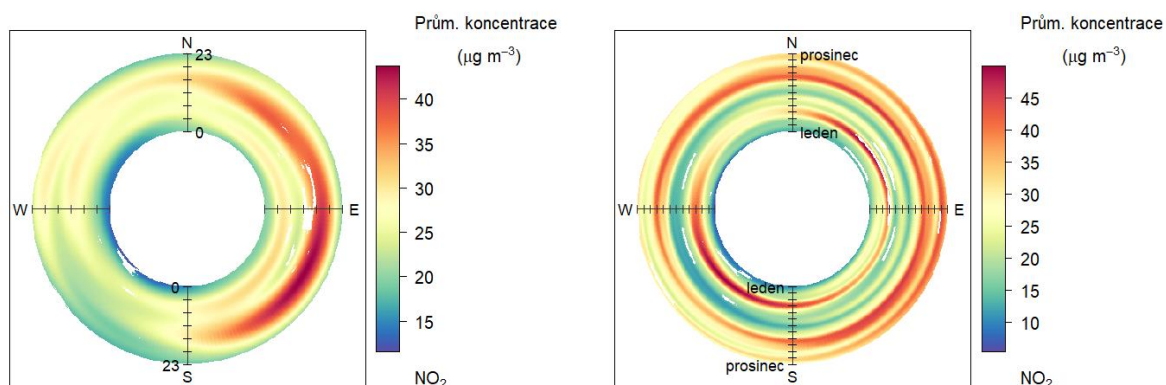
Zajímavé je také rozdělit koncentrační růžice na základě teplot vzduchu. Z Obr. 49 je pak patrné, že nejvyšší koncentrace jsou měřeny při teplotách vyšších než 13 °C a jihozápadním, resp. severozápadním proudění. Při nízkých teplotách pod bodem mrazu byly koncentrace nízké



Obr. 49 – Koncentrační růžice členěná dle teplot, Otrokovice – město, rok 2021

Cenné informace poskytuje rovněž průměrný denní a roční chod, členěný dle směru větru. V případě denního chodu je uprostřed první hodina po půlnoci a na okraji pak 23. hodina. V případě ročního chodu je pak uprostřed 1. 1. a na okraji 31. 12. Směry větru jsou totožné jako v případě růžic.

Z Obr. 50 pak vyplývá, že v případě lokality Otrokovice – město v roce 2021 byly nejvyšší koncentrace NO<sub>2</sub> měřeny při proudění z jihovýchodu, zejména však v odpoledních a večerních hodinách. V případě ročního chodu jsou významné zejména jarní a podzimní měsíce. Z hlediska maxim převládají východní směry.



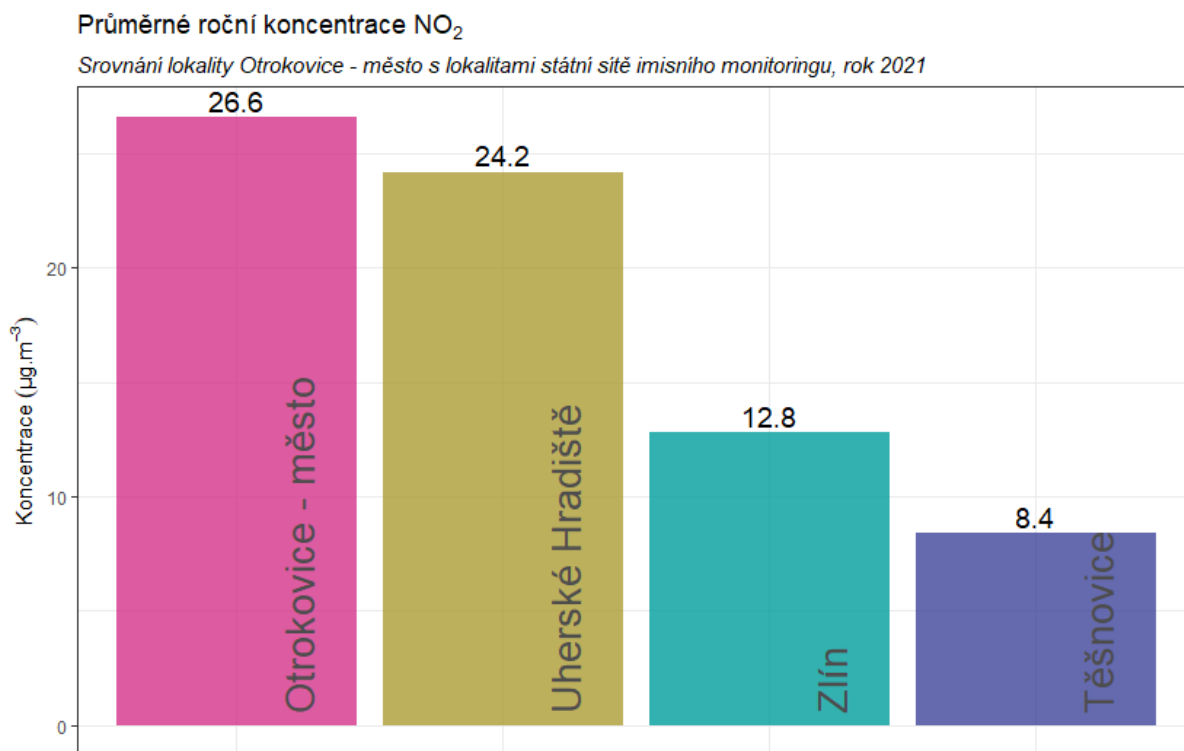
Obr. 50 – Průměrný denní chod (vlevo) a roční chod (vpravo) koncentrací dle směru větru, Otrokovice – město, rok 2021

### 3.2.5 Srovnání s lokalitami státní sítě imisního monitoringu

V této podkapitole budou koncentrace, naměřené v lokalitě Otrokovice – město, srovnány s hodnotami naměřenými ve státní síti imisního monitoringu Českého hydrometeorologického ústavu (ČHMÚ).

Na následujícím Obr. 51 jsou zobrazeny průměrné roční koncentrace legislativou sledovaného oxidu dusičitého NO<sub>2</sub> na blízkých lokalitách sítě imisního monitoringu v roce 2021. Ty jsou srovnány s lokalitou Otrokovice – město. Z grafu vyplývá, že v lokalitě Otrokovice – město jsou měřeny nejvyšší koncentrace typické pro dopravní lokality. Nejnižší hodnoty naměřila venkovská pozadřová lokalita Těšnovice. Žádná z uvedených lokalit nepřekročila imisní limit pro průměrnou roční koncentraci NO<sub>2</sub>.

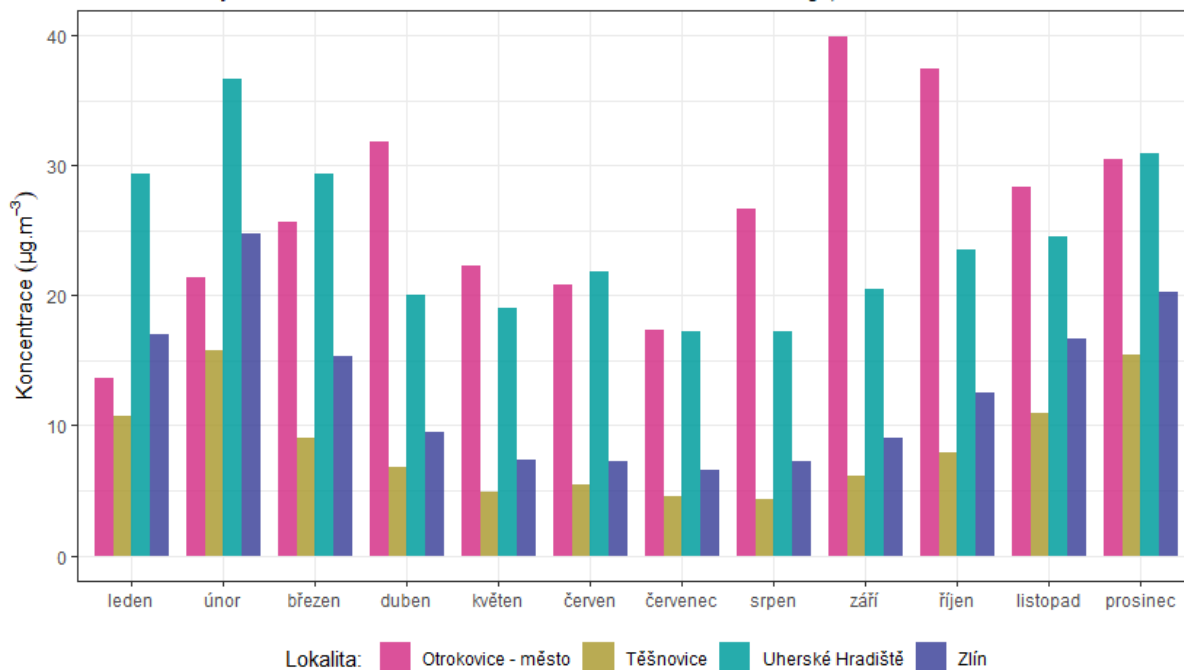
Následující graf na Obr. 52 zobrazuje průměrné měsíční koncentrace NO<sub>2</sub> naměřené ve vybraných lokalitách. Z grafu je patrné, že v srpnu – říjnu měřila lokalita Otrokovice výrazněji vyšší koncentrace NO<sub>2</sub> než další dopravní lokalita Uherské Hradiště. V ostatních měsících jsou koncentrace ve zmíněných lokalitách obdobné. Je možné, že v tuto dobu byla lokalita Otrokovice – město ovlivněna nějakým lokálním zdrojem, koncentrace byly nezvykle vysoké. V ostatních měsících sleduje lokalita Otrokovice – město podobný vývoj, jako další lokality sítě imisního monitoringu, o absolutní hodnotě pak rozhoduje míra zatížení dopravou v lokalitě.



Obr. 51 – Srovnání průměrné roční koncentrace NO<sub>2</sub> lokality Otrokovice – město s okolními stanicemi státní sítě imisního monitoringu, rok 2021

## Průměrné měsíční koncentrace NO<sub>2</sub>

Srovnání lokality Otrokovice - město s lokalitami státní sítě imisního monitoringu, rok 2021



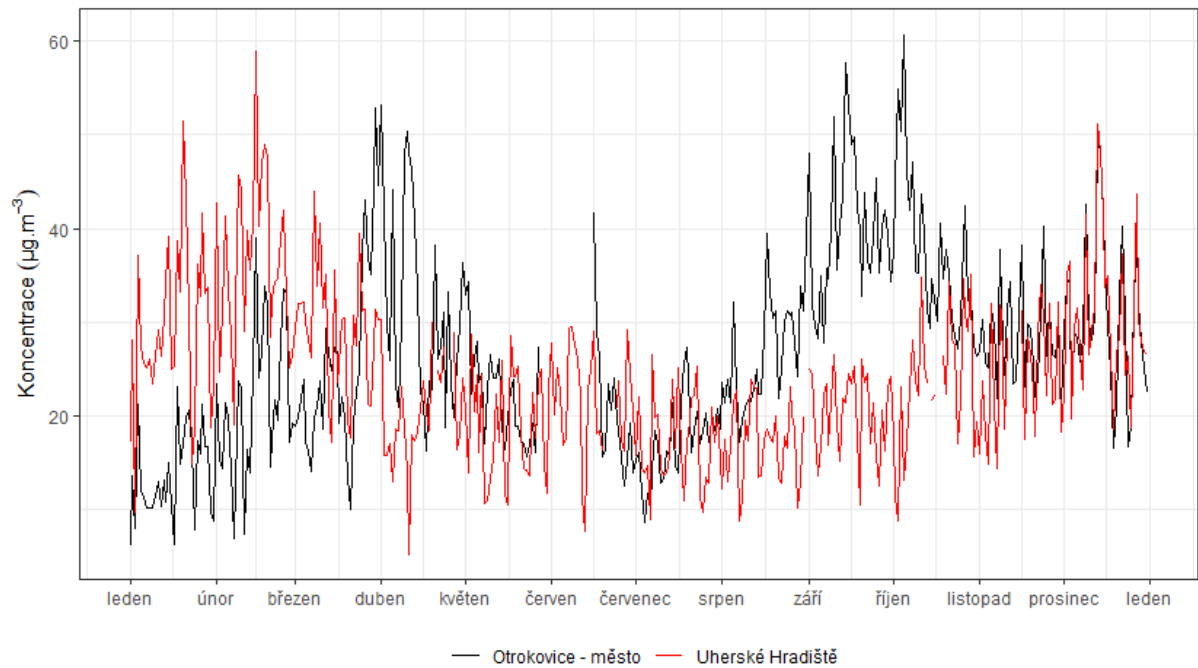
Obr. 52 – Srovnání průměrných měsíčních koncentrací NO<sub>2</sub> lokality Otrokovice – město s okolními stanicemi státní sítě imisního monitoringu, rok 2021

Následující graf na Obr. 53 srovnání průměrných denních koncentrací NO<sub>2</sub> s další dopravní lokalitou státní sítě imisního monitoringu Uherské Hradiště.

Z grafu je patrné, že koncentrace v lokalitě Otrokovice – město jsou srovnatelné s lokalitou Uherské Hradiště kromě již zmíněných měsíců srpen–říjen a částečně taky duben. Naopak ze začátku roku byly koncentrace v lokalitě Otrokovice – město nižší.

### Srovnání průměrných denních koncentrací NO<sub>2</sub>

Lokality Otrokovice - město a Uherské Hradiště, rok 2021



Obr. 53 – Srovnání průměrných denních koncentrací NO<sub>2</sub>, lokality Otrokovice – město a Zlín, rok 2021

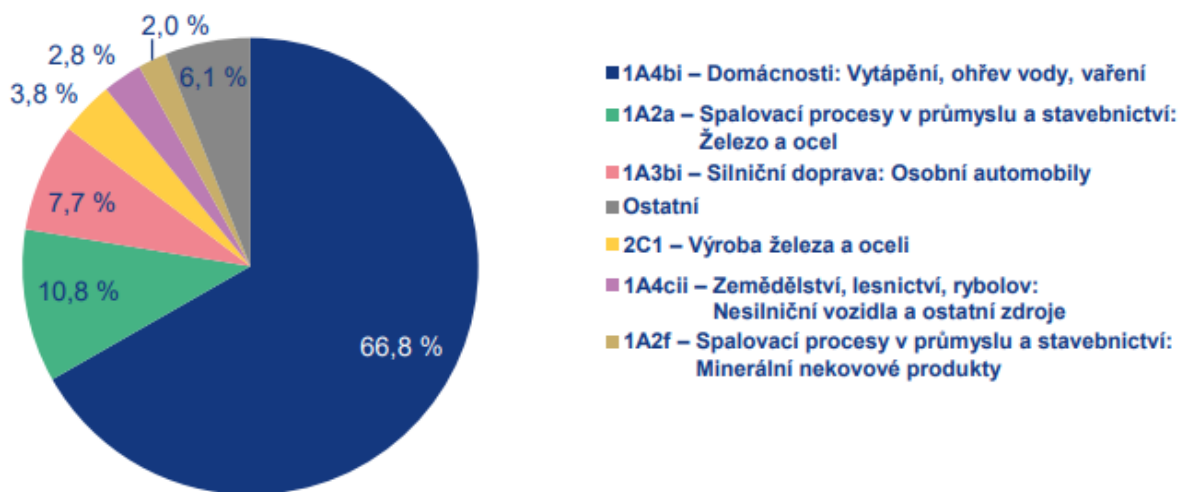
### 3.3 OXID UHELNATÝ CO

Antropogenním zdrojem znečištění ovzduší oxidem uhelnatým (CO) jsou procesy, při kterých dochází k nedokonalému spalování fosilních paliv. Je to především doprava a dále stacionární zdroje, zejména lokální topeniště.

Zvýšené koncentrace mohou způsobovat bolesti hlavy, zhoršují koordinaci a snižují pozornost. Oxid uhelnatý se váže na hemoglobin, zvýšené koncentrace vzniklého karboxyhemoglobinu omezují kapacitu krve pro přenos kyslíku.

Emise oxidu uhelnatého jsou produktem spalování paliv obsahujících uhlík za nízké teploty a nedostatku spalovacího vzduchu.

Největší množství emisí CO vzniká v sektoru 1A4bi – Domácnosti: Vytápění, ohřev vody, vaření, který se v roce 2019 podílel na celorepublikových emisích 66,8 %. Mezi další významné zdroje patřily sektory 1A2a – Spalovací procesy v průmyslu a stavebnictví: Železo a ocel (10,8 %) a 1A3bi – Silniční doprava: Osobní automobily (7,7 %), jak ukazuje Obr. 54 [7].



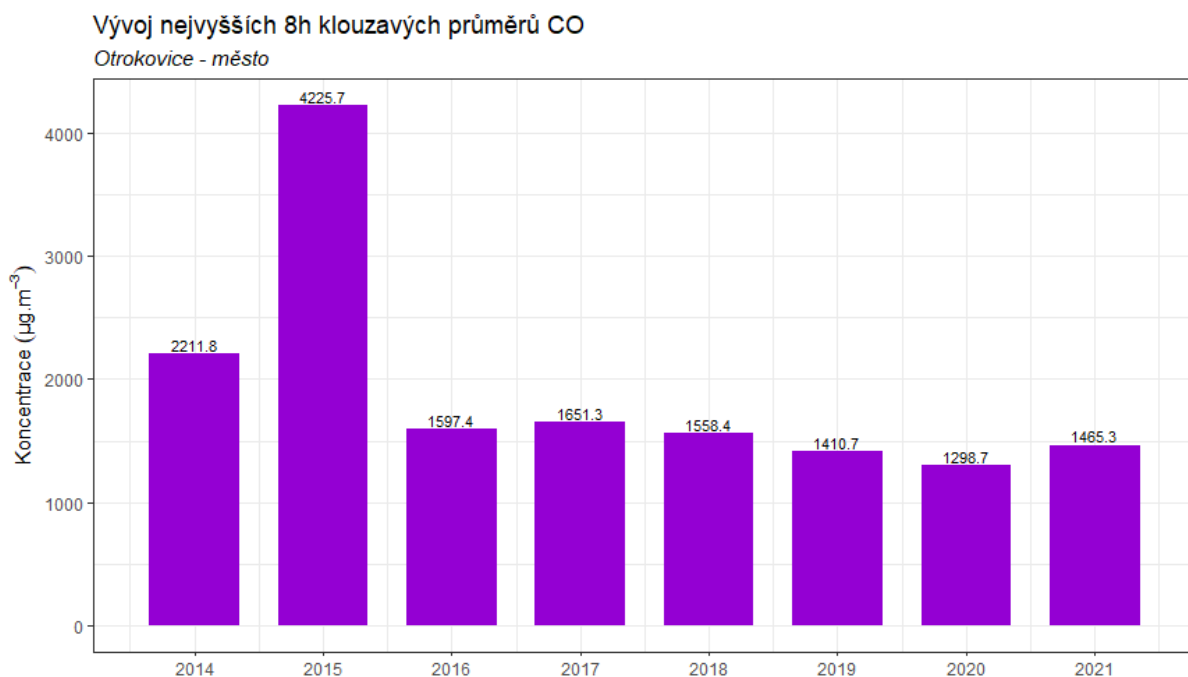
Obr. 54 - Podíl sektorů NFR na celkových emisích CO v ČR, rok 2019 [7]

#### 3.3.1 Vývoj nejvyšších 8hodinových klouzavých průměrů za den v roce

V případě oxidu uhelnatého se sledují 8–hodinové klouzavé průměry, přičemž ten maximální nesmí za kalendářní rok překročit hodnotu  $10000 \mu\text{g}\cdot\text{m}^{-3}$ . Tato hodnota nebyla v ČR již dlouho dosažena. Vývoj maximálních 8–hodinových klouzavých průměrů CO je pro lokalitu Otrokovice – město uveden v grafu na Obr. 55.

**Maximální hodnota 8h klouzavého průměru koncentrací CO v roce 2021 činila  $1465,3 \mu\text{g}\cdot\text{m}^{-3}$ , imisní limit tedy překročen nebyl.** Z uvedeného grafu je patrné, že koncentrace proti roku 2020 mírně

stoupla, k překročení imisního limitu nedošlo ani v jednom z roků. Nejvyšší hodnota byla naměřena v roce 2015, nejnižší pak právě v roce 2021.

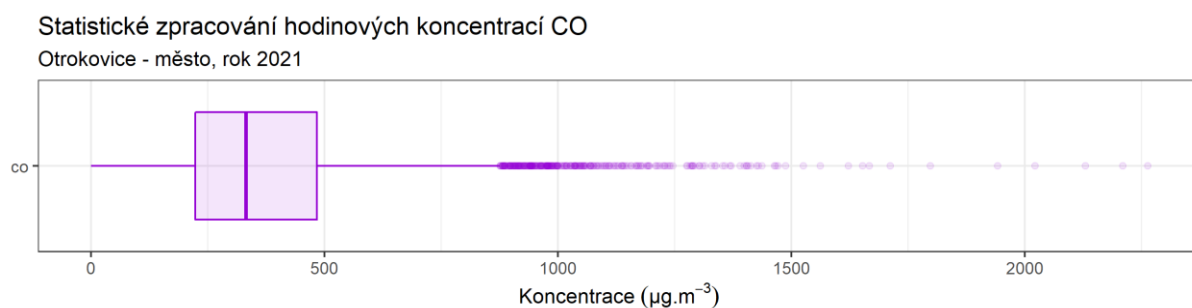


Obr. 55 – Vývoj nejvyššího 8hodinového klouzavého průměru CO, lokalita Otrokovice – město

Následující Tab. 4 pak zobrazuje statistické zpracování naměřených hodinových dat pro oxid uhelnatý. Grafické znázornění hodinových koncentrací pomocí krabicových grafů za rok 2021 pak zobrazuje Obr. 56. Maximální naměřená hodinová koncentrace CO měla hodnotu 2263,6 µg·m<sup>-3</sup>.

Tab. 4 – Statistické charakteristiky hodinových koncentrací CO v lokalitě Otrokovice – město, rok 2021

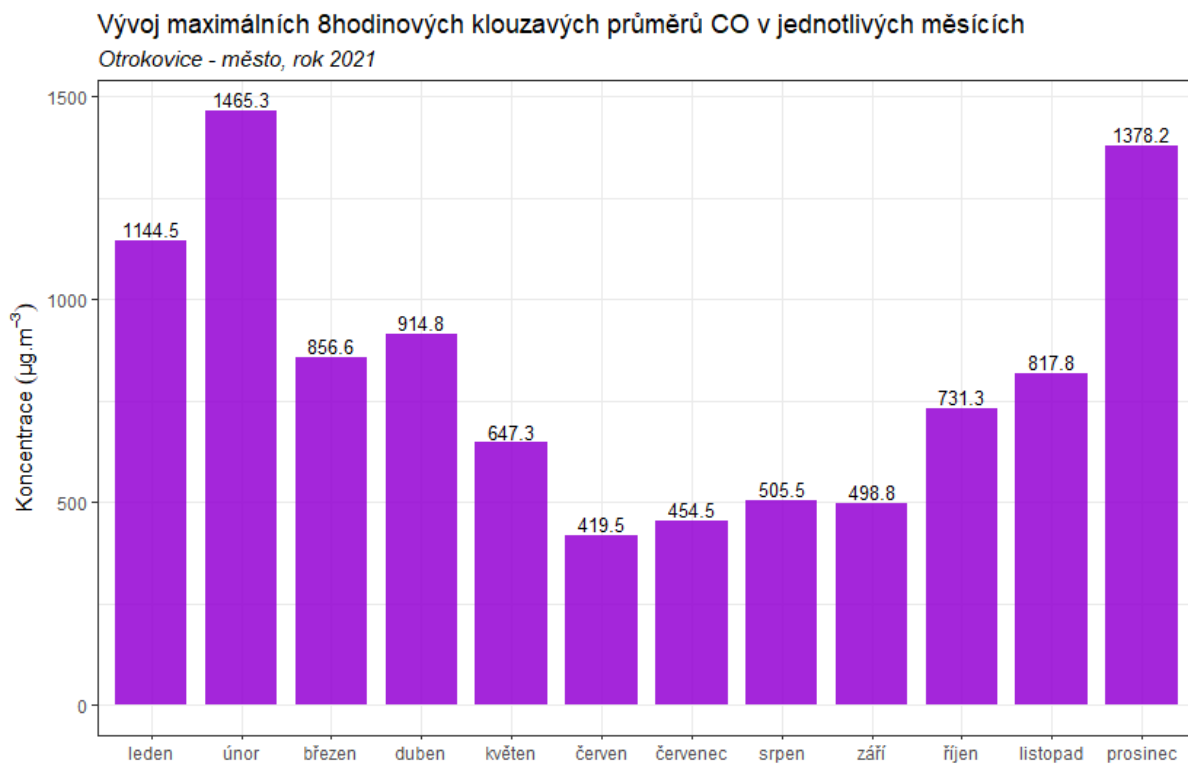
STATISTIKA	CO
PRŮMĚR	380,2
MAXIMUM	2263,6
MEDIÁN	332
MINIMUM	0



Obr. 56 – Statistické zpracování hodinových koncentrací CO v lokalitě Otrokovice – město, rok 2021

### 3.3.2 Průměrné měsíční koncentrace

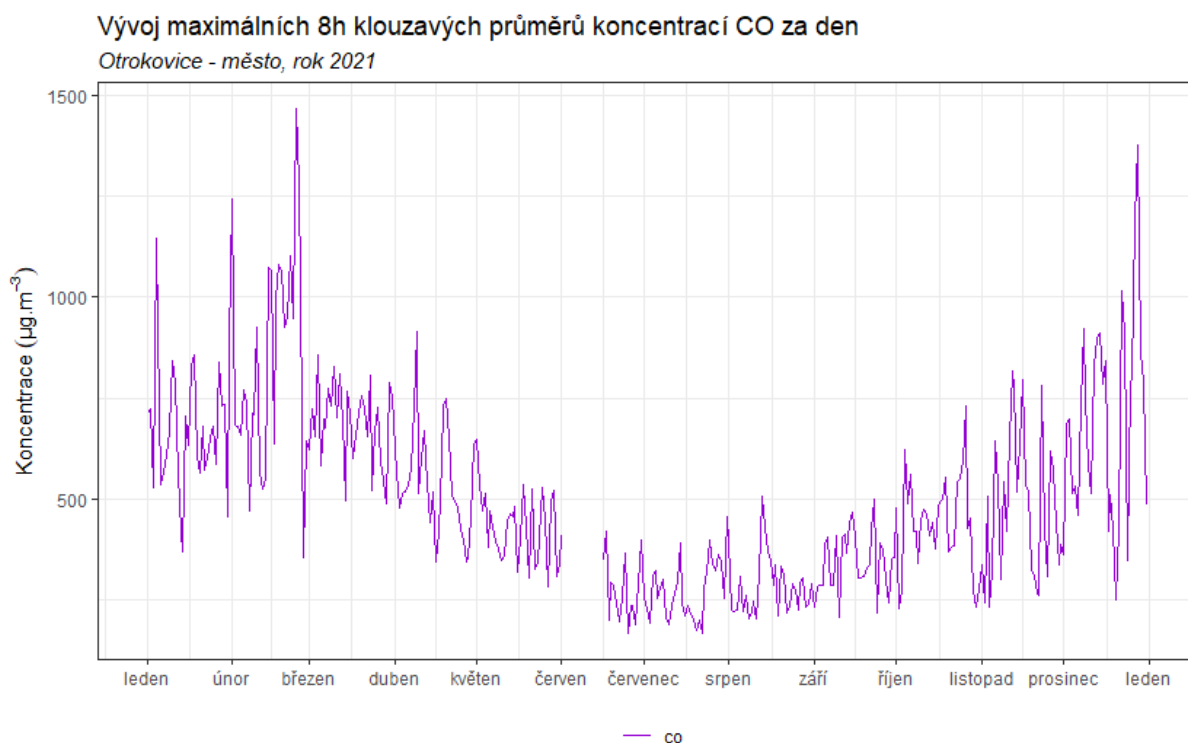
Na Obr. 59 jsou zobrazeny Maximální 8h klouzavé průměry CO za den v jednotlivých měsících. Z obrázku je patrné, že v nejvyšší jsou hodnoty v chladné části roku, kdy je v provozu nejvíce spalovacích zdrojů produkujících CO (doprava + lokální topeniště). Nejvyšší průměrná měsíční koncentrace CO byla naměřena v únoru, nejnižší pak v červnu.



Obr. 57 – Maximální 8h klouzavé průměry CO za den v jednotlivých měsících, Otrokovice – město, rok 2021

### 3.3.3 Vývoj průměrných denních koncentrací CO

Vývoj maximálních 8h klouzavých průměrů CO za den v lokalitě Otrokovice – město zobrazuje následující Obr. 58.

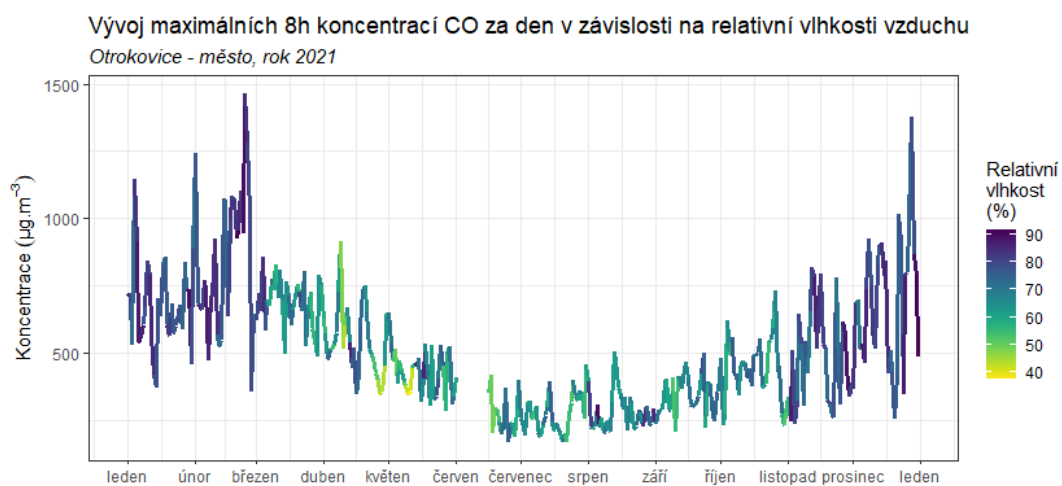
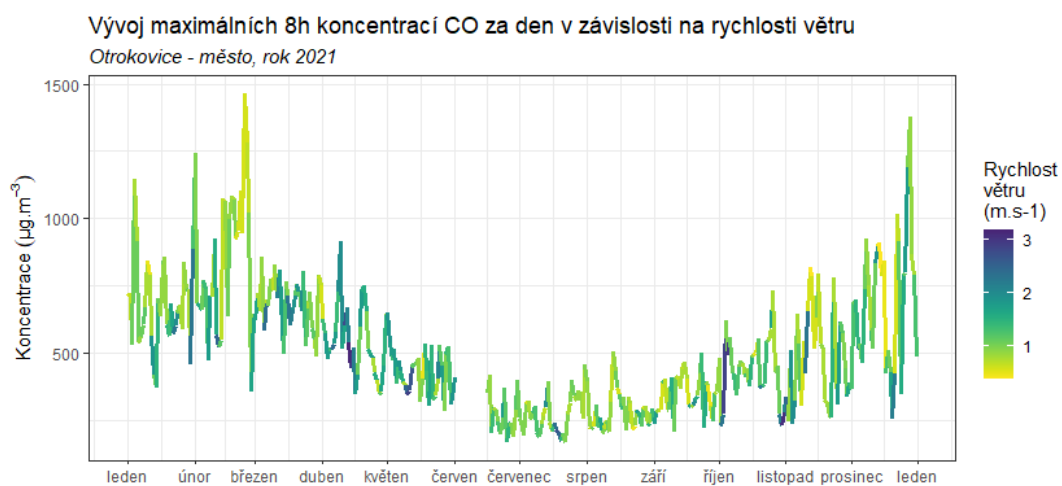
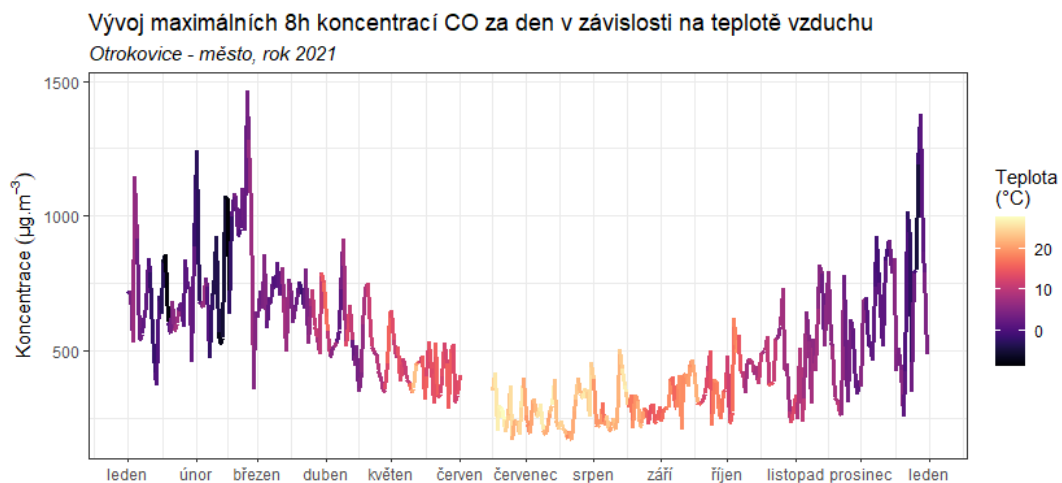


Obr. 58 – Vývoj maximálních 8h klouzavých průměrů CO za den, Otrokovice – město, rok 2021

Z grafů je patrné, že v případě vývoje koncentrací CO dochází ke kulminaci zejména v chladném začátku roku. To souvisí s nízkými teplotami a vyšší potřebou topit a dále se zhoršenými rozptylovými podmínkami.

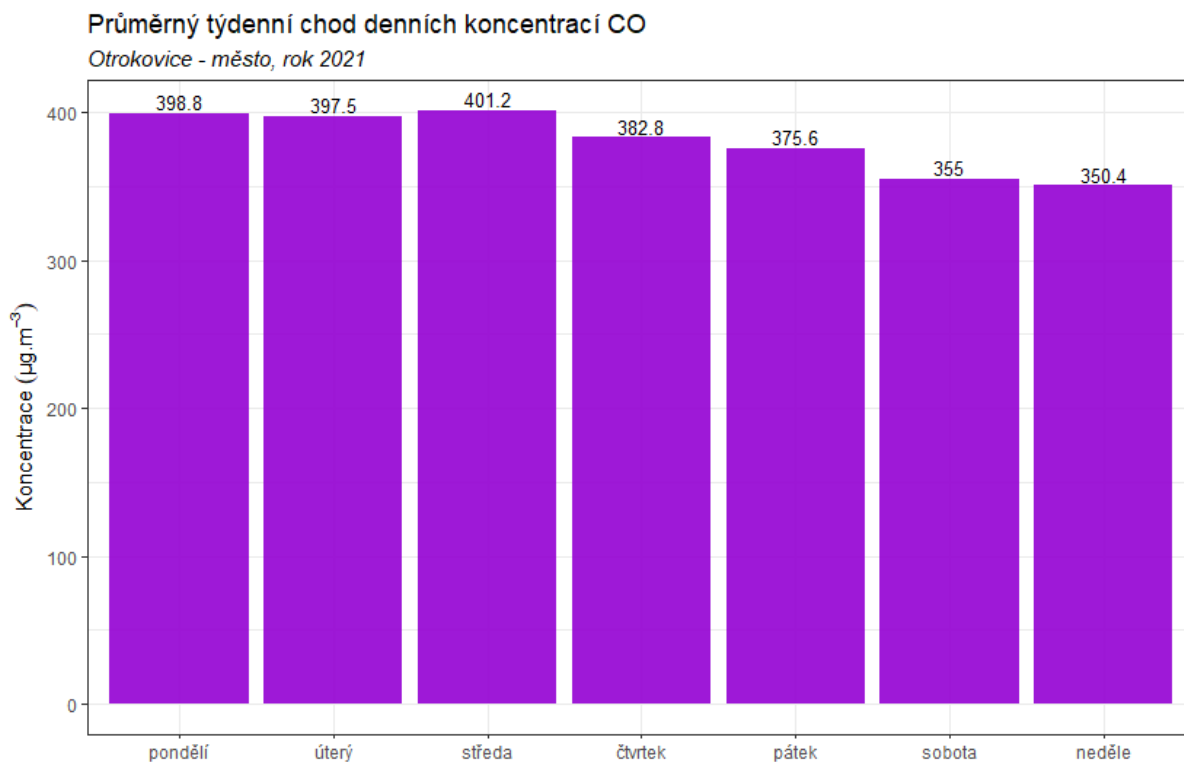
Na Obr. 59 jsou nad sebou zobrazeny tři grafy. Křivka vždy zobrazuje vývoj koncentrací CO v dané lokalitě. Zabarvení křivky na horním grafu vždy zobrazuje aktuální teplotu vzduchu, v prostředním grafu pak rychlost proudění větru, a ve spodním grafu relativní vlhkost.

Z uvedených grafů vyplývá, že meteorologické podmínky mají na koncentrace CO významný vliv, zejména pak teplota a rychlost větru. S klesající teplotou a rychlostí větru rostou koncentrace CO.



Obr. 59 – Vliv teploty (nahore), rychlosti větru (uprostřed) a relativní vlhkosti (dole) na koncentrace CO, Otrokovice – město, rok 2021

Z týdenního chodu průměrných denních koncentrací CO jsou patrné vyšší koncentrace v pracovní dny. Nejvyšší hodnoty byly v průměru naměřeny ve středu, nejnižší v neděli.



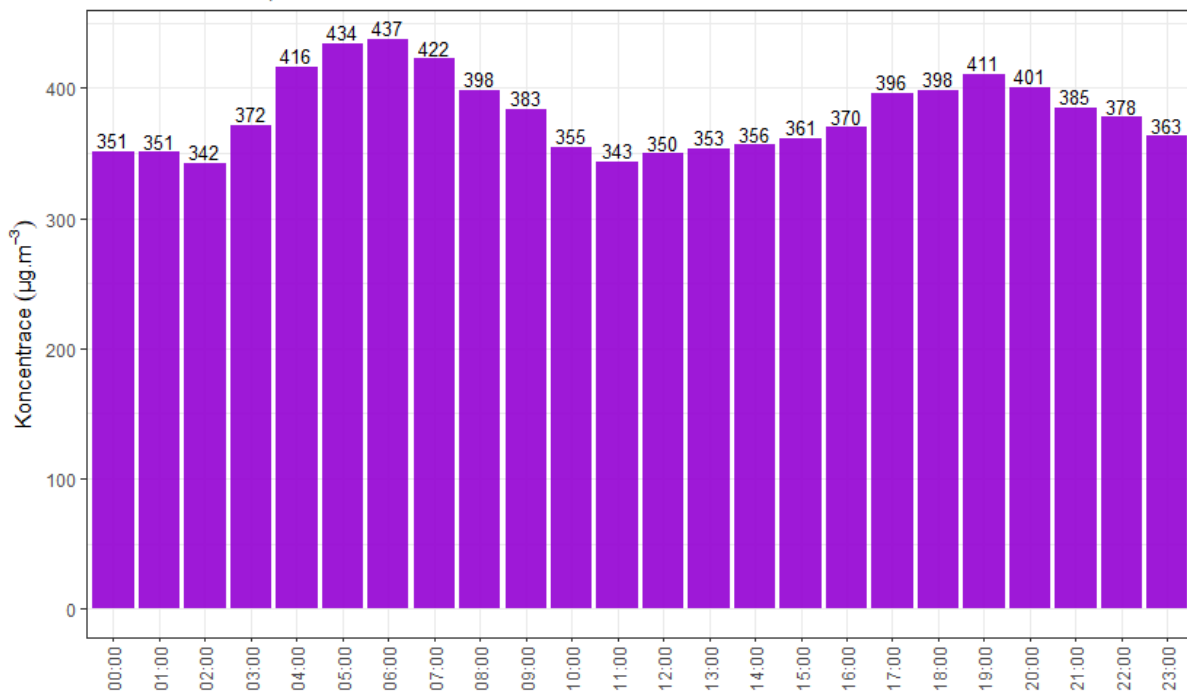
Obr. 60 - Průměrný týdenní chod denních koncentrací CO, Otrokovice – město, rok 2021

### 3.3.4 Analýza hodinových koncentrací – denní chod a koncentrační ruzice

Zprůměrováním všech naměřených koncentrací v jednotlivé hodiny lze získat průměrný denní chod CO v lokalitě Otrokovice – město. Denní chod CO zobrazuje následující Obr. 61. Z grafu je patrné, že nejvyšší hodnoty koncentrací CO jsou dosahovány v době ranní dopravní špičky a dále ve večerních hodinách.

### Průměrný denní chod hodinových koncentrací CO

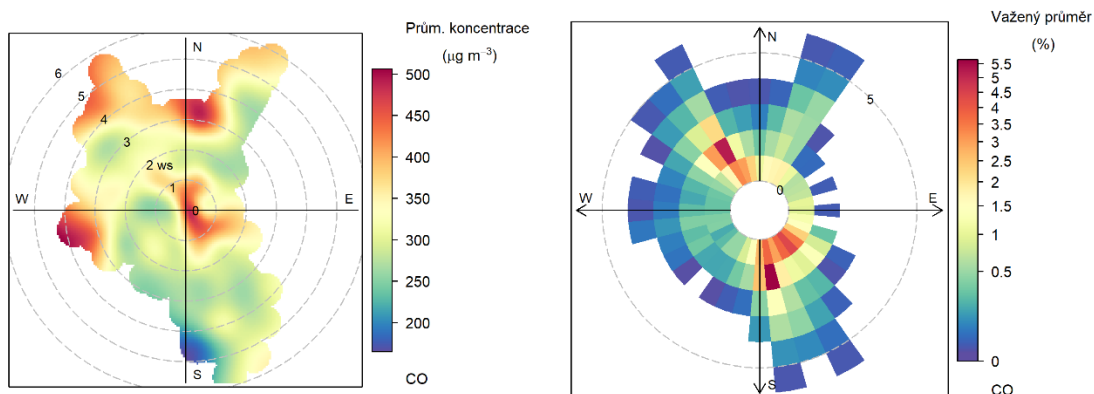
Otrokovice - město, rok 2021



Obr. 61 – Denní chod hodinových koncentrací CO, Otrokovice – město, rok 2021

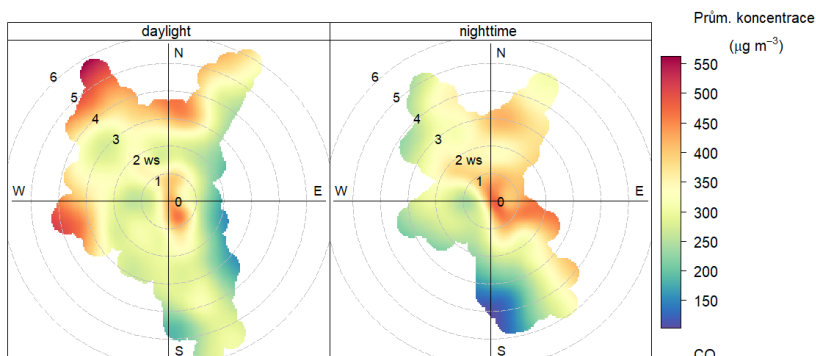
Vysvětlení podstaty koncentračních růžic je uvedeno v kapitole 3.1.4.

Následující Obr. 62 zobrazuje dva typy koncentrační a váženou koncentrační růžici CO pro lokalitu Otrokovice – město. Z Obr. 62 vyplývá, že v průměru jsou nejvyšší koncentrace měřeny při bezvětří nebo severním a západním proudění a vyšších rychlostech větru. Jihovýchodní a severozápadní směry proudění se pak nejvíce podílely na měřených koncentracích CO v roce 2021.



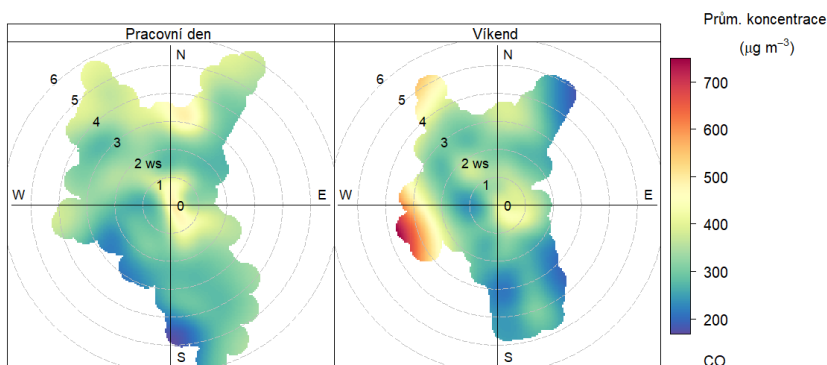
Obr. 62 – Koncentrační růžice (vlevo) a vážená koncentrační růžice (vpravo) pro CO, Otrokovice – město, rok 2021

Pokud se koncentrační růžice rozdělí na den a noc (Obr. 63), je velmi dobře patrné, že vysoké koncentrace CO se vyskytují převážně v nočních hodinách při bezvětří, přes den spíše při vyšších rychlostech větru.



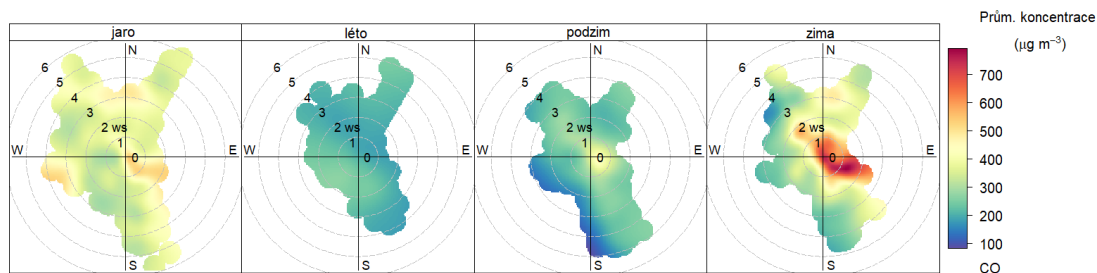
Obr. 63 - Koncentrační růžice ve dne (daytime) a v noci (nighttime), Otrokovice – město, rok 2021

Koncentrační růžici je taky možné rozdělit na pracovní dny a víkend. Jak ukazuje následující Obr. 64, vyšší koncentrace jsou měřeny o víkendech při západním proudění a vyšších rychlostech větru. Mírně zvýšené při bezvětří se vyskytují jak v případě pracovních dnů, tak víkendů.



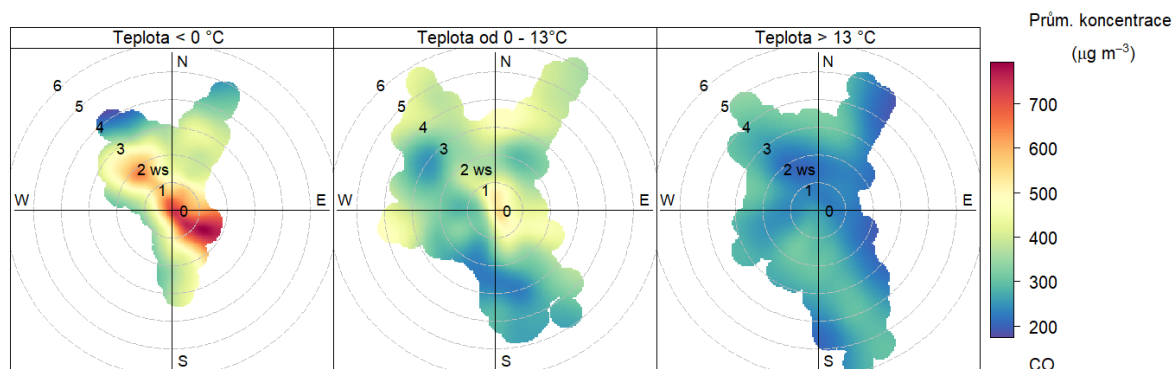
Obr. 64 – Koncentrační růžice v pracovní dny a o víkendu, Otrokovice – město, rok 2021

Následující Obr. 65 zobrazuje koncentrační růžice v jednotlivých ročních obdobích. Vysoké koncentrace lze sledovat převážně v zimě, v ostatních měsících jsou koncentrace výrazně nižší.



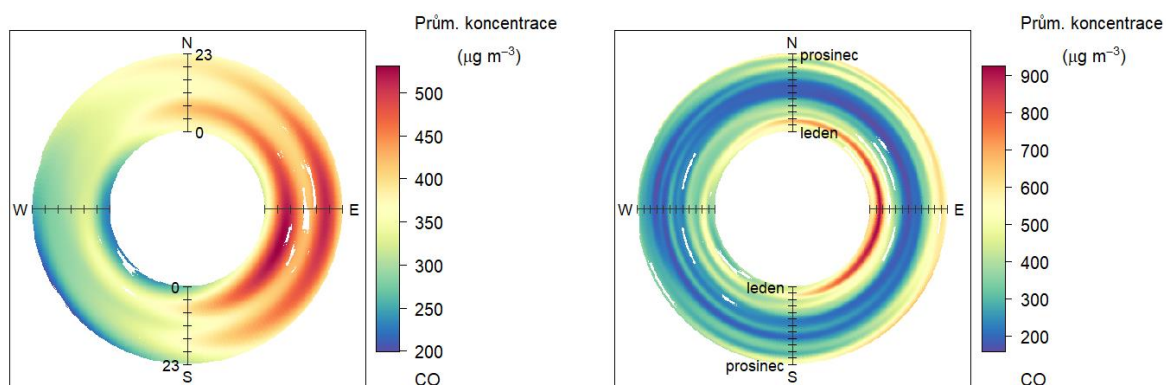
Obr. 65 – Koncentrační růžice jednotlivých ročních období, Otrokovice – město, rok 2021

Zajímavé je také rozdělit koncentrační růžice na základě teplot vzduchu. Z Obr. 66 je pak patrné, že nejvyšší koncentrace jsou takřka výhradně měřeny při teplotách vzduchu nižších než 0 °C. Při vyšších teplotách jsou zvýšené koncentrace měřeny pouze při bezvětří. Při teplotách nad 13 °C jsou koncentrace CO nízké.



Obr. 66 – Koncentrační růžice členěná dle teplot, Otrokovice – město, rok 2021

Cenné informace poskytuje rovněž průměrný denní a roční chod, členěný dle směru větru. V případě denního chodu je uprostřed první hodina po půlnoci a na okraji pak 23. hodina. V případě ročního chodu je pak uprostřed 1. 1. a na okraji 31. 12. Směry větru jsou totožné jako v případě růžic.



Obr. 67 – Průměrný denní chod (vlevo) a roční chod (vpravo) koncentrací dle směru větru, Otrokovice – město, rok 2021

Z Obr. 67 pak vyplývá, že v případě lokality Otrokovice – město v roce 2021 byly nejvyšší koncentrace CO měřeny při východním proudění zejména v brzkých ranních hodinách, a dále ve večerních a nočních hodinách. Z ročního chodu pak vyplývá, že koncentrace kulminovaly začátkem roku.

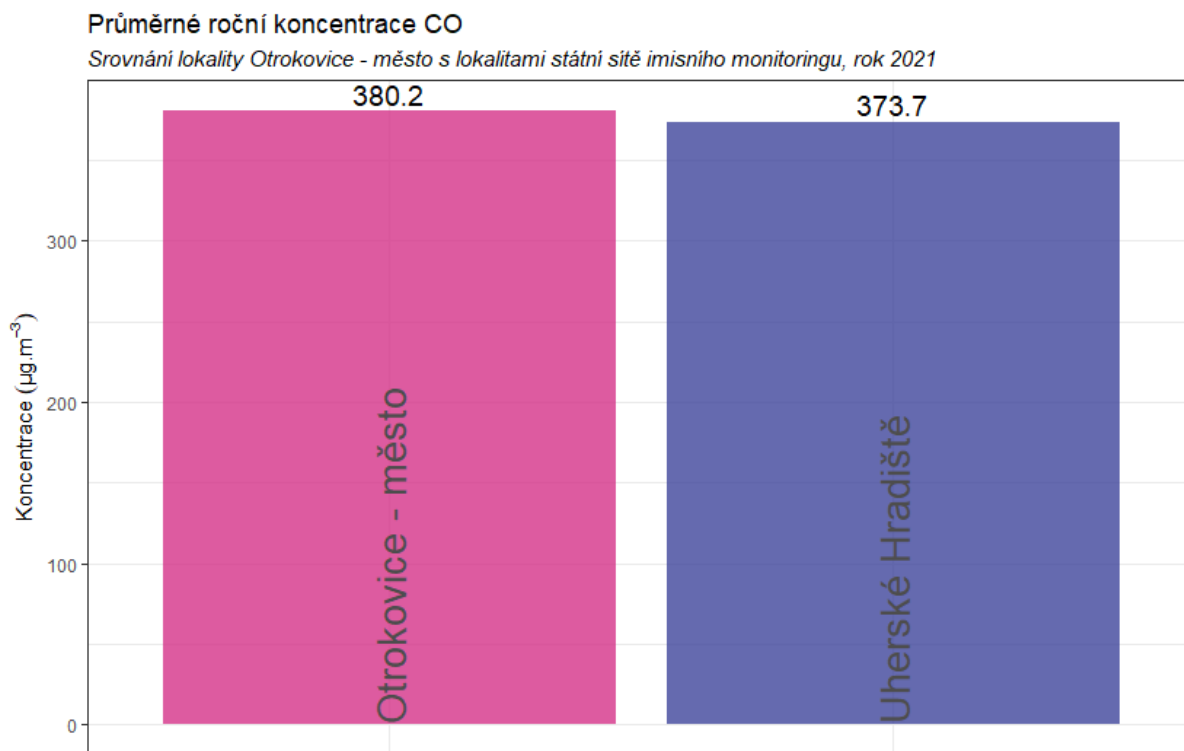
### 3.3.5 Srovnání s lokalitami státní sítě imisního monitoringu

V této podkapitole budou koncentrace, naměřené v lokalitě Otrokovice – město, srovnány s hodnotami naměřenými ve státní síti imisního monitoringu Českého hydrometeorologického ústavu (ČHMÚ).

Na následujícím Obr. 68 jsou zobrazeny průměrné roční koncentrace oxidu uhelnatého CO na okolních lokalitách v roce 2021 a srovnány s lokalitou Otrokovice – město. Z grafu vyplývá, že v lokalitě Otrokovice – město jsou měřeny mírně vyšší koncentrace CO z obou srovnávaných dopravních lokalit.

Následující graf na Obr. 69 zobrazuje průměrné měsíční koncentrace CO naměřené ve vybraných dopravních lokalitách. Z grafu je patrné, že vysoké koncentrace jsou vždy měřeny v chladné části roku.

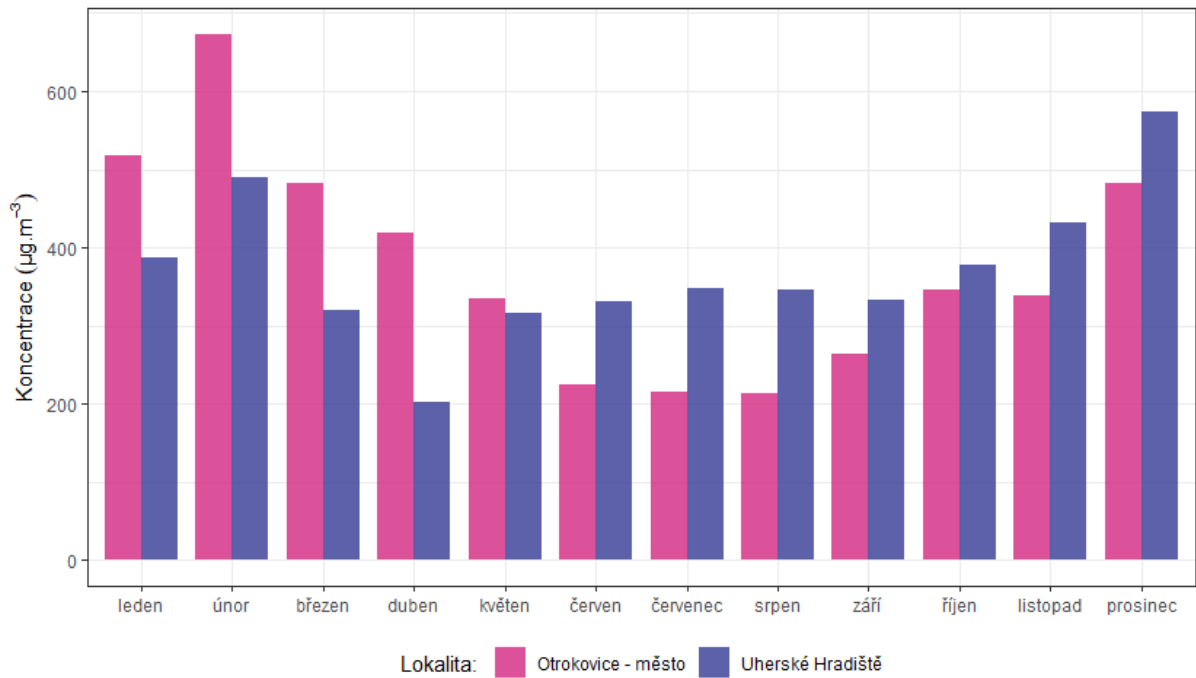
Graf na Obr. 70 uvádí srovnání průměrných denních koncentrací CO s nejbližší dopravní lokalitou státní sítě imisního monitoringu Uherské Hradiště. Z grafu je patrné, že v lokalitě Otrokovice jsou měřeny vyšší koncentrace v první polovině roku, v lokalitě Uherské Hradiště pak v druhé polovině roku.



Obr. 68 – Srovnání průměrné roční koncentrace CO lokality Otrokovice s lokalitou Uherské Hradiště, rok 2021

### Průměrné měsíční koncentrace CO

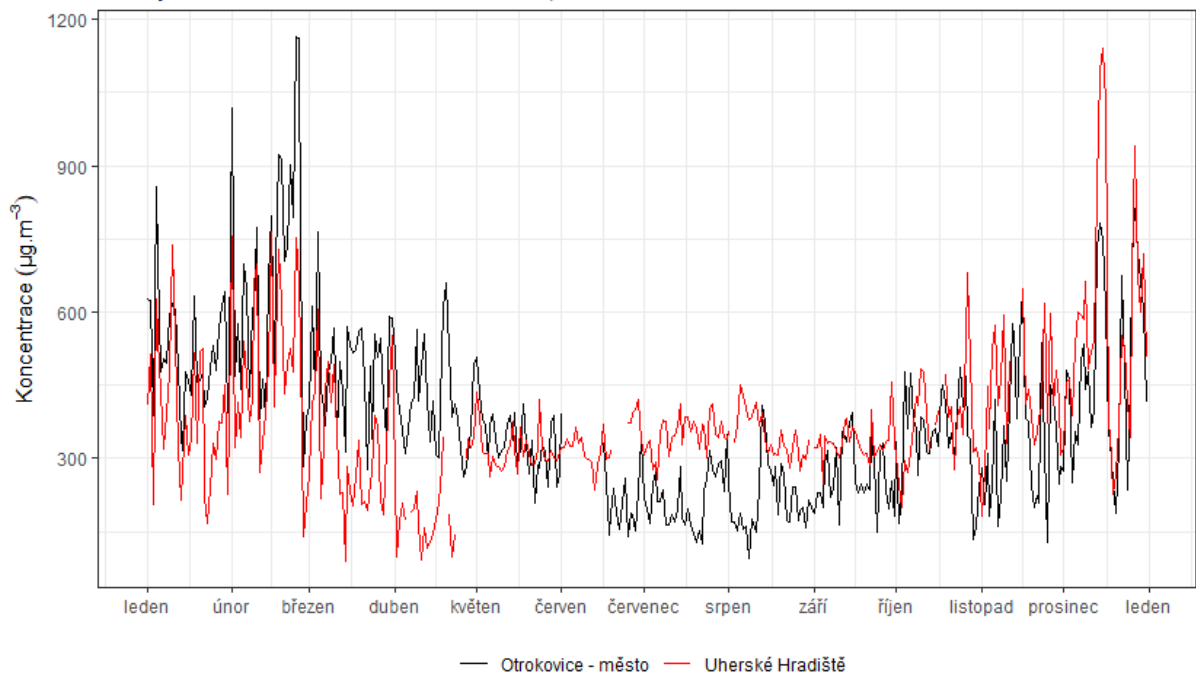
Srovnání lokality Otrokovice - město s lokalitami státní sítě imisního monitoringu, rok 2021



Obr. 69 – Srovnání průměrných měsíčních koncentrací CO lokality Otrokovice – město s lokalitou Uherské Hradiště, rok 2021

### Srovnání průměrných denních koncentrací CO

Lokalita Otrokovice - město a Uherské Hradiště, rok 2021



Obr. 70 – Srovnání průměrných denních koncentrací CO, lokality Otrokovice – město a Uherské Hradiště, rok 2021

## 4 ZÁVĚRY

---

- Vývoj průměrných denních koncentrací **PM<sub>10</sub>** i **PM<sub>2,5</sub>** odpovídá vývoji koncentrací na dalších stanicích státní sítě imisního monitoringu. Na úrovni hodinových koncentrací ovlivňují vývoj meteorologické podmínky (např. teplota) a s nimi související činnosti – zejména vytápění v lokálních topeništích. Maximální koncentrace **PM<sub>10</sub>** i **PM<sub>2,5</sub>** byly měřeny ve večerních a nočních hodinách po zatopení a dále v době ranní dopravní špičky. Důležitým faktorem je rovněž rychlost větru – pokud je bezvětří, nedochází k rozptylu škodlivin, ale naopak k jejich kumulaci a koncentrace rostou.
- Průměrné roční koncentrace **PM<sub>10</sub>** (20,7  $\mu\text{g}\cdot\text{m}^{-3}$ ) ani **PM<sub>2,5</sub>** (16,8  $\mu\text{g}\cdot\text{m}^{-3}$ ) nepřekračují imisní limit pro průměrné roční koncentrace těchto škodlivin.
- Za rok 2021 byla hodnota imisního limitu pro průměrnou denní koncentraci **PM<sub>10</sub>** (50  $\mu\text{g}\cdot\text{m}^{-3}$ ) překročena 14x, imisní limit pro průměrnou denní koncentraci **PM<sub>10</sub>** je tak plněn.
- Koncentrace **oxidů dusíku** souvisí především se zatížením dopravou. Zvýšené koncentrace v rámci denního chodu tak byly pozorovány během ranní a večerní dopravní špičky. Koncentrace jsou v lokalitě zvýšené, charakteristické pro dopravní lokality. Okolo poledne dochází k poklesu koncentrací **NO<sub>2</sub>** také díky reakci této látky při tvorbě přízemního ozónu. Ze srovnání koncentrací **NO<sub>2</sub>** s dopravní stanicí státní sítě imisního monitoringu Uherské Hradiště vyplývá, že v lokalitě Otrokovice – město jsou měřeny obdobné koncentrace, v lokalitě Otrokovice – město byly vyšší v měsících srpen–říjen. Z hlediska týdenního chodu jsou vyšší koncentrace měřeny v pracovní dny s vyšším zatížením dopravou.
- Průměrná roční koncentrace **NO<sub>2</sub>** (26,6  $\mu\text{g}\cdot\text{m}^{-3}$ ) nepřekračuje imisní limit pro průměrnou roční koncentraci **NO<sub>2</sub>**.
- Vysoké koncentrace oxidu uhelnatého **CO** jsou měřeny převážně v chladné části roku při nízkých teplotách vzduchu. Naměřené hodnoty byly mírně vyšší než koncentrace, které měřila dopravní stanice státní sítě imisního monitoringu Uherské Hradiště.
- V rámci oxidu uhelnatého se s imisním limitem srovnávají maximální 8hodinové klouzavé průměry za kalendářní rok. Maximální hodnota 8h klouzavého průměru koncentrací **CO** v roce 2021 činila 1465,3  $\mu\text{g}\cdot\text{m}^{-3}$ , imisní limit tedy překročen nebyl.

## 5 CITOVANÁ LITERATURA

---

- [1] Zákon č. 201/2012 Sb. o ochraně ovzduší ve znění pozdějších předpisů, 2012 - 2017, MŽP, 2012.
- [2] R Core Team, „R: A language and environment for statistical computing,“ R Foundation for Statistical Computing, Vienna, Austria., 2018. [Online]. Available: <https://www.R-project.org/>.
- [3] H. Wickham a et al., „Welcome to the tidyverse,“ *Journal of Open Source Software*, sv. 4, č. 43, p. 1686, 2019.
- [4] D. Carslaw a K. Ropkins, „Openair - an R package for air quality data analysis,“ *Environmental*, Sv. %1 z %227-28, pp. 52 - 61, 2012.
- [5] R. Tolasz a H. Škáchová, „Rok 2021 v Česku,“ INFOMET, 12 01 2022. [Online]. Available: <http://www.infomet.cz/index.php?id=read&idd=1641983653>.
- [6] V. Michal, „O provozu vznětových motorů a aerosolech jimi produkovaných v městských aglomeracích,“ v *Konference ČAS 2010. Sborník konference*, Praha, 2010.
- [7] ČHMÚ, „Znečištění ovzduší na území České republiky v roce 2020, ISBN: ISBN 978-80-7653-023-2,“ ČHMÚ, 2021. [Online]. Available: [https://www.chmi.cz/files/portal/docs/uoco/isko/grafroc/20groc/gr20cz/Obsah\\_CZ.html](https://www.chmi.cz/files/portal/docs/uoco/isko/grafroc/20groc/gr20cz/Obsah_CZ.html).
- [8] U. EPA, „Particulate Matter (PM) Pollution,“ [Online]. Available: <https://www.epa.gov/pm-pollution>.
- [9] J. Keder, „Rozbor výsledků kontinuálního měření spekter velikostí částic analyzátoru Grimm,“ v *Ovzduší 2007*, Brno, 2007.
- [10] USEPA, „Nitrogen Dioxide (NO2) Pollution,“ [Online]. Available: <https://www.epa.gov/no2-pollution>.
- [11] P. WARNECK, *Chemistry of the natural atmosphere*, San Diego: Academic Press: ISBN 0-12-735632-0, 2000.
- [12] European Commission, „Position paper on air quality: nitrogen dioxide,“ 1997.
- [13] *Vyhláška č. 330/2012 Sb. o způsobu posuzování a vyhodnocení úrovně znečištění, rozsahu informování veřejnosti o úrovni znečištění a při smogových situacích*, Praha, 2012.
- [14] Š. L. Š. H. Tolasz R., „Počasí, podnebí a kvalita ovzduší v ČR v roce 2016 – vybrané události,“ 13 1 2016. [Online]. Available: <http://www.infomet.cz/index.php?id=read&idd=1484297500>.
- [15] ČHMÚ, „Znečištění ovzduší na území České Republiky 1996 - 2015,“ 1 12 2016. [Online]. Available: [http://portal.chmi.cz/files/portal/docs/uoco/isko/grafroc/grafroc\\_CZ.html](http://portal.chmi.cz/files/portal/docs/uoco/isko/grafroc/grafroc_CZ.html).
- [16] ČHMÚ, „Znečištění ovzduší na území České Republiky,“ 1996 - 2015. [Online]. Available: [http://portal.chmi.cz/files/portal/docs/uoco/isko/grafroc/grafroc\\_CZ.html](http://portal.chmi.cz/files/portal/docs/uoco/isko/grafroc/grafroc_CZ.html).
- [17] ČHMÚ, „Registr emisí a zdrojů znečištění ovzduší,“ 2010-2015. [Online]. Available: [http://portal.chmi.cz/files/portal/docs/uoco/oez/emisnibilance\\_CZ.html](http://portal.chmi.cz/files/portal/docs/uoco/oez/emisnibilance_CZ.html).
- [18] M. VOJTÍŠEK, „O provozu vznětových motorů a aerosolech jimi produkovaných v městských aglomeracích,“ *Konference ČAS 2010. Sborník konference.*, č. ISBN: 978-80-86186-25-2, 2010.
- [19] WHO, „Air quality guidelines for Europe, Second Edition,“ *WHO Regional Publications, European Series*, sv. No. 91, 2000.
- [20] J. H. Seinfeld a S. N. Pandis, *Atmospheric chemistry and physics: from air pollution to climate change*, New York: John Wiley & Sons, Inc. ISBN 978-0-471-72017-1, 2006.

- [21] J. Fiala a D. Závodský, „Chemické aspekty znečištěného ovzduší – troposférický ozon.,“ v *Kompendium ochrany kvality ovzduší*, Praha, 2003.
- [22] I. Colbeck a A. R. Mackenzie, „Air Pollution by photochemical oxidants,“ *Air Quality Monographs*, č. Elsevier. ISBN 0-444-88542-0, 1994.
- [23] EEA, „Air quality in Europe — 2016 report,“ 2016. [Online]. Available: [https://www.eea.europa.eu/publications/air-quality-in-europe-2016/at\\_download/file](https://www.eea.europa.eu/publications/air-quality-in-europe-2016/at_download/file).
- [24] ČHMÚ, kolektiv autorů, „Grafická ročenka 2017,“ Český hydrometeorologický ústav, 2018. [Online]. Available: [http://portal.chmi.cz/files/portal/docs/uoco/isko/grafroc/17groc/gr17cz/Obsah\\_CZ.html](http://portal.chmi.cz/files/portal/docs/uoco/isko/grafroc/17groc/gr17cz/Obsah_CZ.html).
- [25] ČHMÚ, „Znečištění ovzduší na území České republiky v roce 2018,“ 2019. [Online]. Available: [http://portal.chmi.cz/files/portal/docs/uoco/isko/grafroc/18groc/gr18cz/IV.1.PM\\_CHMU2018.pdf](http://portal.chmi.cz/files/portal/docs/uoco/isko/grafroc/18groc/gr18cz/IV.1.PM_CHMU2018.pdf). [Přístup získán 2019].
- [26] *Zákon č. 201/2012 Sb. o ochraně ovzduší*, 2012.
- [27] ČHMÚ, „Znečištění ovzduší na území České republiky v roce 2019, ISBN: ISBN 978-80-7653-009-6,“ ČHMÚ, 2020. [Online]. Available: [https://www.chmi.cz/files/portal/docs/uoco/isko/grafroc/19groc/gr19cz/Obsah\\_CZ.html](https://www.chmi.cz/files/portal/docs/uoco/isko/grafroc/19groc/gr19cz/Obsah_CZ.html).